

TOF-SIMS et imagerie par MS

David TOUBOUL

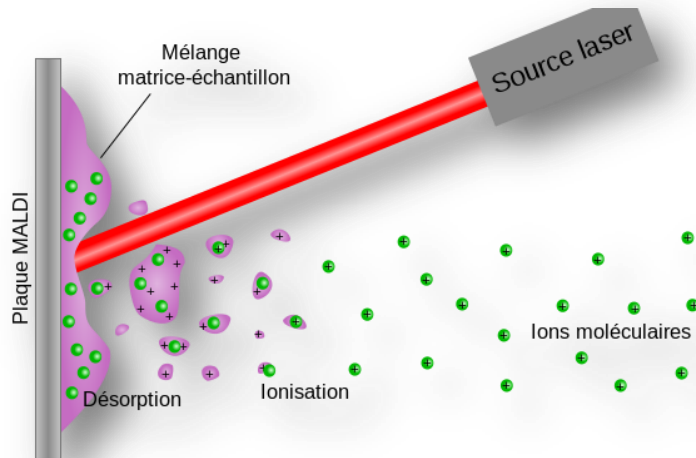
CNRS
Institut de Chimie des Substances Naturelles
Gif-sur-Yvette

David.Touboul@cnsr.fr



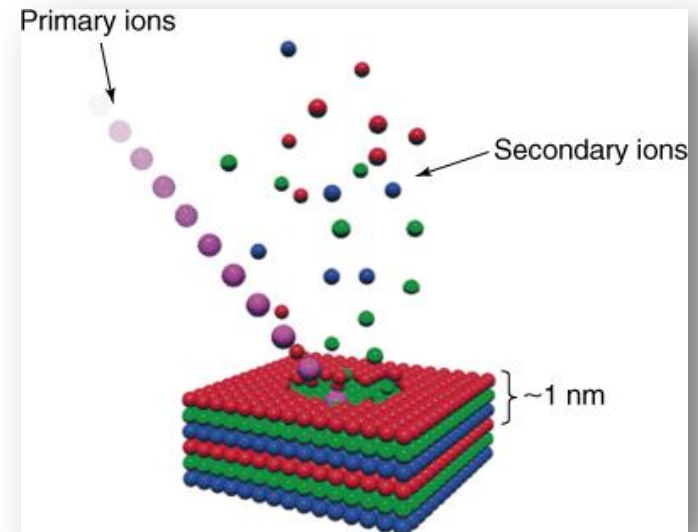
Matrix Assisted Laser Desorption Ionization

Les molécules (protéines, peptides, sucres, lipides, etc...) sont mélangées avec une petite molécule organique appelée matrice. Celle-ci absorbe la lumière du laser UV et permet la désorption et l'ionisation des molécules d'intérêt sans les fragmenter.



Secondary Ion Mass Spectrometry

Un faisceau focalisé d'ions, appelés ions primaires, vient irradier la surface d'un échantillon de laquelle des ions, appelés secondaires, et caractéristiques de la surface, sont émis.



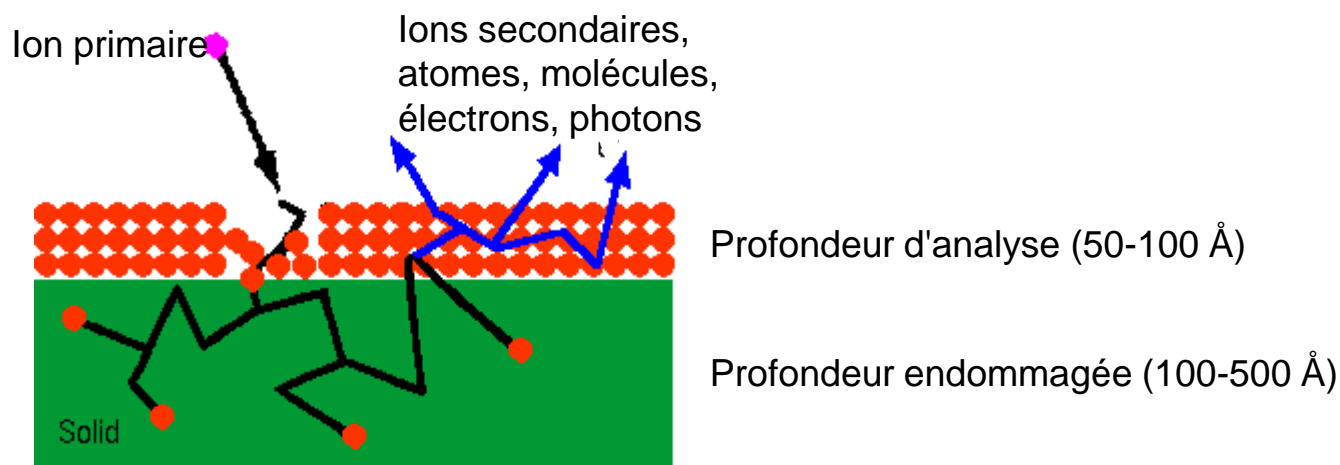
M. Karas, F. Hillenkamp, *Anal. Chem.* 1988, 60, 2299-2301.
 K. Tanaka, H. Waki, Y. Ido, S. Akita, Y. Yoshida, T. Yoshida, *Rapid Commun. Mass Spectrom.* 1988, 2, 151-153.

R. Castaing, G. Slodzian, *J. Microsc.* 1962, 1, 395-410
 A. Benninghoven, E. Loebach, *Rev. Sci. Instrum.* 1971, 42, 49-52.

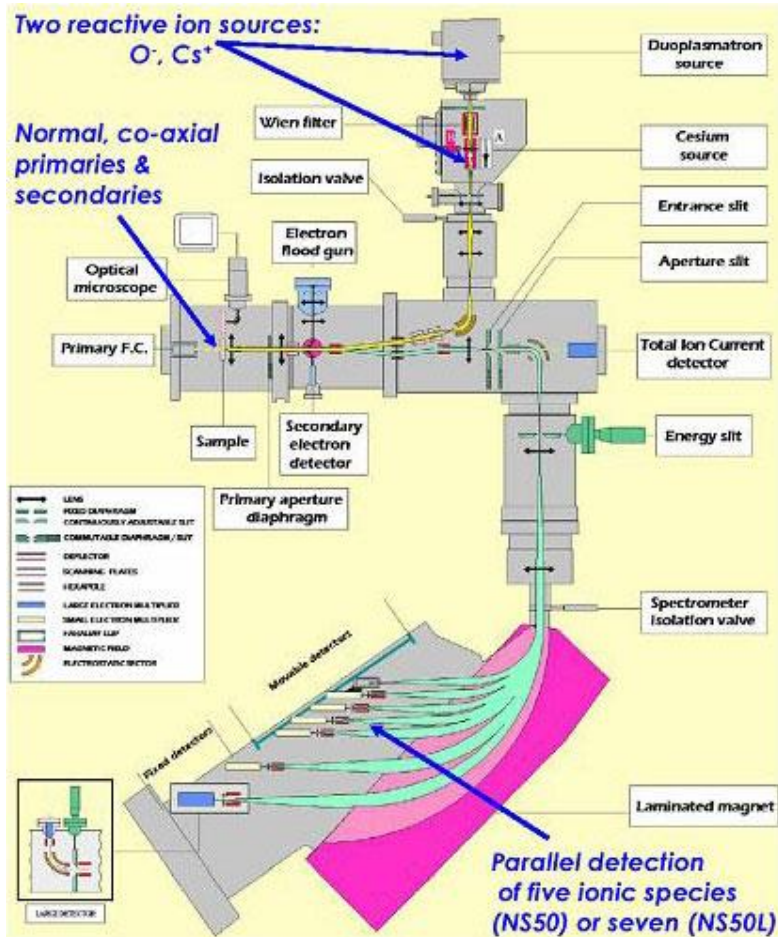
Le SIMS est une analyse de surface



- Les projectiles (ions primaires) pénètrent sur seulement quelques centaines d'Ångströms.
- Ils *endommagent* la matière sur toute cette profondeur, car ils se *ralentissent* par des successions de *collisions élastiques* avec des atomes de l'échantillon, lesquels sont *déplacés* et des molécules sont donc détruites.
- Les ions secondaires ne proviennent seulement que des premiers 50-100 Å.



Nano SIMS



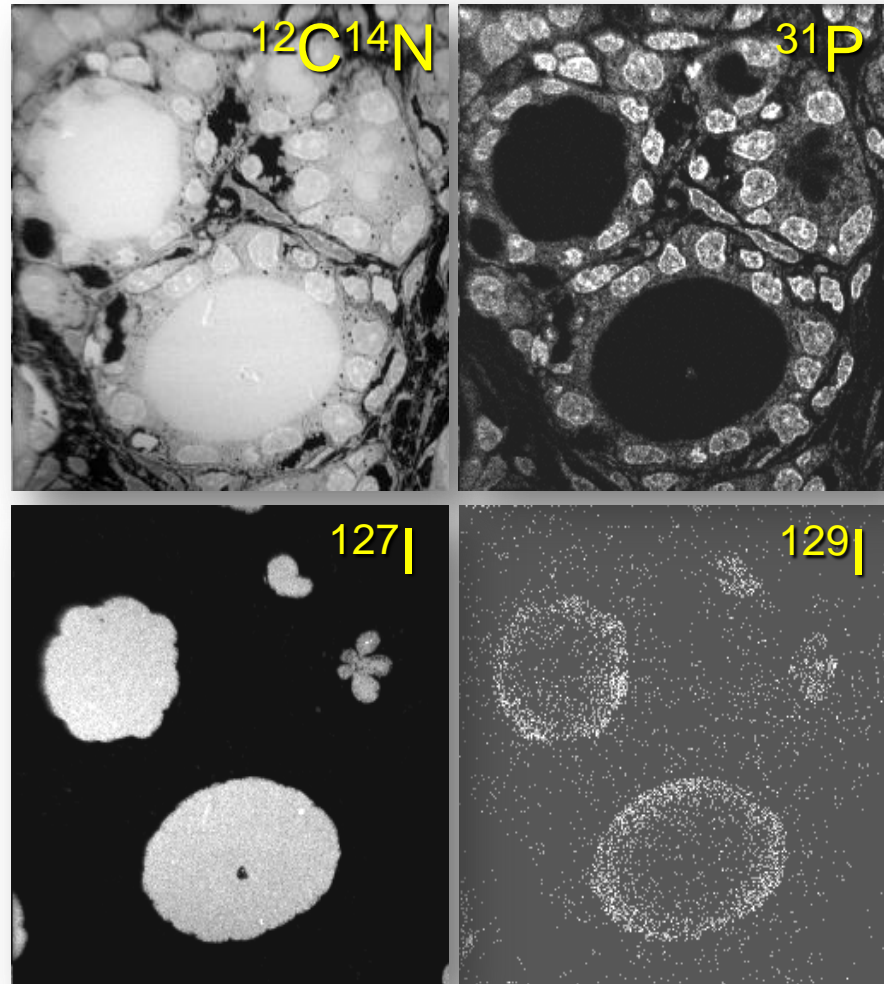
Caractéristiques du NanoSims50 :

- Analyses élémentaires
- Excellente transmission des ions secondaires (80% avec $M/\Delta M$ de 5000)
- Détection en parallèle de cinq images
- Haute résolution latérale (**50 nm** en Cs)

Brevet Université Paris-Sud (P. Slodzian)

Nano SIMS Analyse isotopique

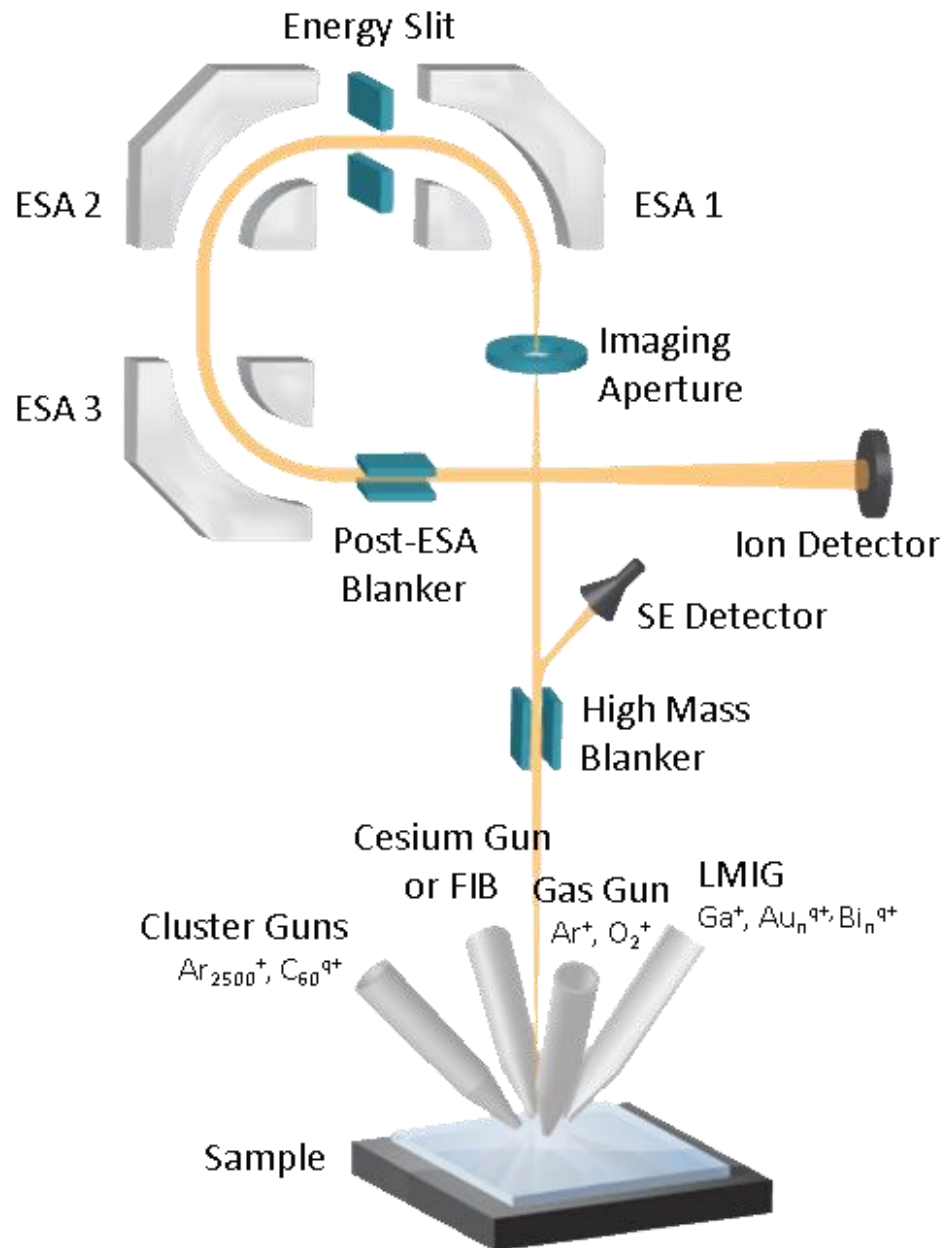
Distribution de l'iode dans la
thyroïde
Application pour les simulations
de doses absorbées



Champ de
60 µm x 60 µm

d'après J.-L. Guerquin-Kern, Institut Curie, Orsay

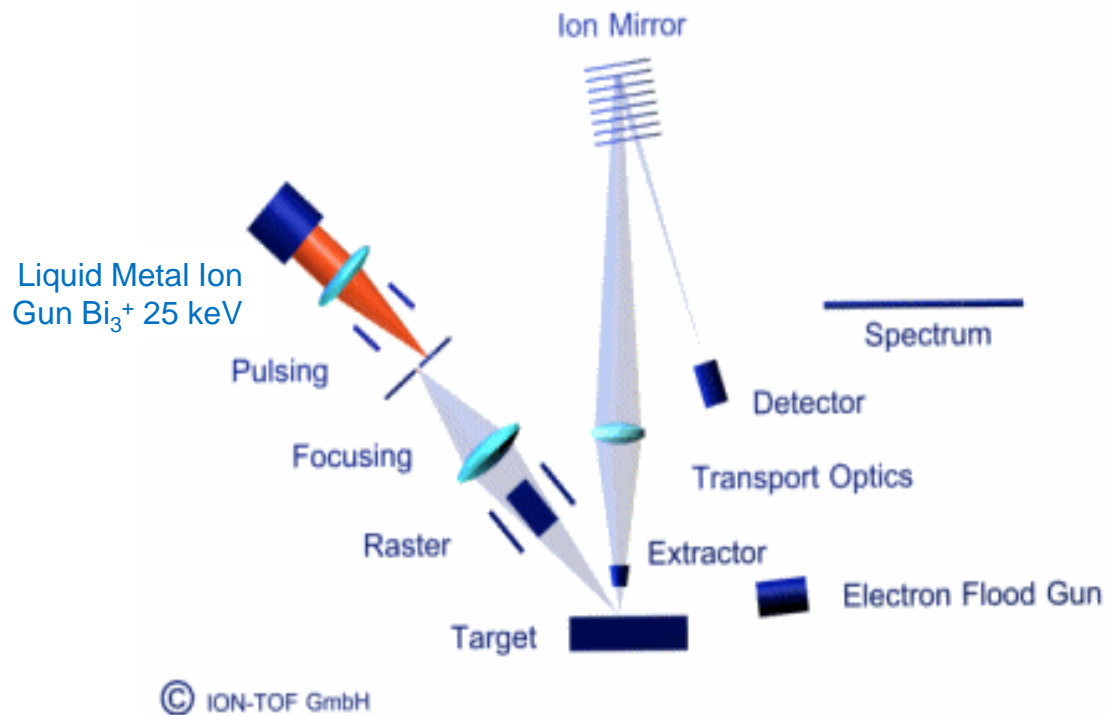
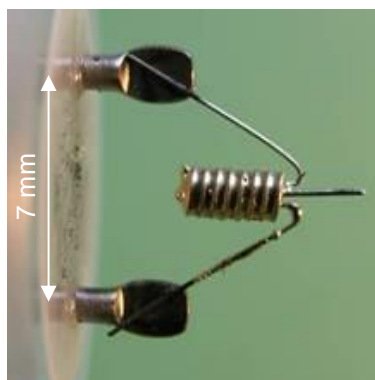
TRIFT (PHI)



Instrumentation TOF-SIMS IV (ION-TOF GmbH)



Liquid Metal Ion Gun Bi_3^+ 25 keV



D. Touboul, F. Halgand, A. Brunelle, R. Kersting,
E. Tallarek, B. Hagenhoff, O. Lapr v te
Anal. Chem. 2004, 76, 1550-1559
D. Touboul, O. Lapr v te, A. Brunelle
Curr. Opin. Chem. Biol. 2011, 15, 725-732

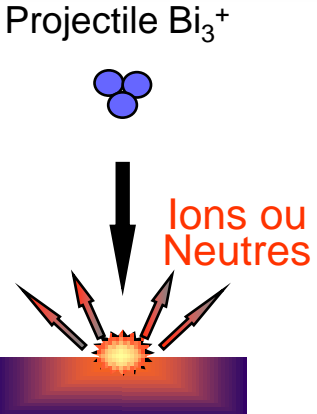
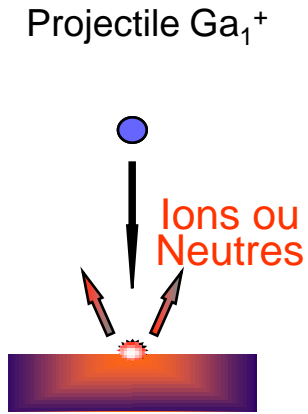
Augmenter l'émission ionique avec des agrégats

L'impact d'un projectile polyatomique est le moyen unique de bombarder une très petite surface simultanément avec plusieurs atomes

Dépôt d'une grande densité d'énergie très près de la surface

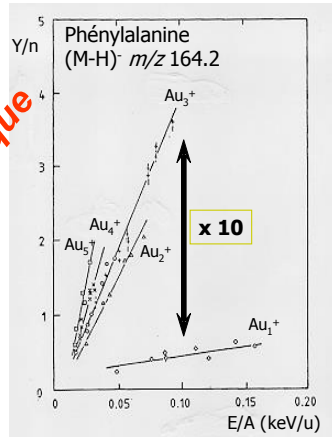
Importante augmentation de l'émission ionique

	VIII					Al	Si	P	S
	9	10	11	12	13	14	15	16	17
5	55.845	58.933	58.693	63.546	65.39	69.723	72.64	74.922	78.96
	Fe	Co	Ni	Cu	Zn	Ga	Ge	As	Se
	FER	COBALT	NICKEL	CUIVRE	ZINC	GALLIUM	GERMANIUM	ARSENIC	SÉLÉNIUM
4	101.07	102.91	106.42	107.87	112.41	114.82	118.71	121.76	127.60
	Ru	Rh	Pd	Ag	Cd	In	Sn	Sb	Te
	RHÉNIUM	RHODIUM	PALLADIUM	ARGENT	CADMIUM	INDIUM	ÉTAIN	ANTIMOINE	TELLURE
5	190.23	192.22	195.08	196.97	200.59	204.38	207.2	208.98	(209)
	Os	Ir	Pt	Au	Hg	Tl	Pb	Bi	Po
	OSMIUM	IRIDIUM	PLATINE	OR	MERCURE	THALLIUM	PLOMB	BISMUTH	POLONIUM
8	(277)	109 (268)	110 (281)	111 (272)	112 (285)		114 (289)		



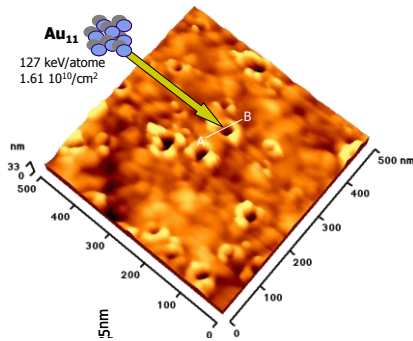
Augmenter l'émission ionique avec des agrégats

Emission ionique



M. Benguerba, A. Brunelle, S. Della-Negra, J. Depauw, H. Joret, Y. Le Beyec, M.G. Blain, E.A. Schweikert, G. Ben Assayag, P. Sudraud
Nucl. Instrum. Methods. Phys. Res. B 1991, 62, 8-22

Pulvérisation



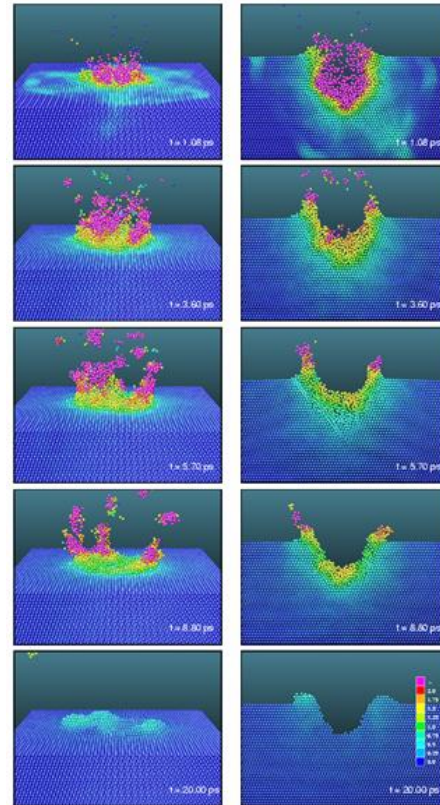
S. Bouneau, A. Brunelle, S. Della-Negra, J. Depauw, D. Jacquet, Y. Le Beyec, M. Pautrat, M. Fallavier, J.C. Poizat and H.H. Andersen,
Phys. Rev. B 2002, 65, 144106 1-10

Dynamique moléculaire

Au₄ 16 keV



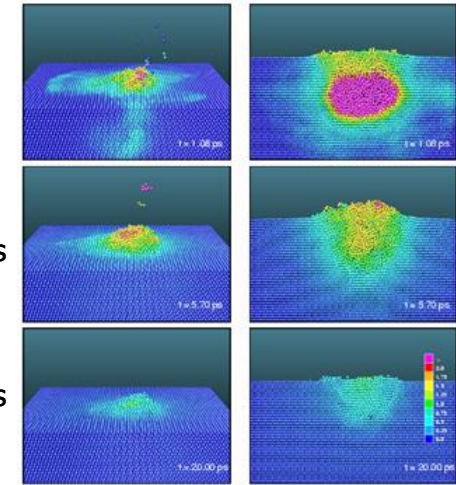
(Y=317)



Au₁ 16 keV



(Y=26)



1.08 ps

5.70 ps

20.0 ps

1.08 ps

3.60 ps

5.70 ps

8.80 ps

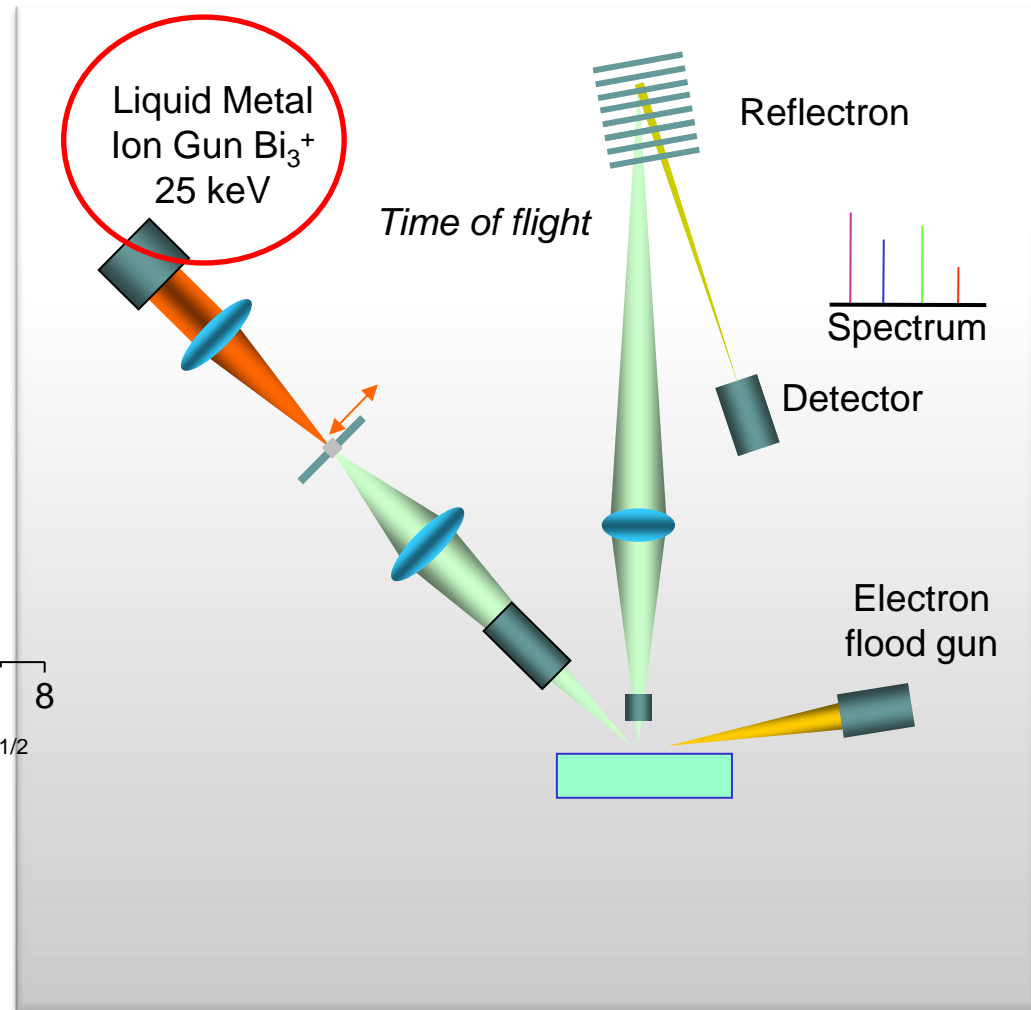
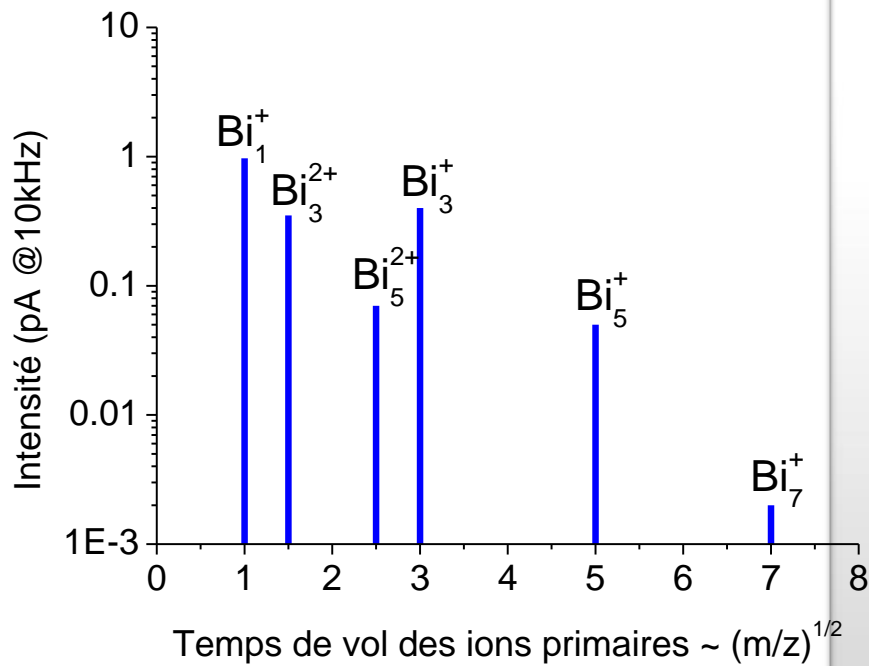
20.0 ps

Les couleurs représentent la température en unités de la température de fusion de l'or (1338K).

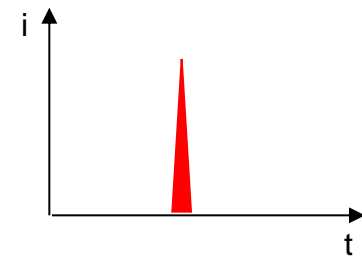
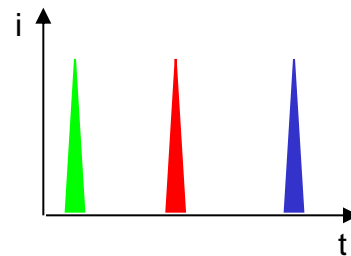
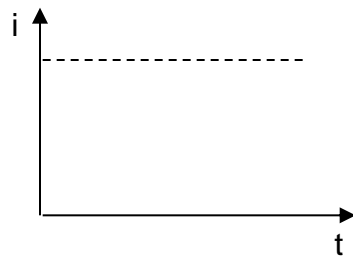
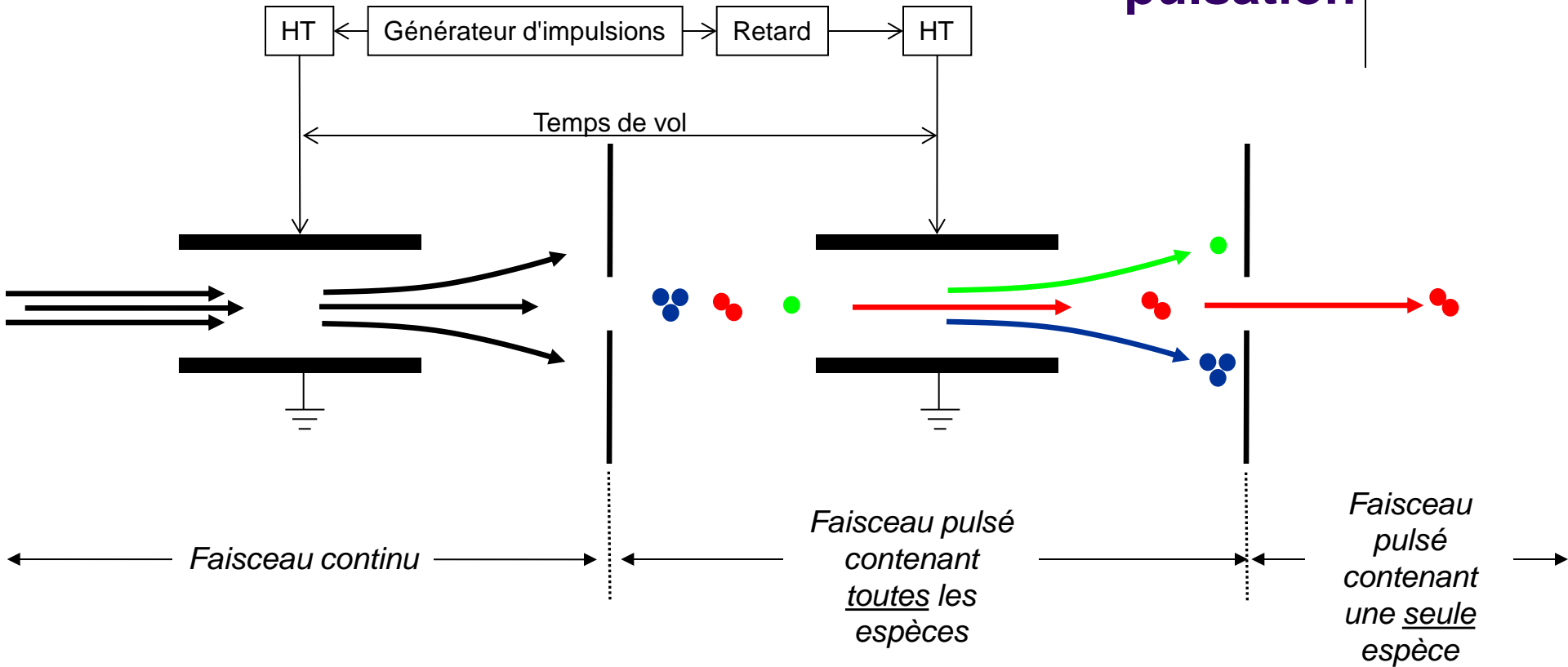
T.J. Colla, R. Aderjan, R. Kissel, H.M. Urbassek,
Phys. Rev. B. 2000, 62, 8487-8493

Composition d'un faisceau d'agrégats de bismuth

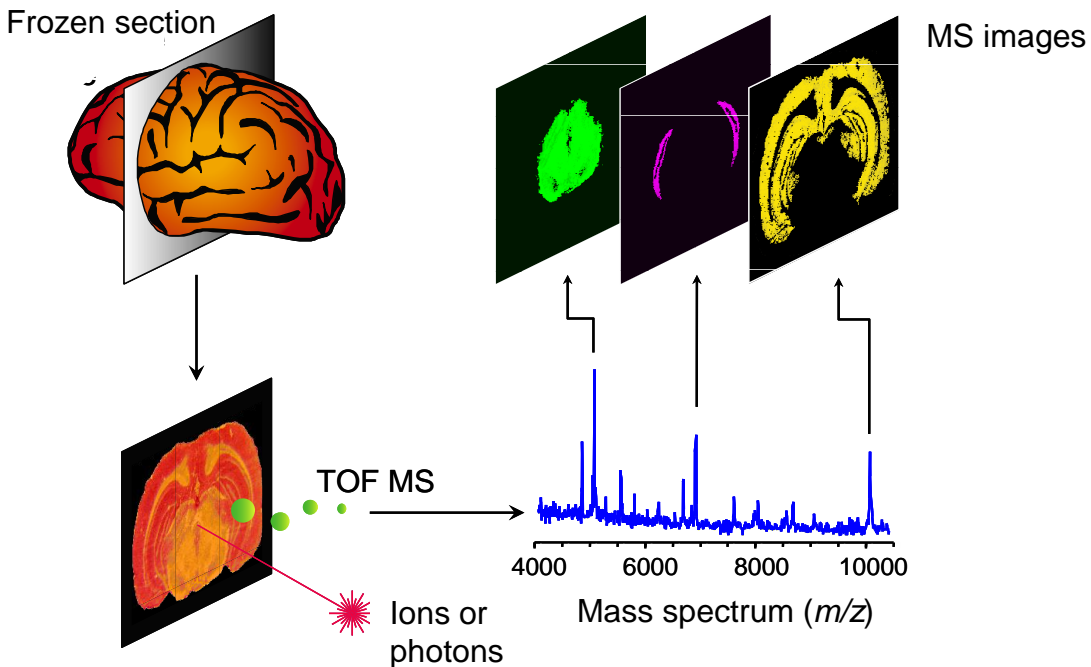
Bi_n^{q+} 25kV



Sélection en masse des ions primaires par leur temps de vol entre deux jeux de plaques de pulsation



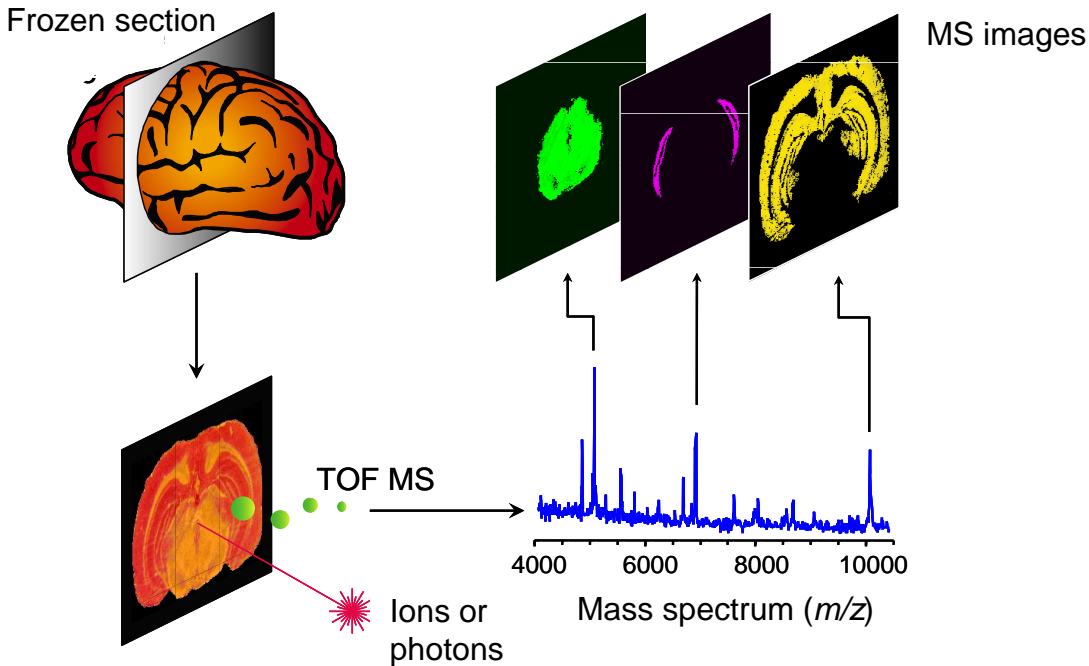
Mass Spectrometry Imaging MALDI and SIMS



- **MS Images**

- Ion density maps
- 1 acquisition = one image for each peak and one spectrum per pixel...
- Huge amount of data

Mass Spectrometry Imaging MALDI and SIMS



MS Images

- Ion density maps
- 1 acquisition = one image for each peak and one spectrum per pixel...
- Huge amount of data

	MALDI	SIMS
Desorption	UV Laser	Focused cluster ion beam
Spatial resolution	10-50 μm	400 nm - 2 μm
Sample	Dehydrated, Homogeneous matrix coating	Dehydrated No fixation No matrix
Mass range	$m/z > 200$	$m/z \leq 1500$
Compounds	Proteins, Peptides, Lipids , Drugs, Metabolites,...	Lipids Glycosphingolipids Cyclopeptides, Drugs, Metabolites, Inorganics,...

*Matrix Assisted Laser Desorption Ionization
Secondary Ion Mass Spectrometry*

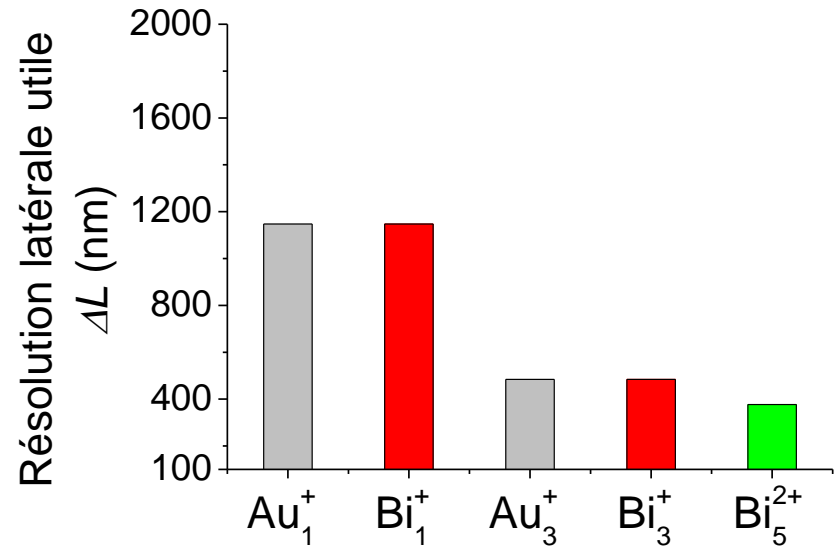
Sensibilité et rendements d'émission ionique secondaire

Résolution latérale utile

Table 1. Estimation of the number of counts per pixel at a total primary ion dose of 10^{13} ions cm^{-2} as a function of pixel size and ion yield.

Ion yield	Pixel size	Atoms per pixel	Maximum counts per pixel
1.00E-02	10 $\mu\text{m} \times 10 \mu\text{m}$	1E + 08	100,000
1.00E-02	1 $\mu\text{m} \times 1 \mu\text{m}$	1,000,000	1000
1.00E-02	0.5 $\mu\text{m} \times 0.5 \mu\text{m}$	250,000	250
1.00E-02	0.1 $\mu\text{m} \times 0.1 \mu\text{m}$	10,000	10
1.00E-03	10 $\mu\text{m} \times 10 \mu\text{m}$	1E + 08	10,000
1.00E-03	1 $\mu\text{m} \times 1 \mu\text{m}$	1,000,000	100
1.00E-03	0.5 $\mu\text{m} \times 0.5 \mu\text{m}$	250,000	25
1.00E-03	0.1 $\mu\text{m} \times 0.1 \mu\text{m}$	10,000	1
1.00E-04	10 $\mu\text{m} \times 10 \mu\text{m}$	1E + 08	1000
1.00E-04	1 $\mu\text{m} \times 1 \mu\text{m}$	1,000,000	10
1.00E-04	0.5 $\mu\text{m} \times 0.5 \mu\text{m}$	250,000	3
1.00E-04	0.1 $\mu\text{m} \times 0.1 \mu\text{m}$	10,000	0

$$\Delta L = \sqrt{\frac{4}{E}} \quad E = \frac{Y}{\sigma}$$

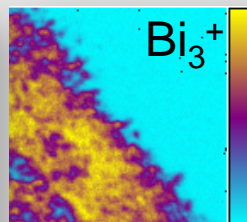
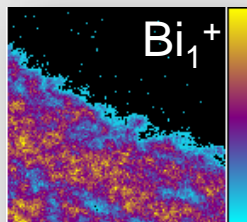
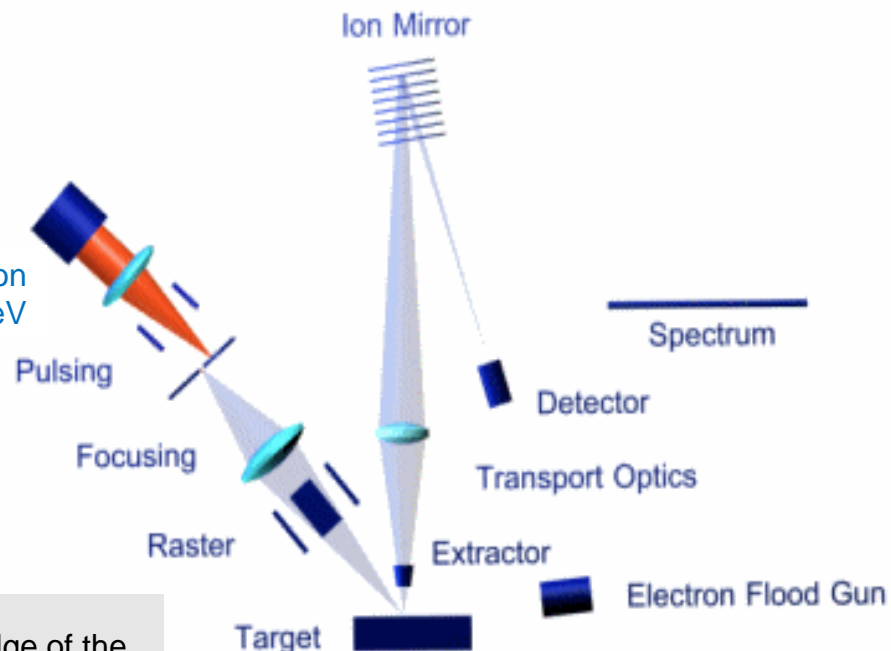


D. Touboul, F. Kollmer, E. Niehuis, A. Brunelle, O. Lapr votte,
J. Am. Soc. Mass Spectrom., 2005, 16, 1608-1618

Instrumentation TOF-SIMS IV (ION-TOF GmbH)



Liquid Metal Ion Gun Bi_3^+ 25 keV



M: 369
mc: 16 tc: 1.924e+5

M: 369
mc: 118 tc: 2.366e+6

Images recorded at the edge of the *corpus callosum* on a rat brain section

256x256 pixels, 256x256 μm^2

Pixel size 1x1 μm^2

Same fluences 10^{12} ions. cm^{-2}

Acquisition time : 4 and 10 minutes

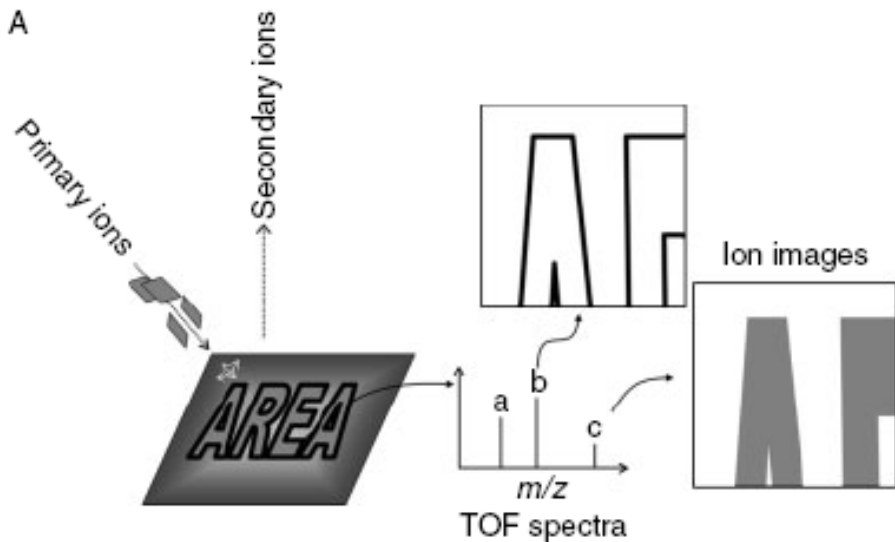
D. Touboul, F. Halgand, A. Brunelle, R. Kersting,
E. Tallarek, B. Hagenhoff, O. Lapr vate
Anal. Chem. 2004, 76, 1550-1559
D. Touboul, O. Lapr vate, A. Brunelle
Curr. Opin. Chem. Biol. 2011, 15, 725-732

Acquisition des images: Balayage du faisceau d'ions primaires et déplacement de l'échantillon

Champ de l'optique d'extraction
à l'entrée de l'analyseur = $500 \times 500 \mu\text{m}^2$

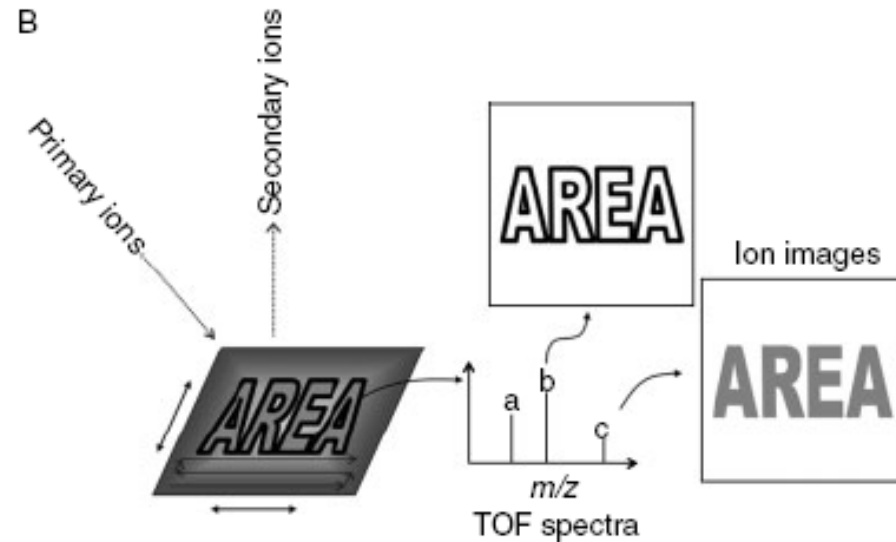
- A: Objet $\leq 500 \times 500 \mu\text{m}^2$

- Porte échantillon immobile
- Balayage du faisceau pixel par pixel
- Image vidéo simultanée



- B: Objet $> 500 \times 500 \mu\text{m}^2$

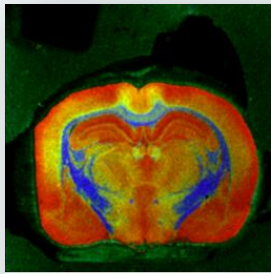
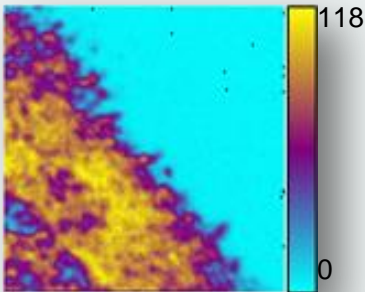
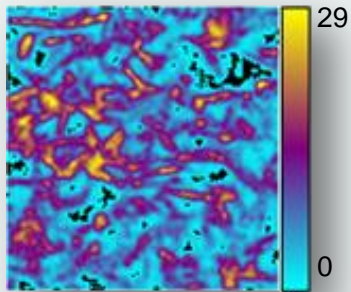
- Porte échantillon mobile
- Le faisceau balaye éventuellement à l'intérieur d'un pixel



Ajustement du nombre de pixels (de 64×64 à 2048×2048), du nombre de tirs par pixels (ou scans) et de la durée d'analyse (gamme de masse), paramètres conditionnant la durée d'acquisition et la dose ($\text{ions} \cdot \text{cm}^{-2}$)

TOF-SIMS lipid imaging



Spatial resolution	50 μm	1 μm	200 nm
Acquisition time for a 256x256 pixels image	1 hour	15 minutes	30-60 minutes
Examples on Rat brain sections	 <p>red=(255+283) green=892 blue=771</p>		
Field of view	18 mm x 18 mm	256 μm x 256 μm	55 μm x 55 μm
	3 colour overlay	edge of <i>corpus callosum</i> Cholesterol	inside of <i>corpus callosum</i> Cholesterol
→	Several images (positive and negative ion modes) can always be recorded on the same area		

In vivo :

- Rayon X (absorption)
- TEP (Tomographie par émission de positons)
- IRM (Imagerie par Résonance Magnétique, absorption/émission)

Ex vivo :

- Fluorescence (absorption/émission)
- Marquage radioactif (émission)
- IR (Infra-Rouge, absorption)
- MEB (Microscopie électronique à balayage, molécule)
- MFA (Microscopie à force atomique, atomes)...

Mais toutes ces techniques sont basées sur des signaux de molécules connues a priori ...

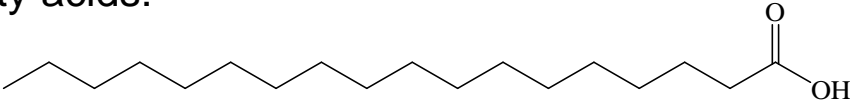
Nouvelles techniques d'imagerie biologique permettant d'accéder à **la distribution**, à **la composition** et à la **structure chimique** d'un grand nombre de composés en mélange sur une surface et **sans aucun a priori**

... seule la Spectrométrie de Masse permet d'accéder à ces données grâce aux sources laser (MALDI) ou aux sources d'ions (SIMS) focalisées.

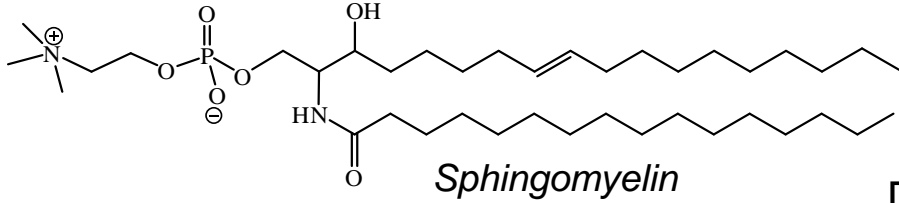
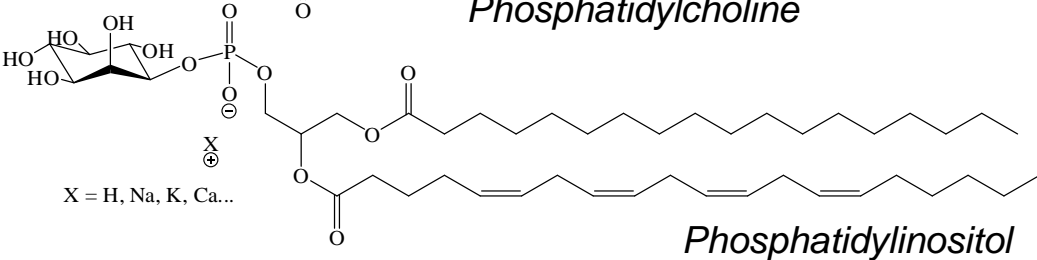
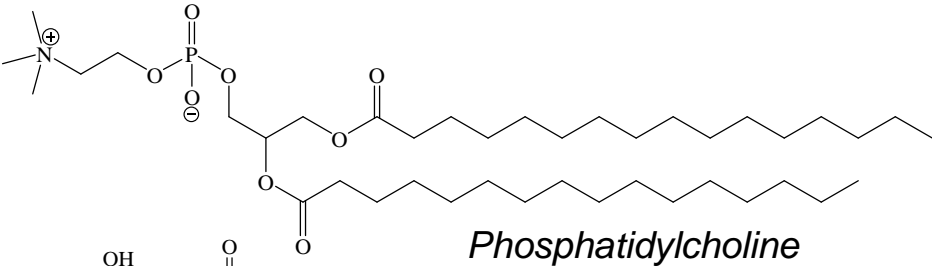
Targeted lipids



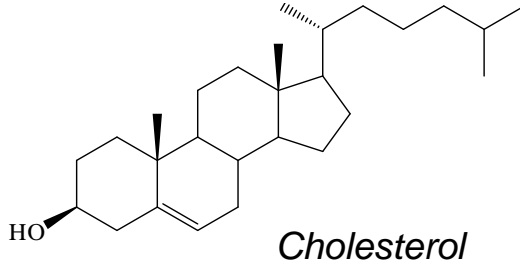
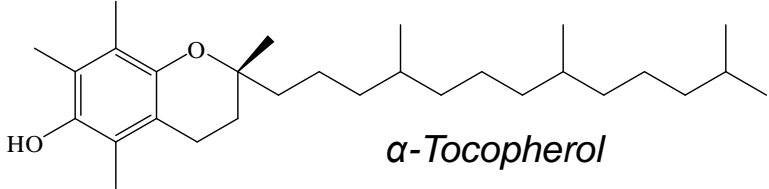
Fatty acids:



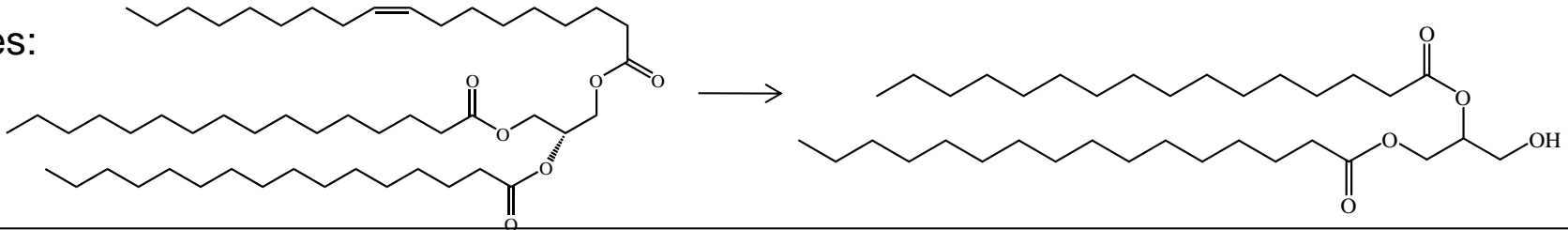
Phospholipids:



Sterols:



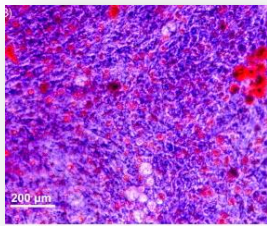
Triglycerides:



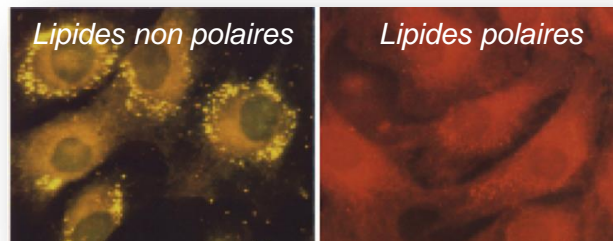
Diglycerides:

- Lipides :
 - Grande variété de fonctions biologiques
 - Composants structurels majeurs des membranes cellulaires
 - Stockage d'énergie
 - Antioxydants
 - Signaux cellulaires
 - Composition et distribution lipidiques qui dépendent:
 - Du type cellulaire
 - De l'état d'un groupe de cellules
 - Des conditions physiologiques
- Imageries chimiques : anatomo-pathologie → colorants lipophiles

Noir Soudan



Rouge de Nil

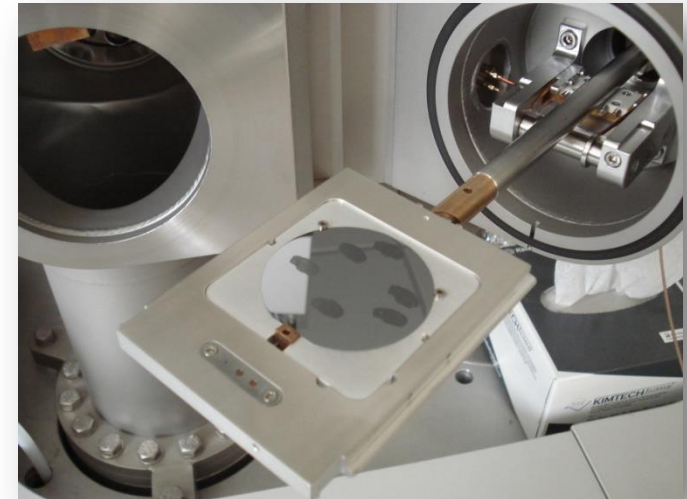
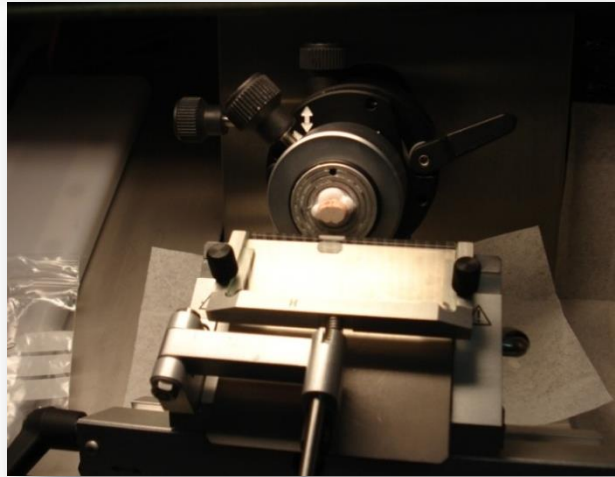
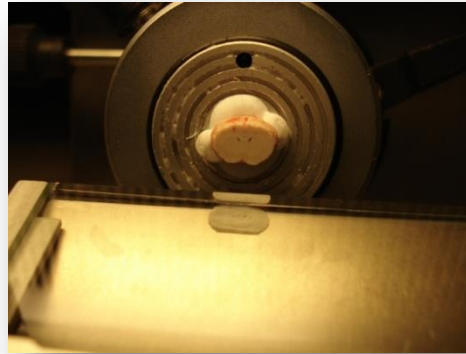


*Excitation 450-500 nm
Emission >528 nm*

*Excitation 515-560 nm
Emission >590 nm*

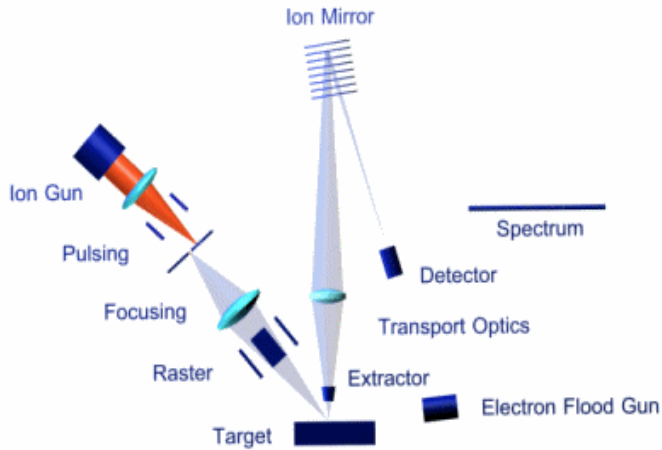
- Peu spécifiques : tous les lipides, ou seulement des familles de lipides
- Spectrométrie de masse couplée à des chromatographies gazeuses ou liquides :
 - Excellent pour quantification et/ou identification
 - Extraction préalable → perte de la localisation sur le tissu

Préparation des échantillons: coupes au cryostat



- Après dissection, congélation rapide à -80°C (Azote liquide)
- Montage du tissu sur bloc d'OCT
- Sections de $10\text{-}20\ \mu\text{m}$ coupées à l'aide d'un cryostat (-20°C)
- Montage des sections sur une plaque (inox, verre ou silicium)
- Coupes sériées pour SIMS et histologie

Is imaging a reproducible technique ?



© ION-TOF GmbH



Bich C, Touboul D, Brunelle A.
Int J Mass Spectrom.
2013;337:43-49.

gyrus dentatus

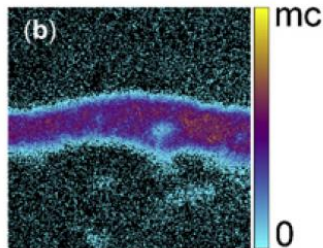
cortex

+

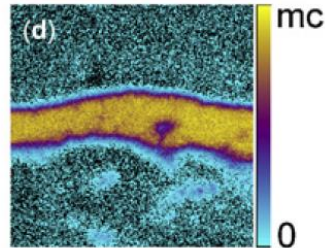
-

+

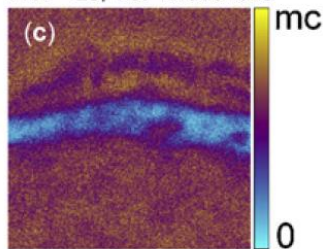
-



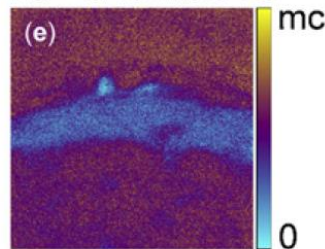
[Cholesterol-H]⁺, *m/z* 385.4
MC: 28; TC: 1.495e+005



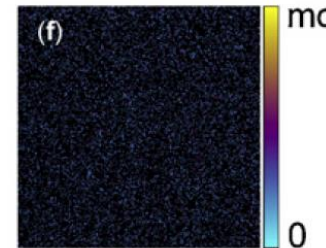
[Cholesterol-H], *m/z* 385.4
MC: 40; TC: 4.469e+005



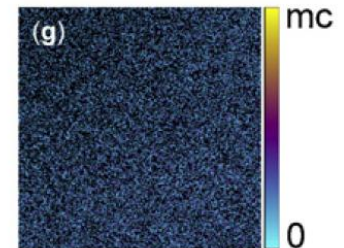
[C₅H₁₄NO]⁺, *m/z* 104.1
MC: 37; TC: 1.402e+006



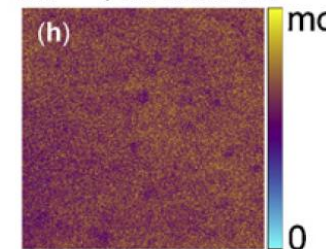
FA (C16:0), *m/z* 255.2
MC: 35; TC: 1.171e+006



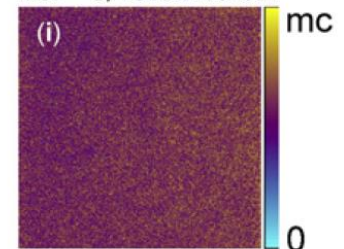
[Cholesterol-H]⁺, *m/z* 385.4
MC: 4; TC: 1.121e+004



[Cholesterol-H]⁻, *m/z* 385.4
MC: 6; TC: 3.570e+004



[C₅H₁₄NO]⁺, *m/z* 104.1
MC: 37; TC: 1.577e+006



FA (C16:0), *m/z* 255.2
MC: 34; TC: 1.360e+006

Instrumental repeatability



3 adjacent brain sections

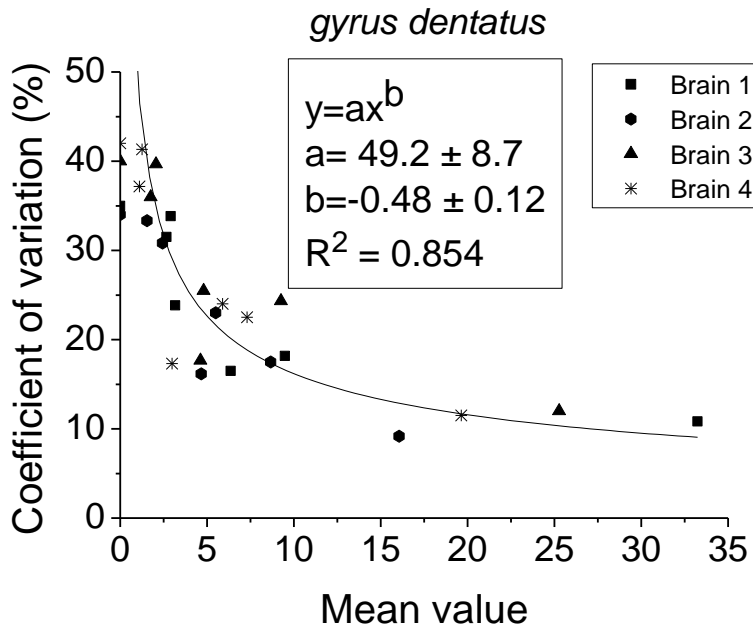
ICSN

m/z		Brain 1					
		L		R		L+R	
		Mean value	CV%	Mean value	CV%	Mean value	CV%
gyrus dentatus							
<i>Positive</i>							
104.1	[C ₅ H ₁₄ NO] ⁺	32	0	31	3.2	31.5	2.5
165.1	[Vit E–C ₁₉ H ₃₇] ⁺	21	0	24.6	4.4	21.6	4.6
184.1	[C ₅ H ₁₅ NO ₄ P] ⁺	35	0	35	0	35	0
185.1	[C ₅ (¹³ C)H ₁₅ NO ₄ P] ⁺	17	5.8	16	6.2	16.5	6
205.2	[Vit E–C ₁₆ H ₃₃] ⁺	8	12.5	7.6	6.6	7.8	8.9
224.1	[C ₈ H ₁₉ NO ₄ P] ⁺	23.6	4.6	24	0	23.8	2.9
369.4	[Cholesterol–H ₂ O+H] ⁺	33.3	3.3	34.3	1.7	33.8	2.6
385.3	[Cholesterol–H] ⁺	17.3	11.4	19	5.2	18.1	9.2
430.3	[Vit E] ⁺	7.6	19.7	14	0	10.8	33.3
<i>Negative</i>							
241.05	[Phosphinositol–H ₂ O]	11.6	12.9	11	9	11.3	10.6
255.2	FA C16:0	31.3	1.9	30.6	1.9	31	1.9
281.2	FA C18:1	26	7.7	25.3	2.3	25.6	5
283.2	FA C18:0	23	4.3	22.6	4.8	22.8	3.9
385.4	[Cholesterol–H] [–]	33.6	1.7	33.6	1.7	33.6	1.4
386.4	[Cholesterol (¹³ C)–H]	19.6	7.6	20	0	19.8	4.5
806.6	[Sulfatide36:1–H]	7	0	7	14.2	7	8.5
Cortex							
<i>Positive</i>							
104.1	[C ₅ H ₁₄ NO] ⁺	31	3.22	31.3	1.9	31.1	2.2
165.1	[Vit E–C ₁₉ H ₃₇] ⁺	16	6.2	17.3	3.4	16.6	6
184.1	[C ₅ H ₁₅ NO ₄ P] ⁺	35	0	35	0	35	0
185.1	[C ₅ (¹³ C)H ₁₅ NO ₄ P] ⁺	16.6	3.6	16	6.2	16.3	4.9
205.2	[Vit E–C ₁₆ H ₃₃] ⁺	6.6	9	7	14.2	6.8	10.2
224.1	[C ₈ H ₁₉ NO ₄ P] ⁺	23.6	8.4	22.3	4.9	23	6.9
369.4	[Cholesterol–H ₂ O+H] ⁺	5.6	10.7	5.3	11.3	5.5	9
385.3	[Cholesterol–H] ⁺	4.3	13.9	4	0	4.1	9.7
430.3	[Vit E] ⁺	4.3	13.9	4.6	13	4.5	11.1
<i>Negative</i>							
241.05	[Phosphinositol–H ₂ O]	11	9	10.3	5.8	10.6	7.5
255.2	FA C16:0	31.3	1.9	31	3.2	31.1	2.2
281.2	FA C18:1	24	4.1	24	4.1	24	3.7
283.2	FA C18:0	22.6	4.8	22	0	22.3	3.5
385.4	[Cholesterol–H] [–]	6	16.7	5.6	10.7	5.8	12
386.4	[Cholesterol (¹³ C)–H]	4	0	4.3	13.9	4.1	9.7
806.6	[Sulfatide36:1–H]	6.3	9.5	6	0	6.1	6.5

3 adjacent brain sections / 4 brains

<i>m/z</i>	Brain 1		Brain 2		Brain 3		Brain 4		Global Mean value		
	L+R		L+R		L+R		L+R		L+R		
	Mean value	CV%	Mean value	CV%	Mean value	CV%	Mean value	CV%	Mean value	CV%	
gyrus dentatus											
<i>Positive</i>											
104.1	[C ₅ H ₁₄ NO] ⁺	31.5	2.5	30.8	2.7	36	2.7	37.1	1	33.9	8.5
165.1	[Vit E–C ₁₉ H	21.6	4.6	19	4.7	23.6	4.7	24.1	2.9	22.1	10.3
184.1	[C ₅ H ₁₅ NO ₄ P] ⁺	35	0	34	0	40	0	42	0	37.8	9.1
185.1	[C ₅ (¹³ C)H ₁₅ NO ₄ P] ⁺	16.5	6	16.1	4.3	17.6	4.3	17.3	2.8	16.9	5.8
205.2	[Vit E–C ₁₆ H ₃₃] ⁺	7.8	8.9	7.3	10.9	7.6	10.9	7.8	8.9	7.7	9.2
224.1	[C ₈ H ₁₉ NO ₄ P] ⁺	23.8	2.9	23	5.2	25.5	5.2	24	5.8	24.1	6.0
369.4	[Cholesterol–H ₂ O+H] ⁺	33.8	2.6	33.3	1.5	29.6	1.5	41.3	1.2	37.0	9.9
385.3	[Cholesterol–H] ⁺	18.1	9.3	17.5	8.5	24.3	8.5	22.5	7.1	20.6	16.4
430.3	[Vit E] ⁺	10.8	33.3	9.1	15.3	12	15.3	11.5	19.1	10.9	25.3
<i>Negative</i>											
241.05	[Phosphoinositol–H ₂ O]	11.3	10.6	11	8.1	10.8	8.1	10.6	4.7	11.0	8.7
255.2	FA C16:0	31	1.9	29.5	1.6	33.8	1.6	33.8	4.1	32.0	6.6
281.2	FA C18:1	25.6	5	25.3	3.9	27.1	3.9	27.6	4.7	26.5	5.6
283.2	FA C18:0	22.8	3.9	22	4	24.3	4	23.8	4.6	23.3	5.6
385.4	[Cholesterol–H] [–]	33.6	1.4	33.3	1.5	39.5	1.5	40.8	3.4	36.8	9.6
386.4	[Cholesterol (¹³ C)–H] [–]	19.8	4.5	18.8	3.7	22.1	3.7	23.1	3	21.0	9.4
806.6	[Sulfatide36:1–H] [–]	7	8.5	7.1	15.4	6.3	15.4	7.1	5.6	6.9	11.2

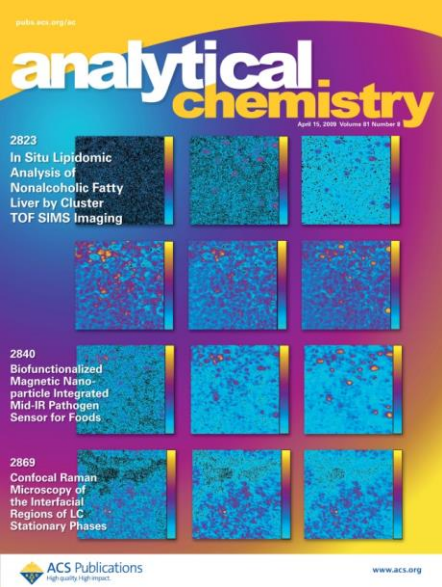
Minimal number of samples



C.V.	Number of sample			
	$\alpha \leq 1\%$	$\alpha \leq 5\%$	$\alpha \leq 10\%$	$\alpha \leq 20\%$
1	7	-	-	-
2	27	-	-	-
3	60	1	-	-
4	106	2	-	-
5	166	4	-	-
6	239	6	1	-
7	325	8	1	-
8	425	10	2	-
9	537	12	2	-
10	664	15	3	-
11	803	19	3	-
12	956	22	4	-
13	1121	26	5	-
14	1301	30	5	-
15	1493	35	6	-
16	1699	39	7	1
17	1918	44	8	1
18	2150	50	9	1
19	2396	55	10	1
20	2654	61	11	2



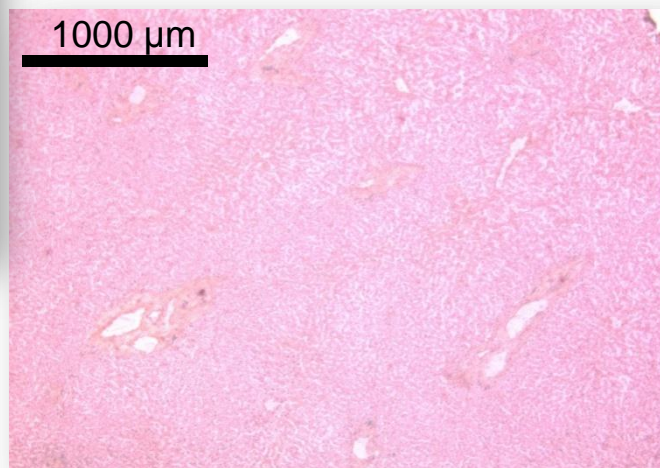
90% of the data measured during an experiment will be in the confidence interval



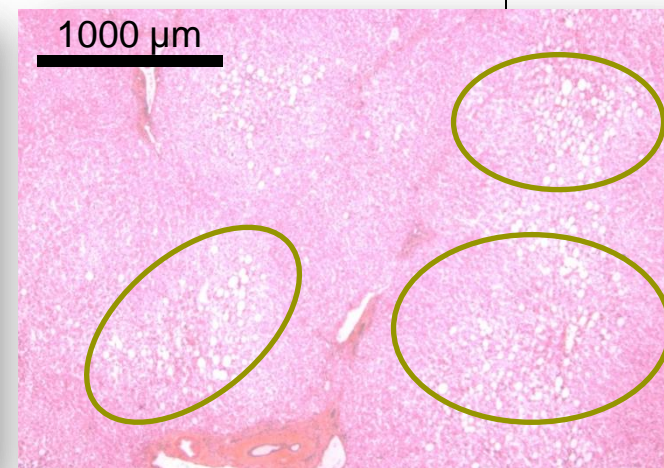
Non-alcoholic fatty liver disease (NAFLD)



H&E staining



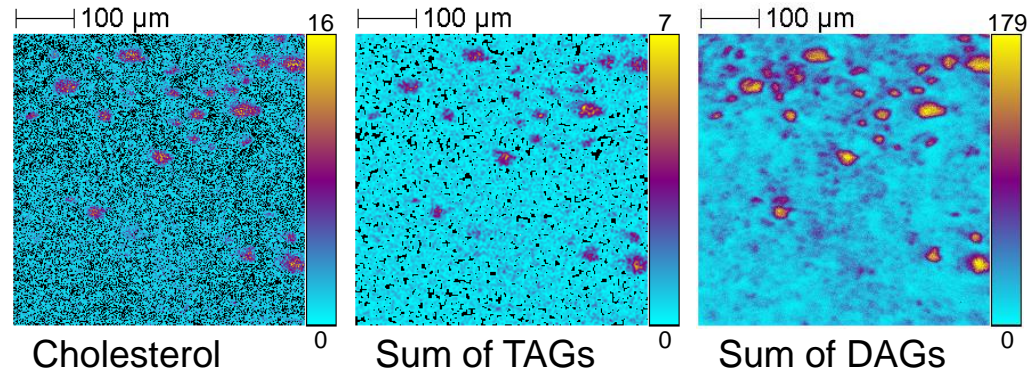
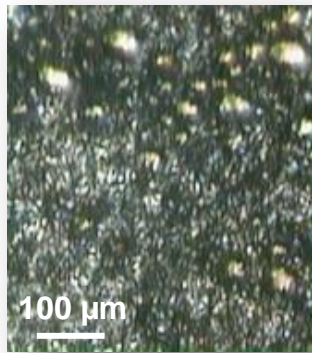
Control liver



Fatty liver

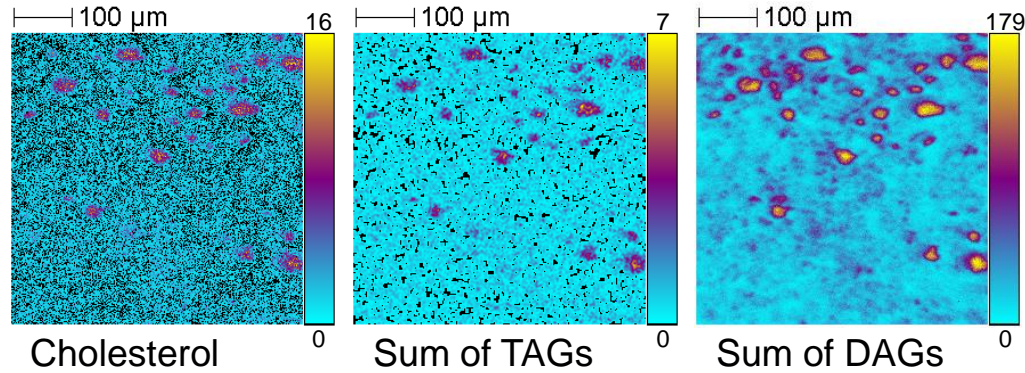
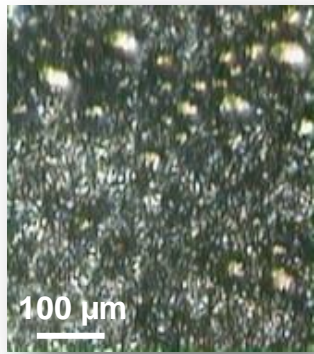
- Accumulation of lipids (mainly diacyl- and triacylglycerols) in hepatocytes,
- On stained sections, lipid vesicles are observed in fatty liver but are not observable in healthy liver,
- NAFLD represents, in the absence of alcohol abuse, a wide spectrum of conditions ranging from simple steatosis (NAFL) to non-alcoholic steatohepatitis (NASH), that may progress to cirrhosis, cancer and necessitate liver transplantation.
- Collaboration François Le Naour , INSERM, Villejuif

Lipid profile of a fatty liver : Steatotic area, positive ion mode

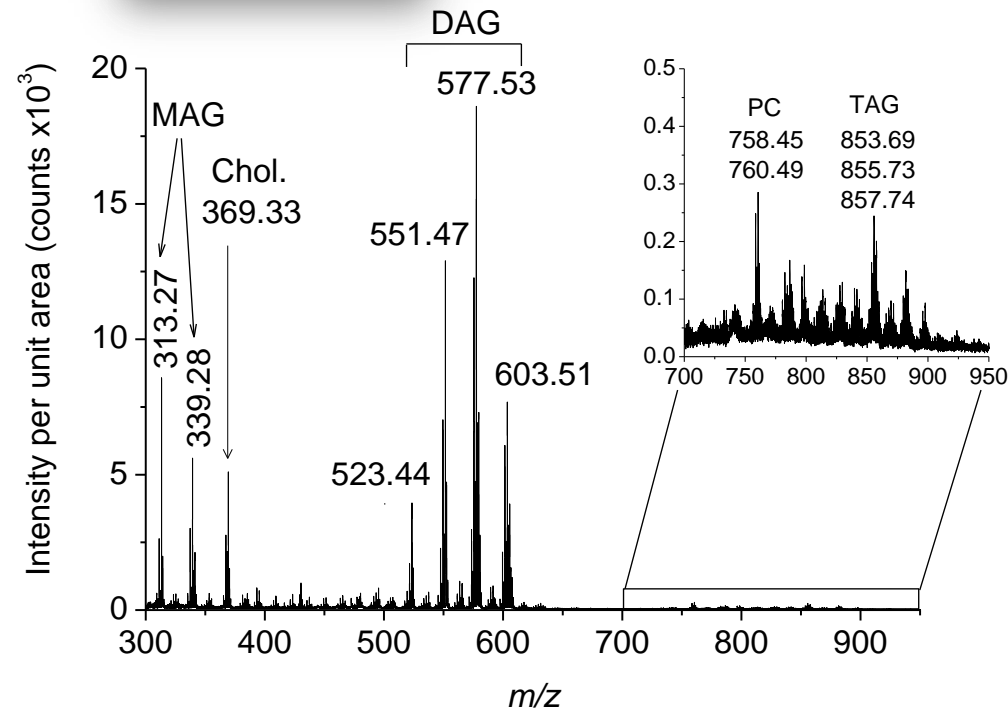


In agreement
with the
disease
description

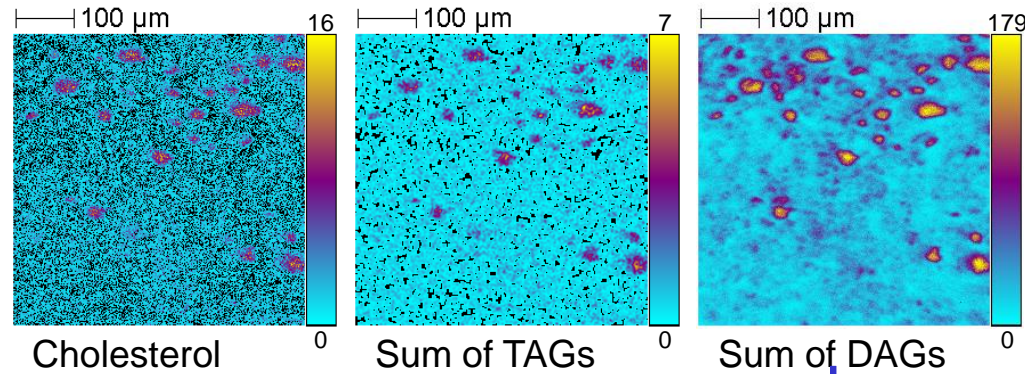
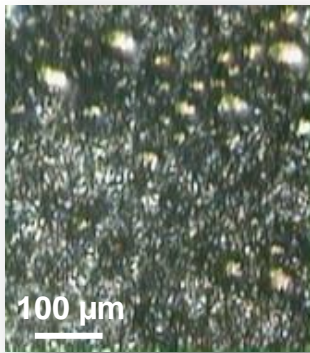
Lipid profile of a fatty liver : Steatotic area, positive ion mode



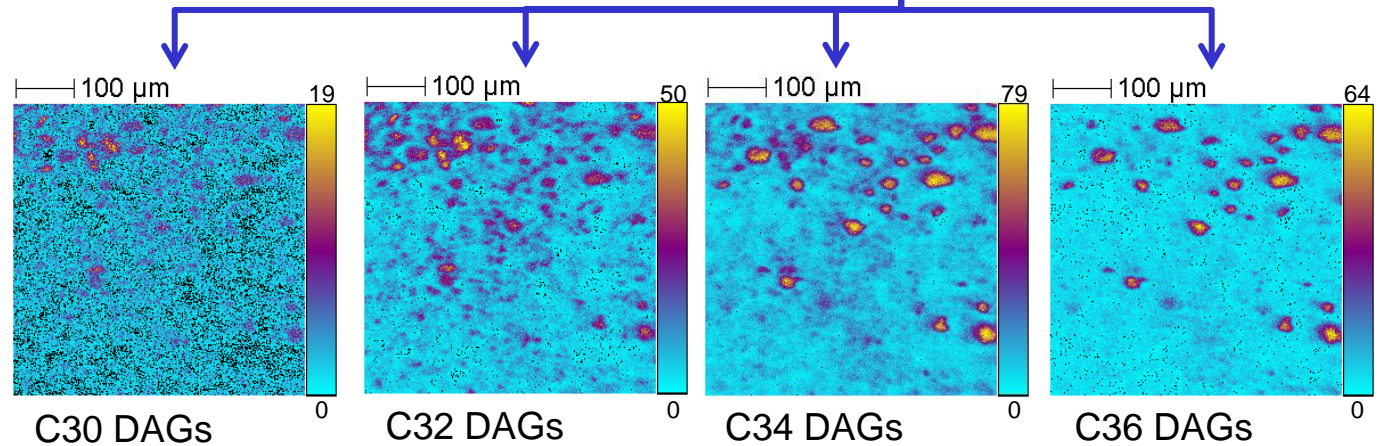
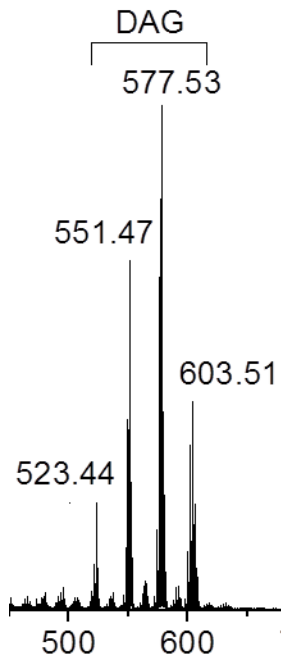
In agreement with the disease description



Lipid profile of a fatty liver : Steatotic area, positive ion mode

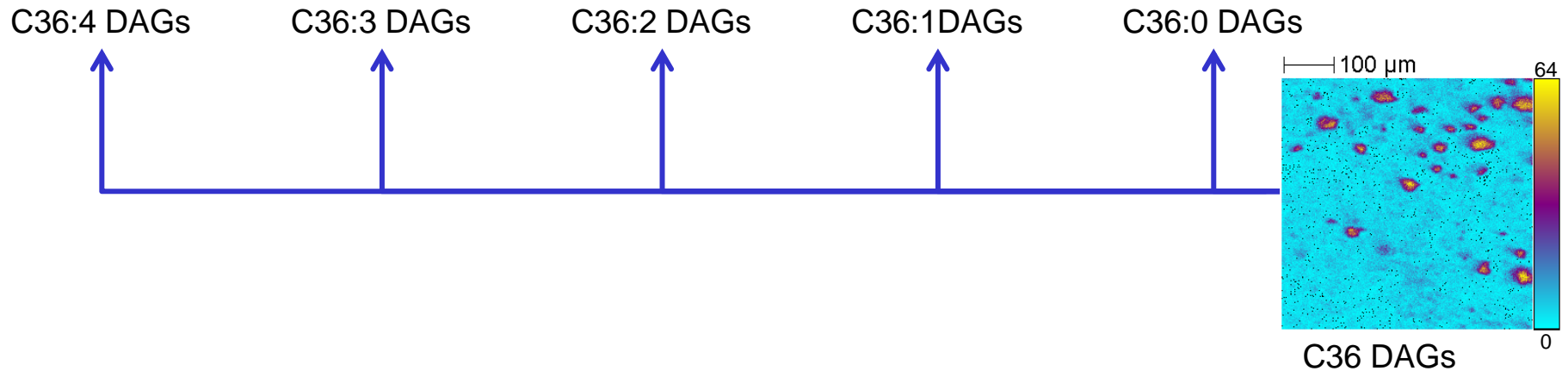


In agreement with the disease description

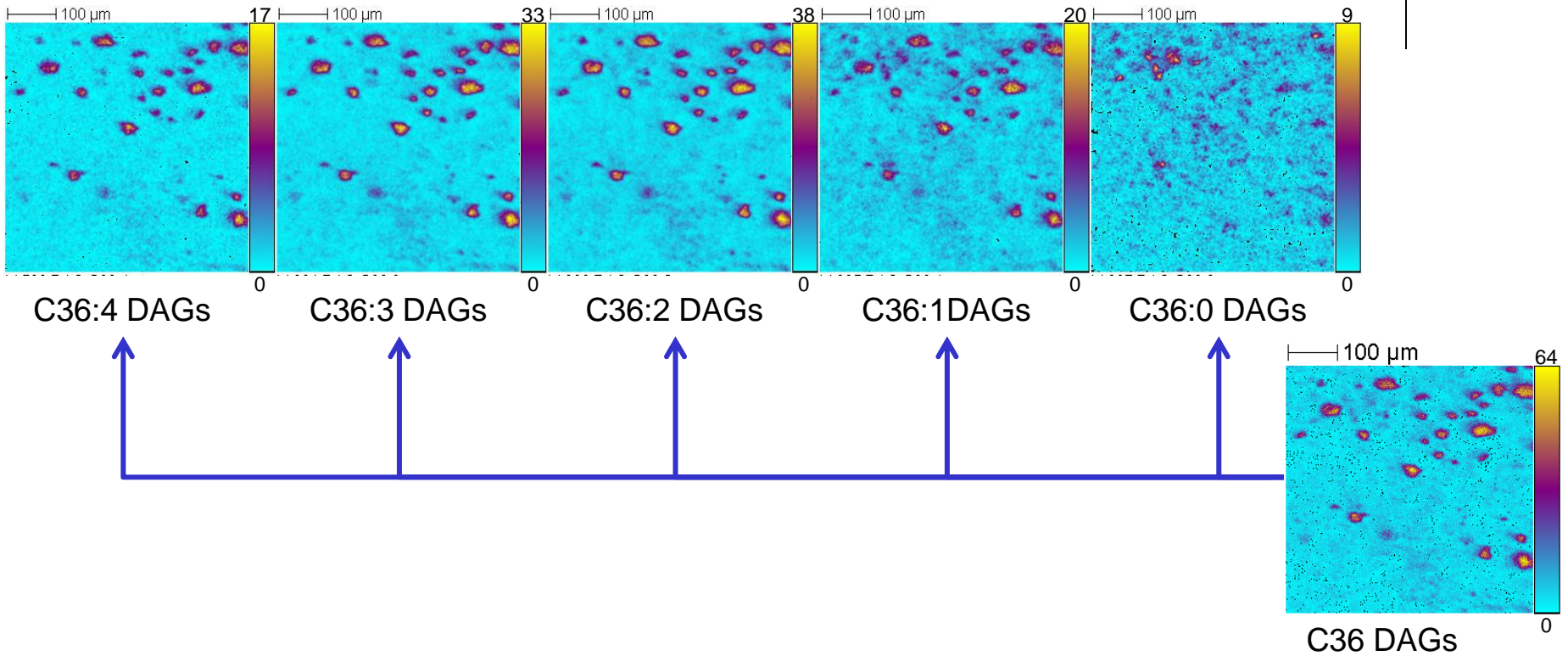


→ Only mass spectrometry imaging makes possible to distinguish between the different localizations among the same lipid species

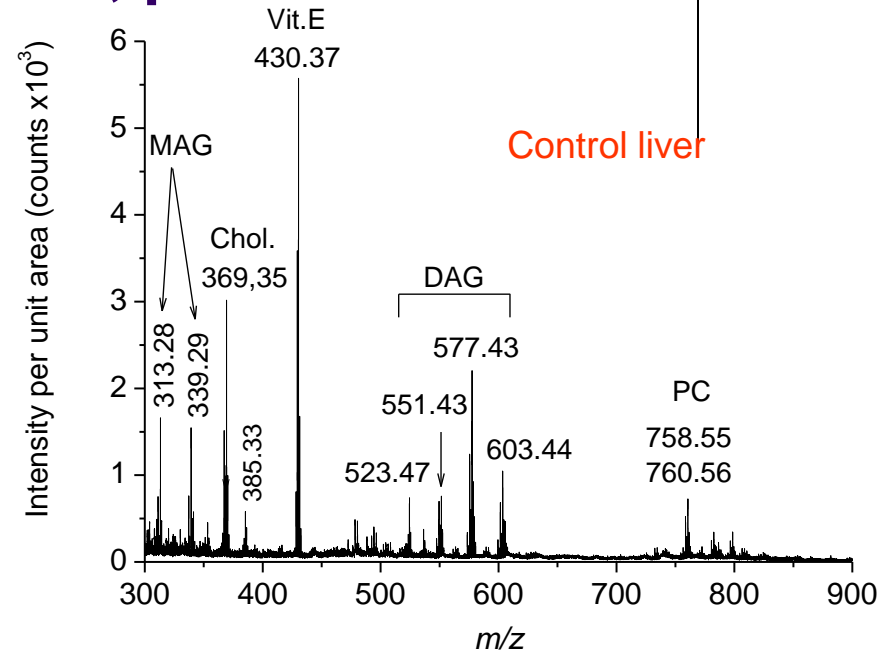
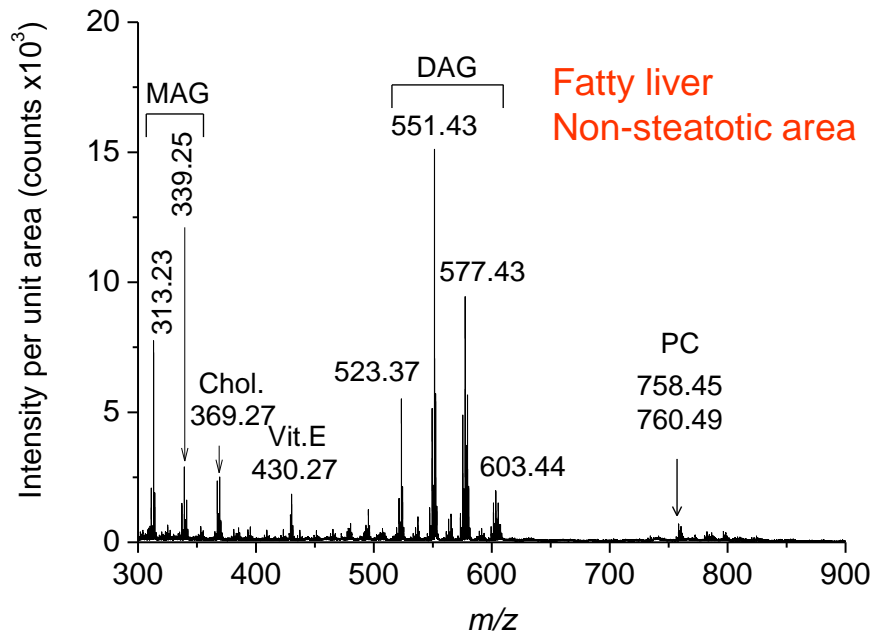
Lipid profile of a fatty liver : Steatotic area, positive ion mode



Lipid profile of a fatty liver : Steatotic area, positive ion mode

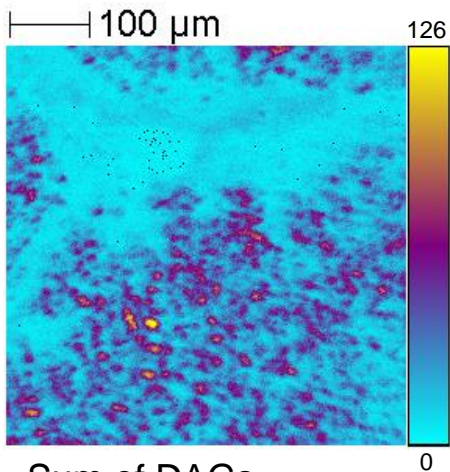


Lipid profile of a fatty liver : Non-steatotic area, positive ion mode

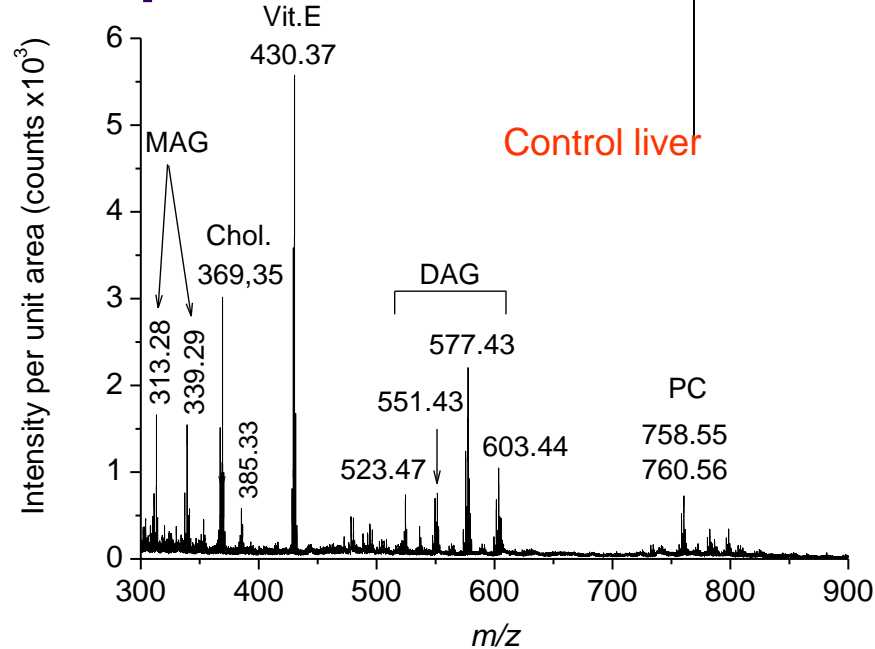
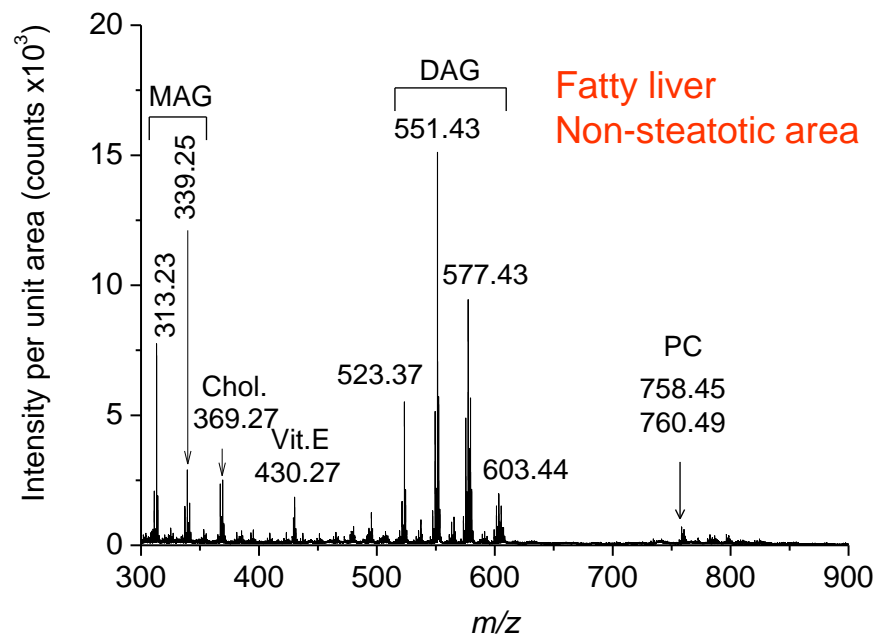


- Decrease of vitamin E signal
- Increase of diacylglycerol signal

Lipid profile of a fatty liver : Non-steatotic area, positive ion mode

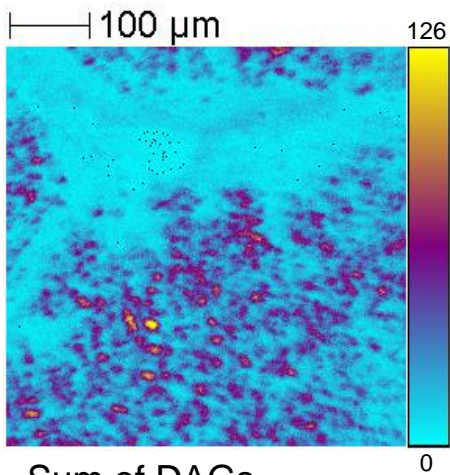


Sum of DAGs

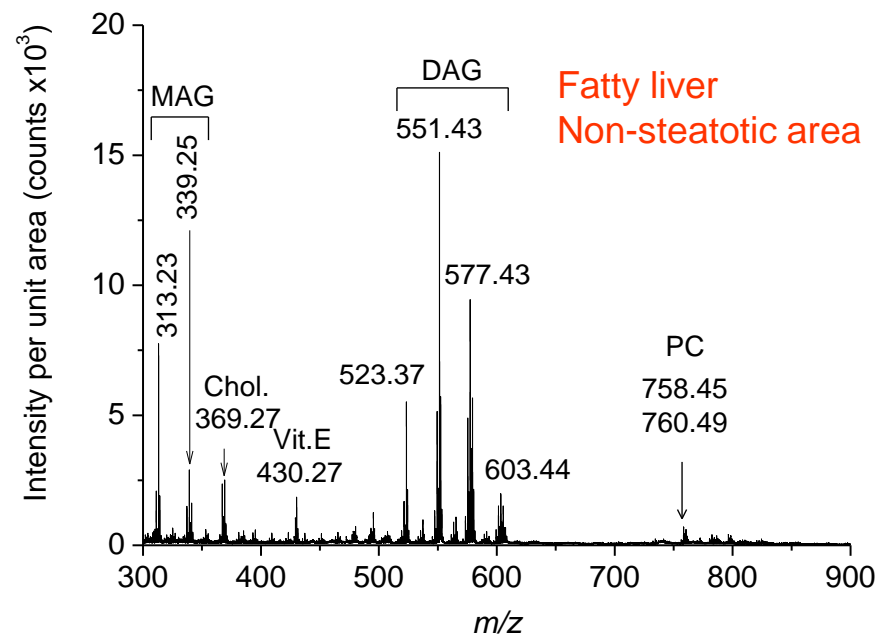


- Decrease of vitamin E signal
- Increase of diacylglycerol signal

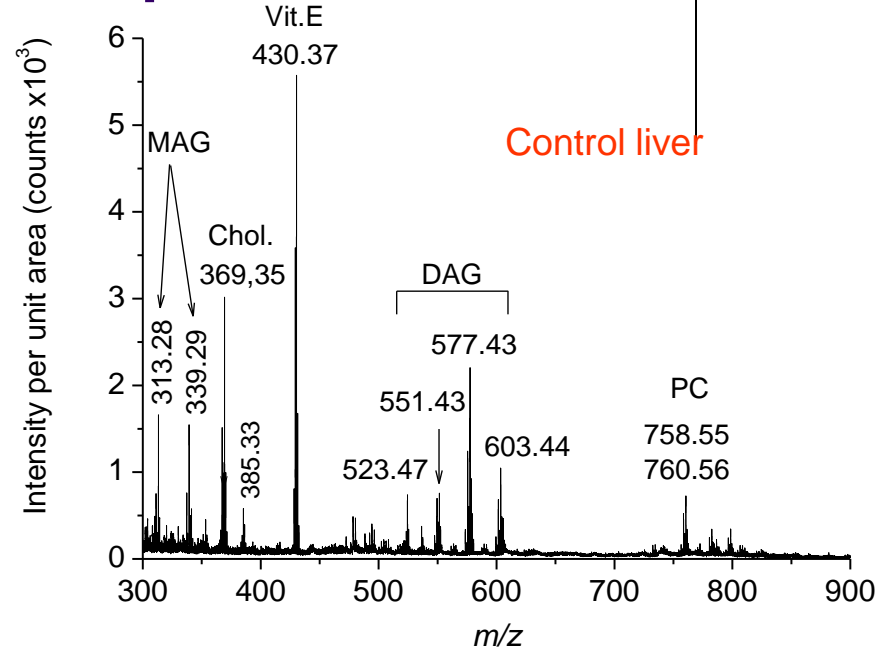
Lipid profile of a fatty liver : Non-steatotic area, positive ion mode



Sum of DAGs



Fatty liver
Non-steatotic area



Control liver

- Decrease of vitamin E signal
- Increase of diacylglycerol signal

Relative intensity variations:

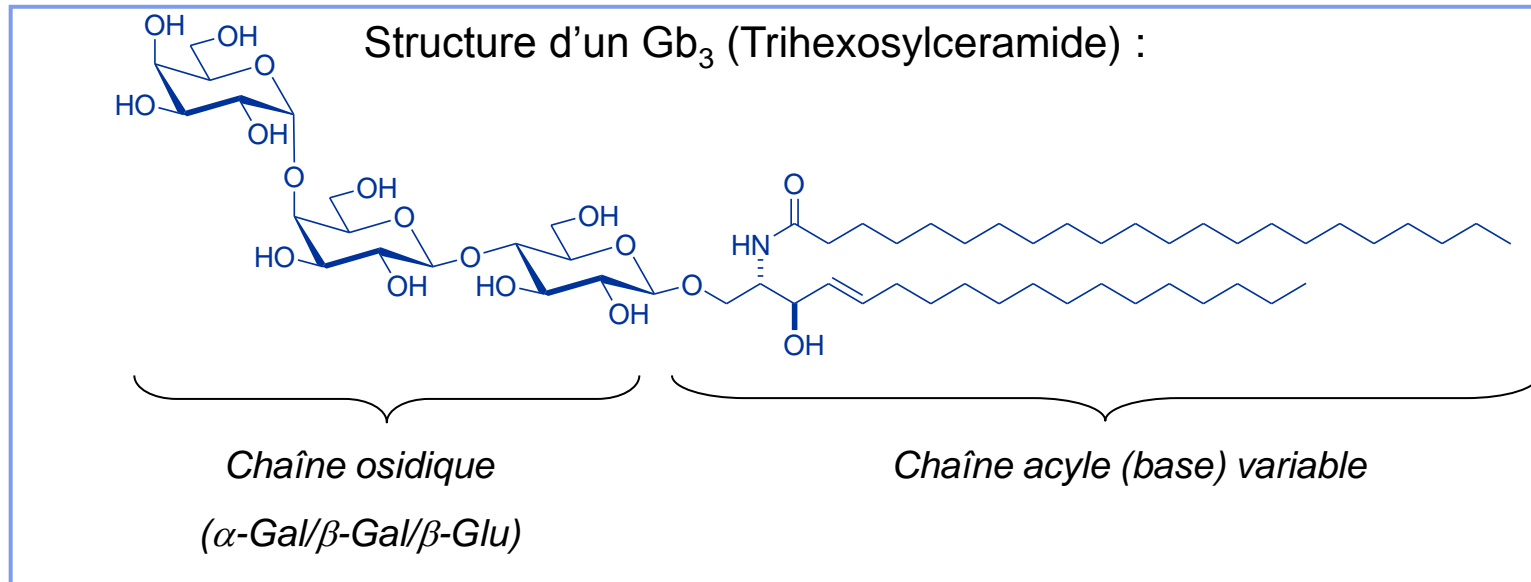
→ Depletion of vitamin E in steatotic liver, better observed in steatotic areas, → Accumulation of diacylglycerols in steatotic and non-steatotic areas, although "normal" for histology

"All or nothing":

→ Myristic acid and tricacylglycerols detected only in steatotic liver

Maladie lysosomale de la famille des sphingolipidoses due à un déficit en α -D-galactosidase-A (α -GALA) de transmission récessive liée au chromosome X (1 cas sur 120 000 naissances)

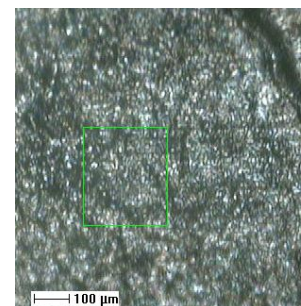
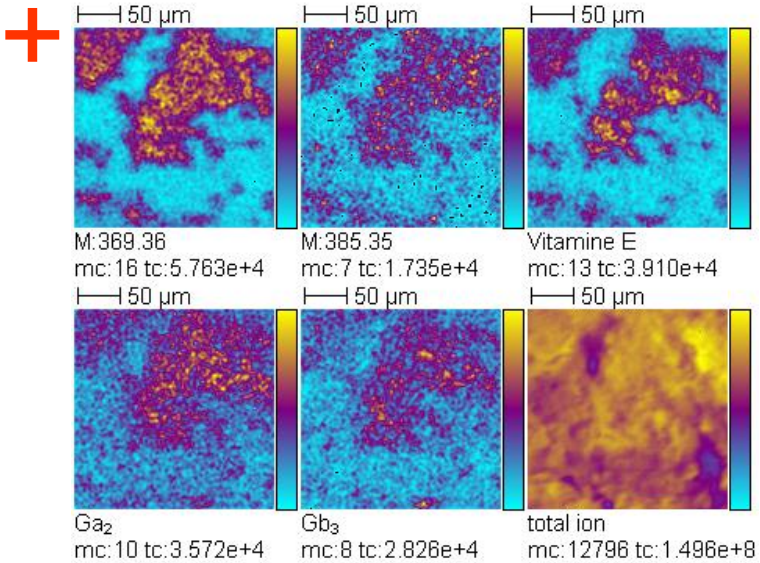
Accumulations de glycosphingolipides Gb_3 et Ga_2



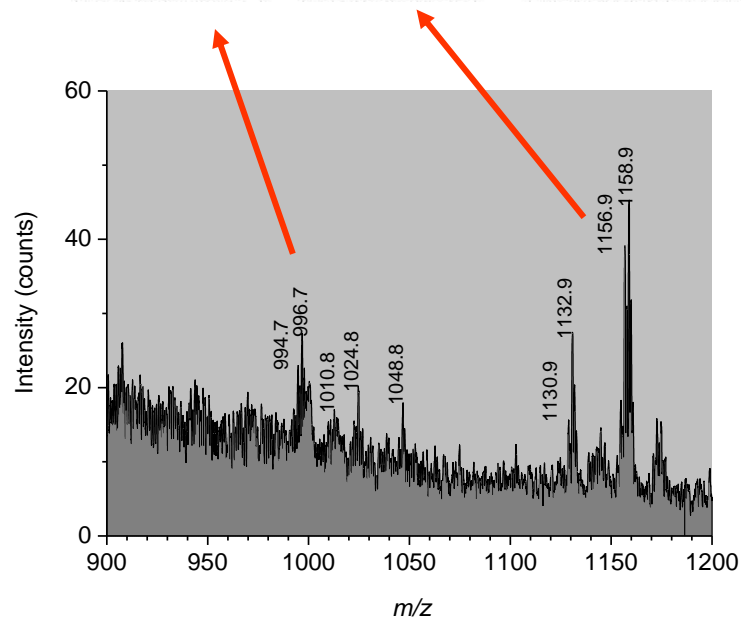
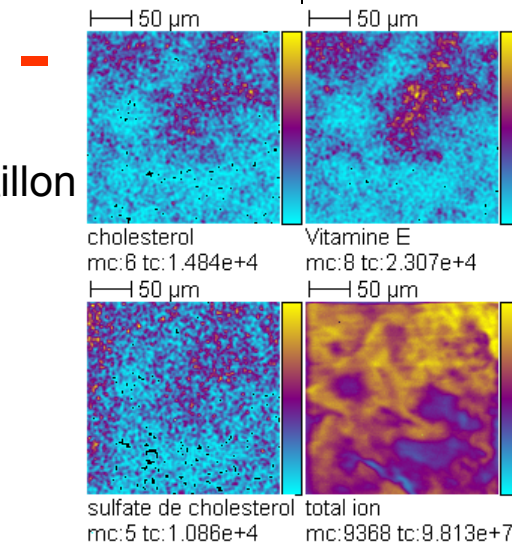
Ga_2 (digalactosylcéramide), enchaînement Gal/Gal

Atteinte multi systémique sévère dominée par une insuffisance rénale inexorable, des lésions neurologiques et cardiaques évolutives et des angiokératomes

Biopsie cutanée de patient atteint de la maladie de Fabry



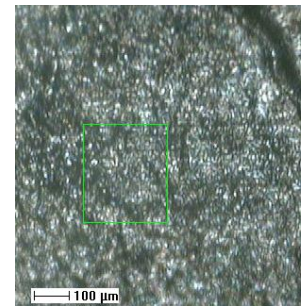
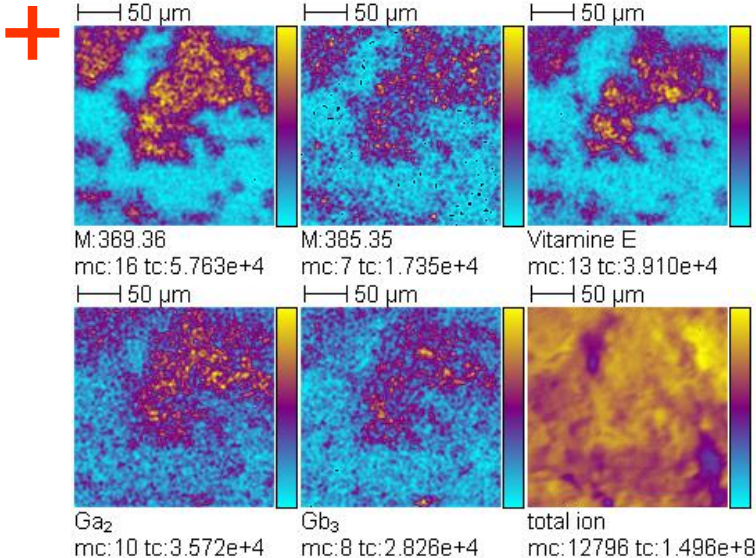
Aucun traitement de l'échantillon
 236x236 µm²
 Résolution: 1 µm
 15 min d'acquisition
 Dose: 1.25 x 10¹² ions.cm⁻²



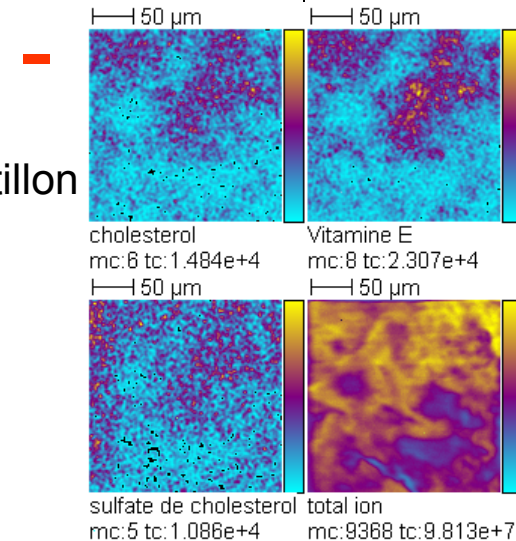
- Détection d'un faible signal de Ga₂ et Gb₃
- Localisation uniquement d'une famille moléculaire avec une résolution de 1 µm
- Colocalisation avec la vitamine E, le cholestérol et le sulfate de cholestéryl

D. Touboul, S. Roy, D.P. Germain, P. Chaminade,
 A. Brunelle, O. Laprévotte, *Int. J. Mass Spectrom.* 2007, 260, 158-165

Biopsie cutanée de patient atteint de la maladie de Fabry

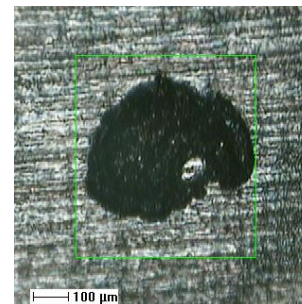
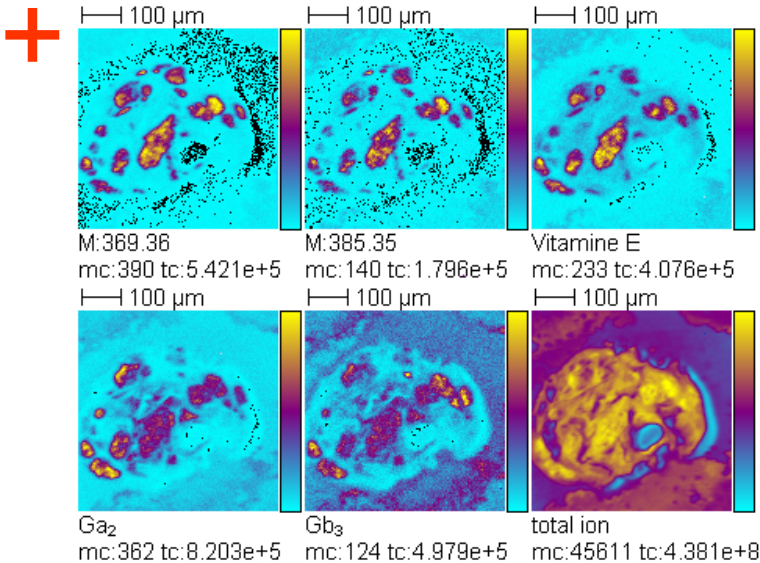


Aucun traitement de l'échantillon
236x236 µm²
Résolution: 1 µm
15 min d'acquisition
Dose: 1.25 x 10¹² ions.cm⁻²

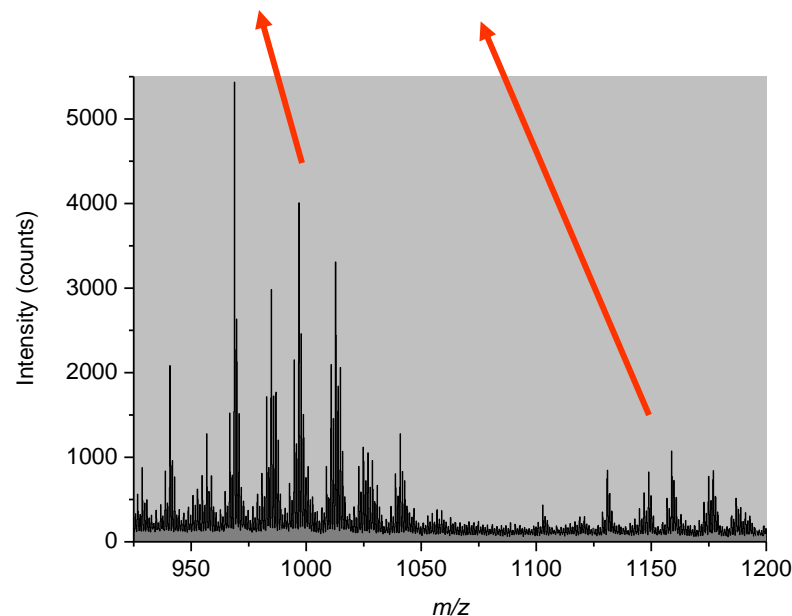
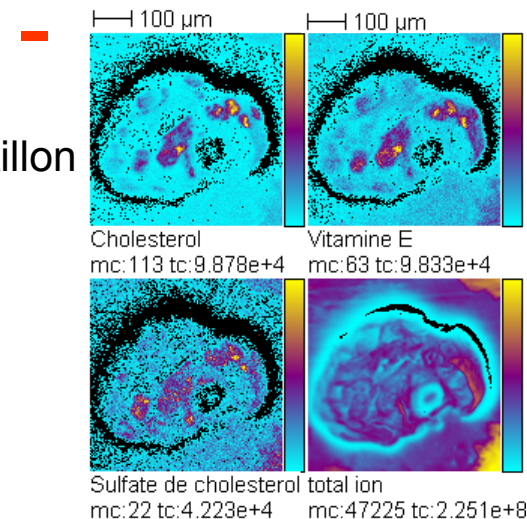


- Pour des cellules de peau en culture, il existe un lien entre l'accumulation de Ga₂ et de cholestérol. Ceci est observé directement sur des coupes de peau de patients atteints par la maladie de Fabry
- La présence de vitamine E est le signe d'une réaction inflammatoire locale et intense. Une dérégulation des NO-synthases, une réduction de la chaîne respiratoire enzymatique et une augmentation de la fréquence de la mutation génétique eNOSG894T ont déjà été démontrées.
- Le sulfate de cholestéryl intervient dans la différenciation cellulaire et dans la formation de la barrière épidermale au niveau de la peau.

Biopsie rénale de patient atteint de la maladie de Fabry



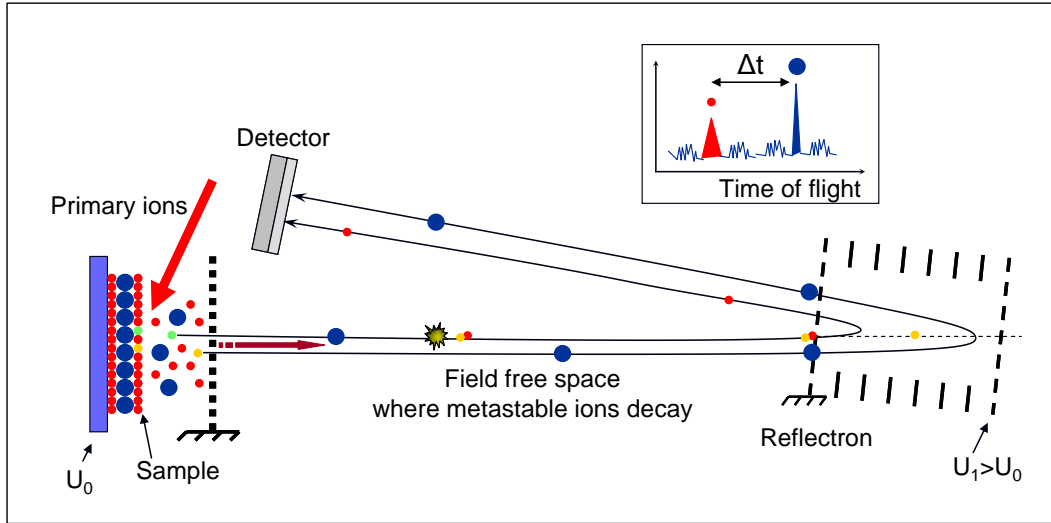
Aucun traitement de l'échantillon
 500x500 µm²
 Résolution: 1 µm
 30 min d'acquisition
 Dose: 1.06 x 10¹² ions.cm⁻²



- Détection d'un signal très intense de Ga₂ et Gb₃
- Localisation possible d'une seule espèce moléculaire avec une résolution de 1 µm
- Colocalisation avec la vitamine E, le cholestérol et le sulfate de cholestéryl

D. Touboul, S. Roy, D.P. Germain, P. Chaminade,
 A. Brunelle, O. Laprévotte, *Int. J. Mass Spectrom.* 2007, 260, 158-165

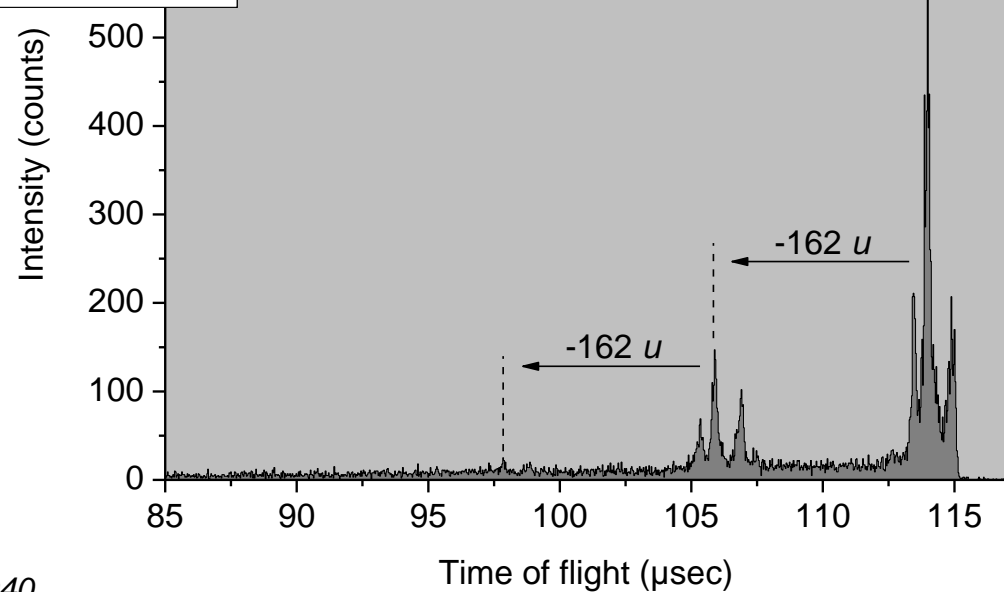
MS/MS with a TOF-SIMS: "Post-Source Decay like" method



$$m_p - m_f = K \times \sqrt{m_p} \times \Delta T$$

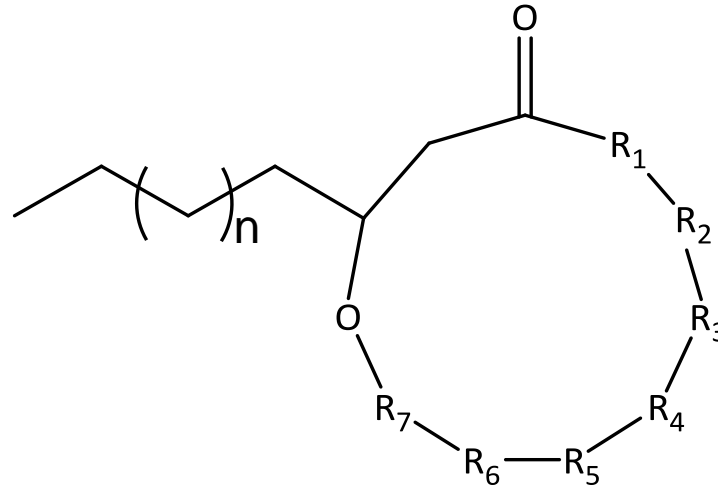
Not a true MS-MS method

→ only confirmation of known structures



D. Touboul, A. Brunelle, O. Laprévotte,
Rapid Commun. Mass Spectrom. 2006, 20, 703-709
 S. Della-Negra, Y. Le Beyec, *Anal. Chem.* 1985, 57, 2035-2040

Bacterial peptides: surfactins from *Bacillus subtilis*



Peptide sequence: *E L L V D L L* or (beta-hydroxy fatty acid)-*Glu-Leu-Leu-Val-Asp-Leu-Leu*

Surfactins: family of heptacyclopeptides in which the C-terminal carbonyl is linked with the β -hydroxy group of a fatty acid (12 to 16 carbon atoms long) acylating the N-terminal function of a glutamic acid residue.

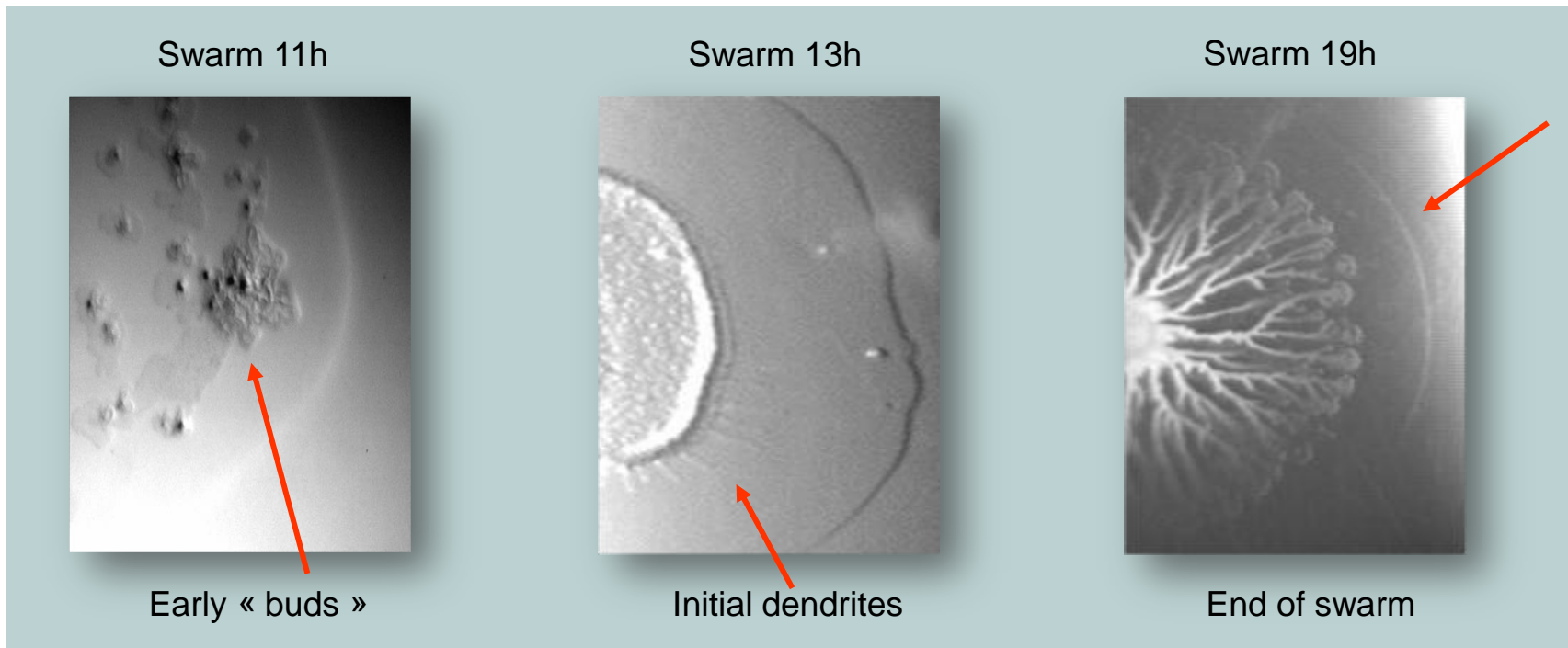
These compounds secreted by the Gram positive bacterium *Bacillus subtilis* play an important role in the formation of dendritic patterns.

Swarming → « Essaimage »

Growing and swarming of a bacterial colony on an agar gel



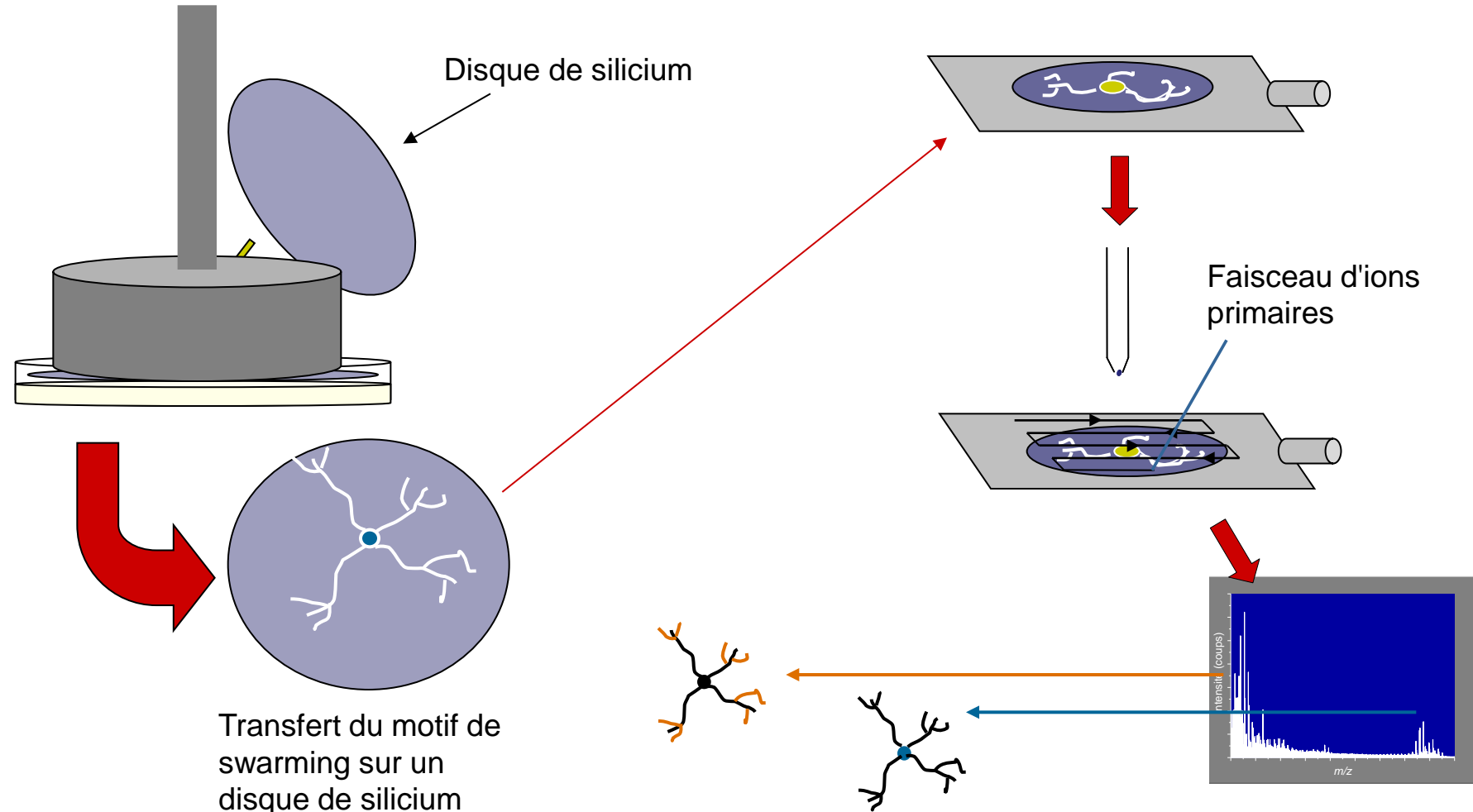
- *Bacillus subtilis* is a model bacteria; swarming is a model of monolayer growing of biofilms
- Linked to medicinal problems: cystic fibrosis, contamination of medical material, dental plaque...



The migration front is always preceded by a “wet” zone due to the excretion of peptidolipids by the bacterial cells

Analyse de profils dendritiques sur une surface chez *Bacillus subtilis*

Préparation d'échantillon de swarming pour l'imagerie TOF-SIMS



Large biological samples: bacterial swarming

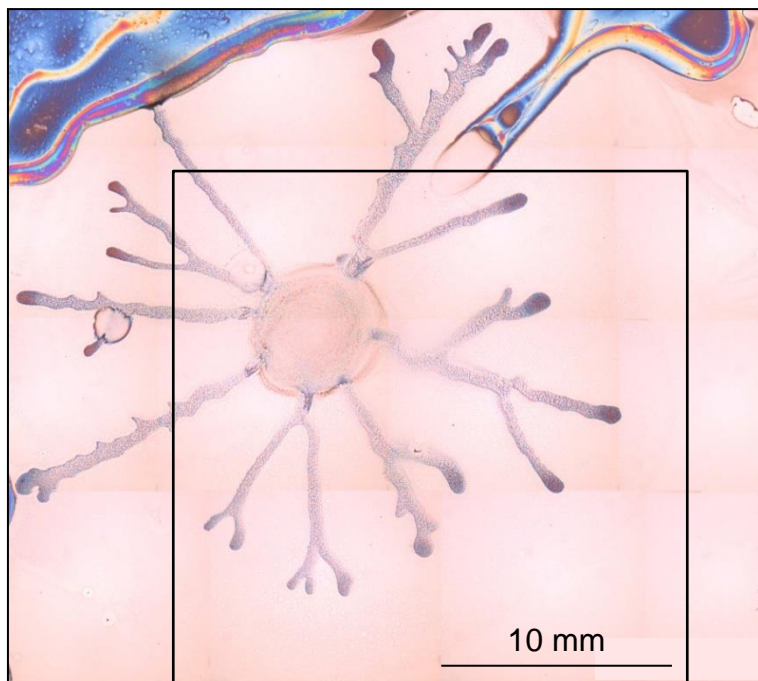
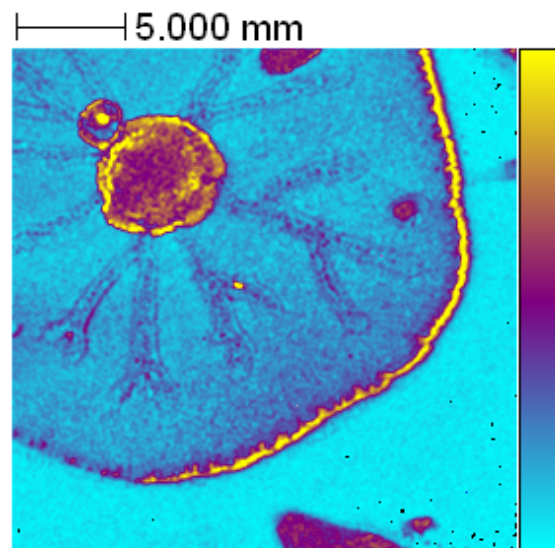
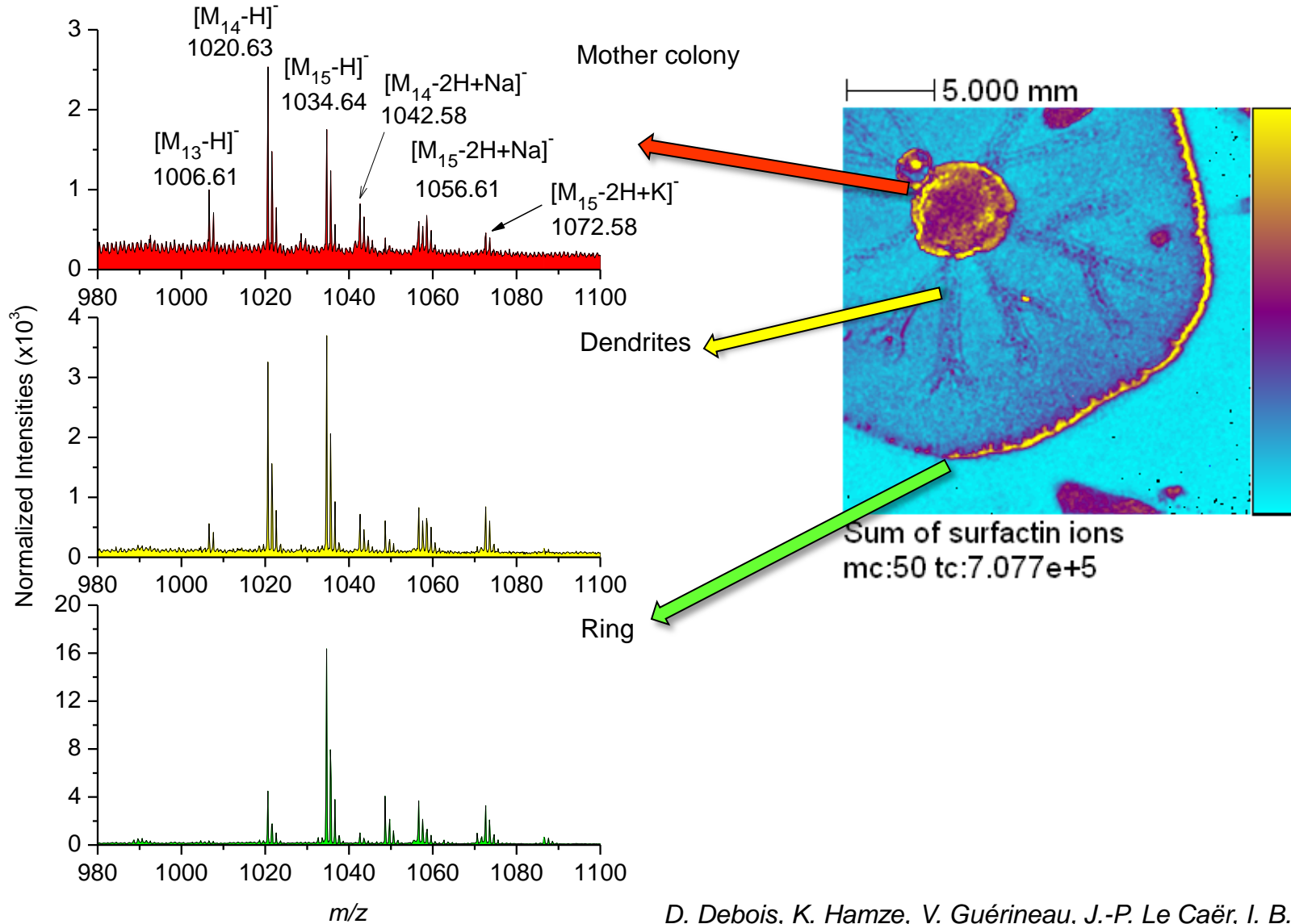


Image size: 23 x 23 mm²
Primary ions: Bi₃⁺, 25 keV
Negative mode
Fluence: 10⁹ ions.cm⁻²
Pixel size: 90 x 90 μm²
Acquisition time: 4 hours



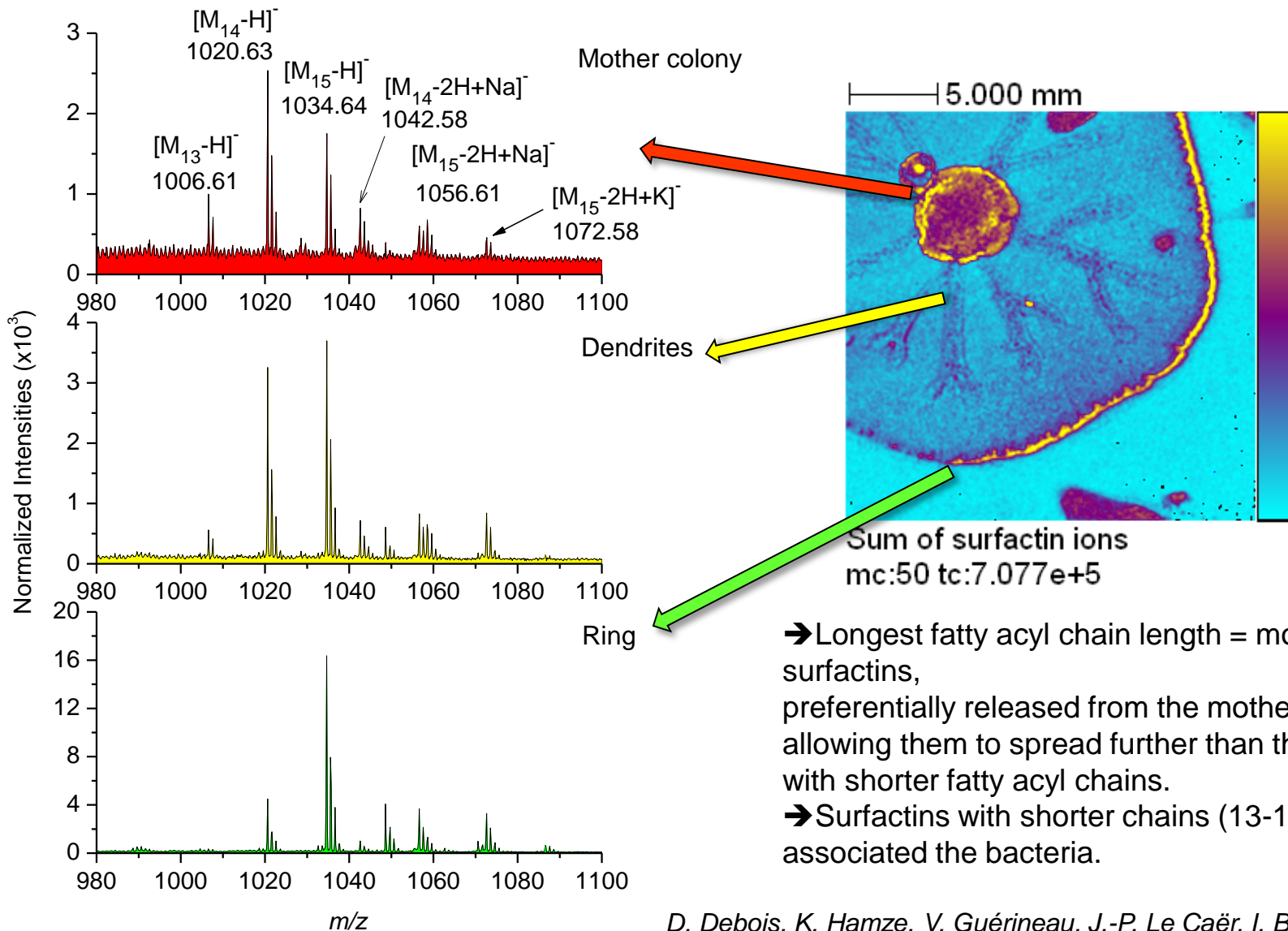
Sum of surfactin ions
mc:50 tc:7.077e+5

Surfactin imaging on *Bacillus subtilis* imprints



D. Debois, K. Hamze, V. Guérineau, J.-P. Le Caër, I. B. Holland, P. Lopes, J. Ouazzani, S. J. Séror, A. Brunelle, O. Laprévôte, *Proteomics*, 2008, 8, 3682-3691

Surfactin imaging on *Bacillus subtilis* imprints

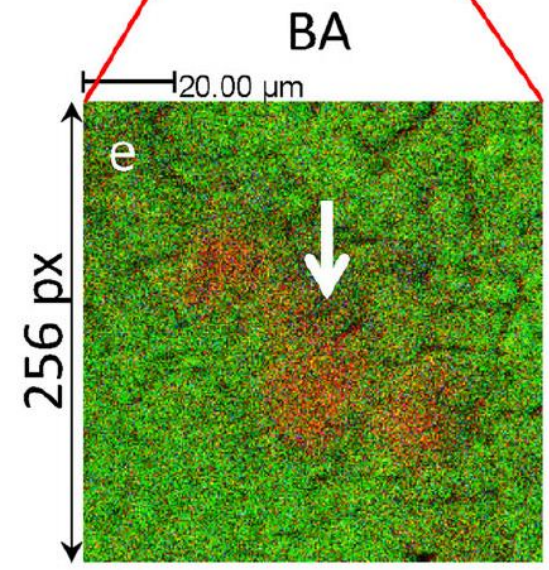
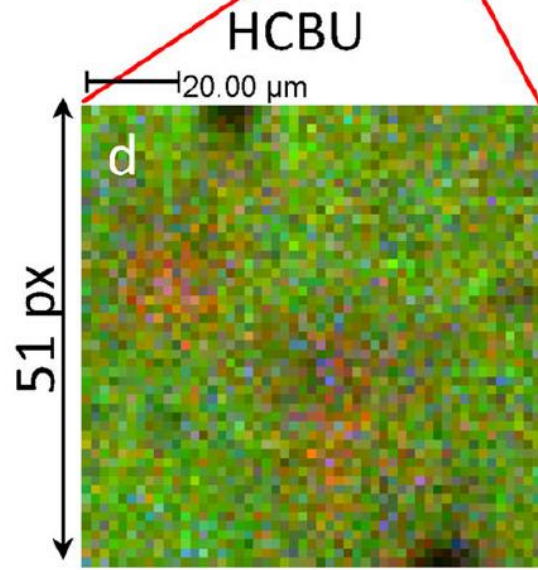
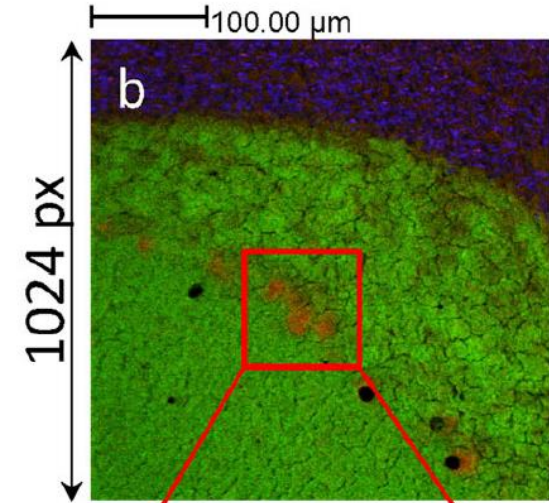
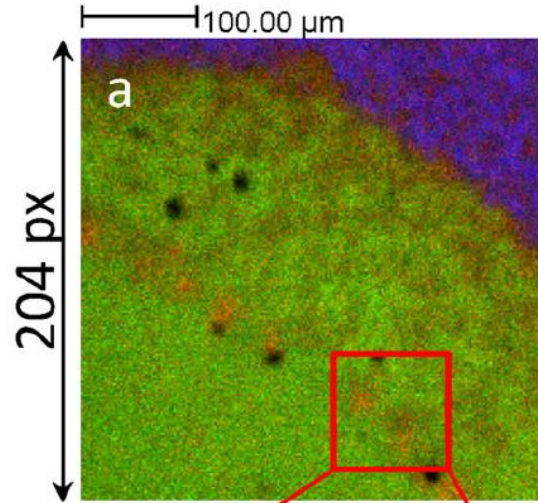
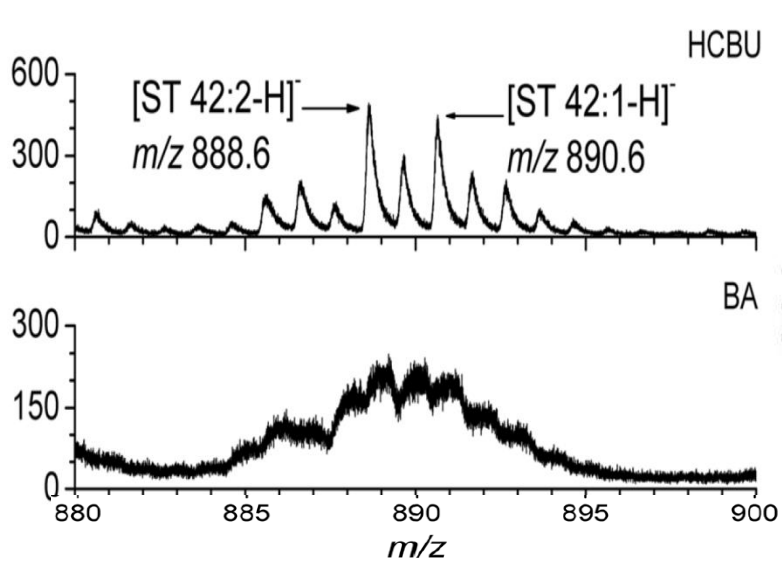


→ Longest fatty acyl chain length = most hydrophobic surfactins, preferentially released from the mother colony allowing them to spread further than the surfactins with shorter fatty acyl chains.

→ Surfactins with shorter chains (13-15) may remain associated the bacteria.

D. Debois, K. Hamze, V. Guérineau, J.-P. Le Caër, I. B. Holland, P. Lopes, J. Ouazzani, S. J. Séror, A. Brunelle, O. Laprévotte, *Proteomics*, 2008, 8, 3682-3691

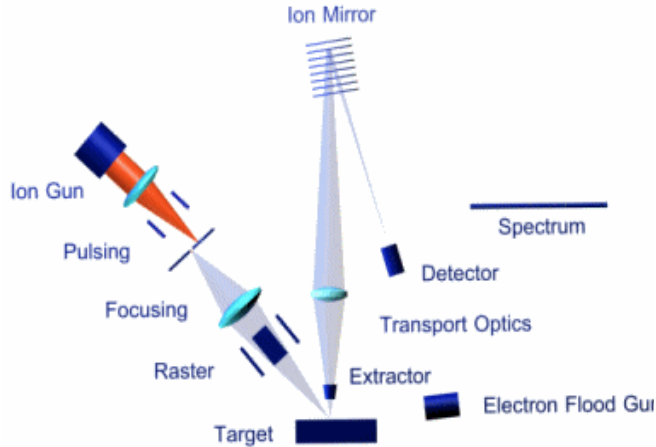
How to improve spatial resolution ?



	HCBU	BA
Pulsed primary ion current (pA @10 kHz)	0.28	0.09
Mass resolution at m/z 385.4 (M/ΔM, FWHM)	~5000	~300
Beam size (μm)	2.9 ± 0.2	0.45 ± 0.06

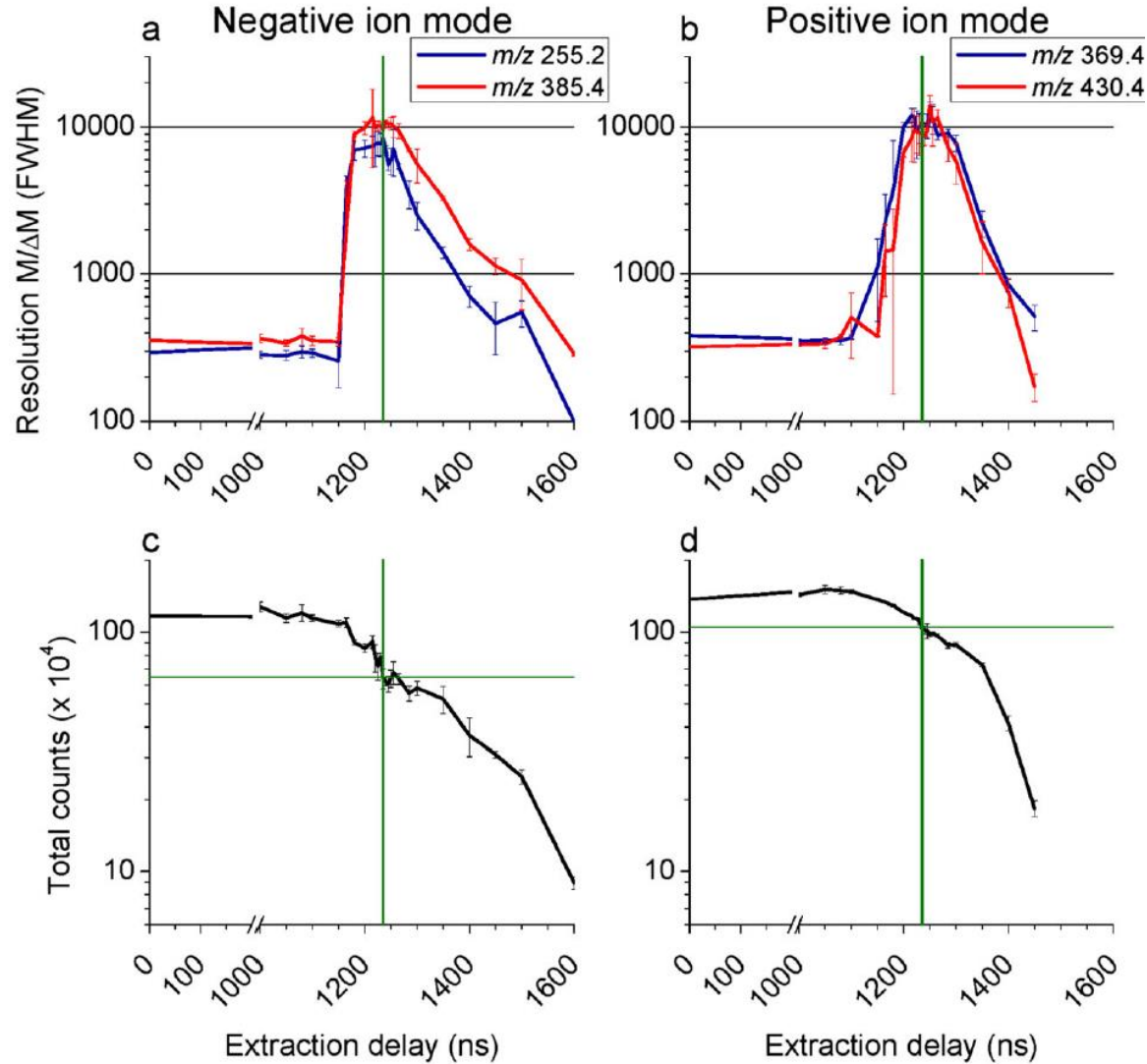
[C18:0-H]⁻ m/z 283.3 (red), [C16:0-H]⁻ m/z 255.2 (green), and cholesterol [M-H]⁻ m/z 385.4 (blue).

How to improve spatial resolution ?



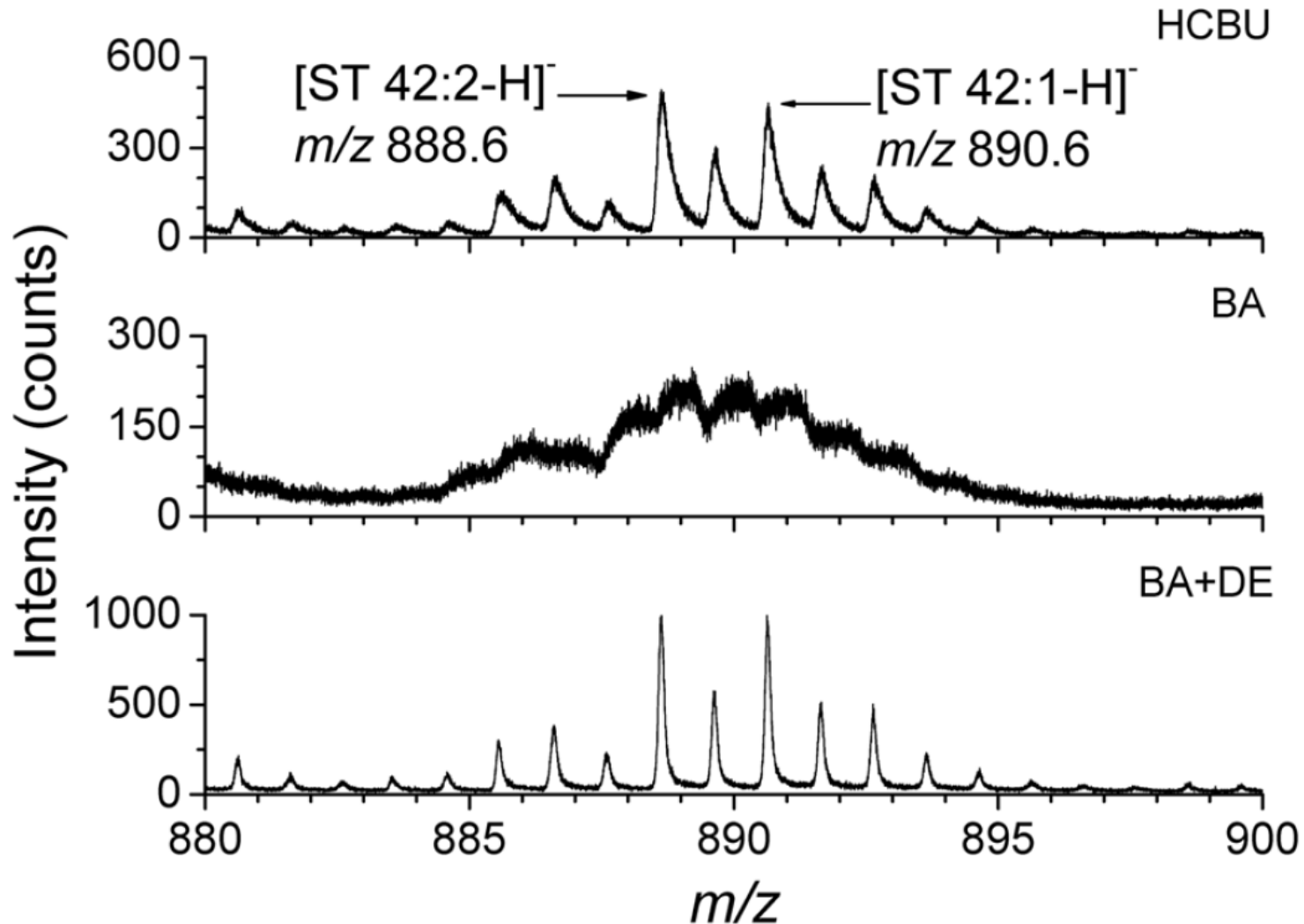
© ION-TOF GmbH

Vanbellingen QP, Elie N, Eller MJ,
Della-Negra S, Touboul D, Brunelle A.
Rapid Commun Mass Spectrom.
2015; 29(13): 1187-1195.



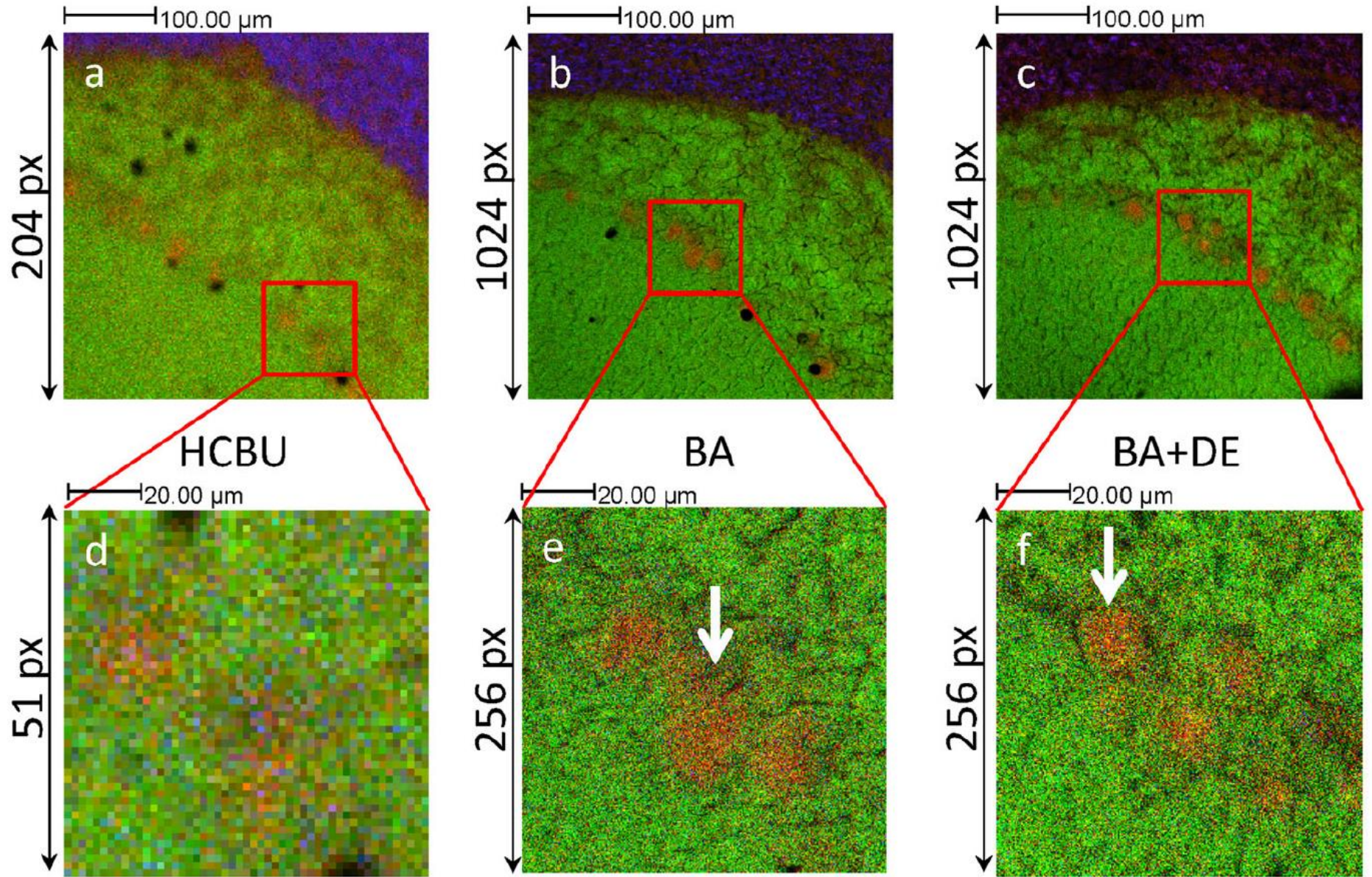
Optimized extraction delay: 1235 ns

How to improve spatial resolution ?



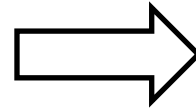
Vanbellinghen QP, Elie N, Eller MJ, Della-Negra S, Touboul D, Brunelle A. Rapid Commun Mass Spectrom. 2015; 29(13): 1187-1195.

How to improve spatial resolution ?



Improvement of sample preparation

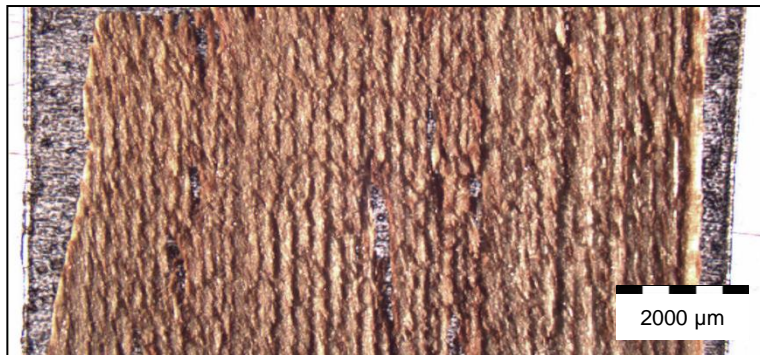
Microtome



Ultramicrotome

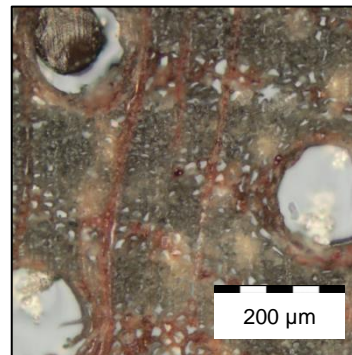


Dry sample



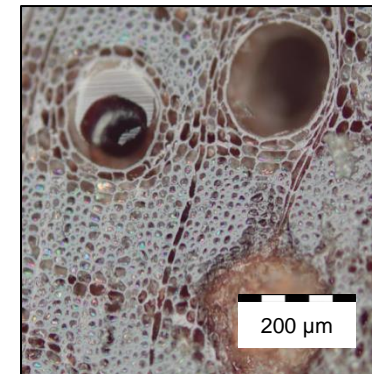
Radial section
Lack of information

Wet sample



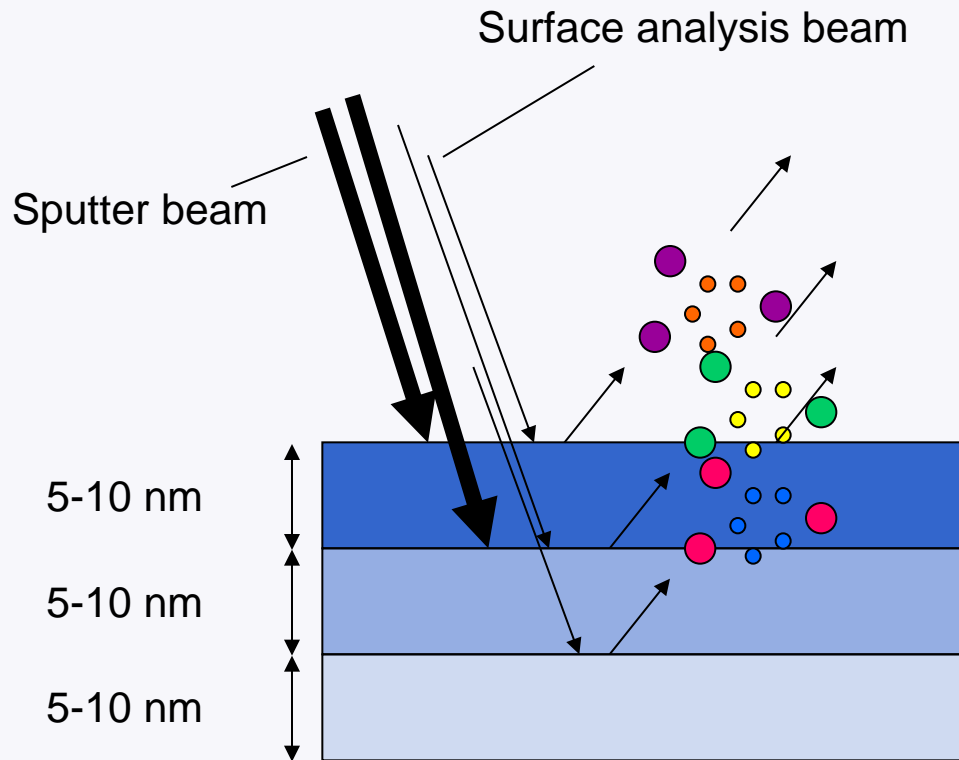
Transverse section
Loss of information

Dry sample



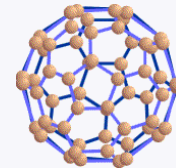
Transverse section

Evaluation and characterization of the capabilities of a C_{60} ion source for depth profiling



Surface analysis beam:
 Bi_3^+ 25 keV (1.5×10^{10} ions/step)

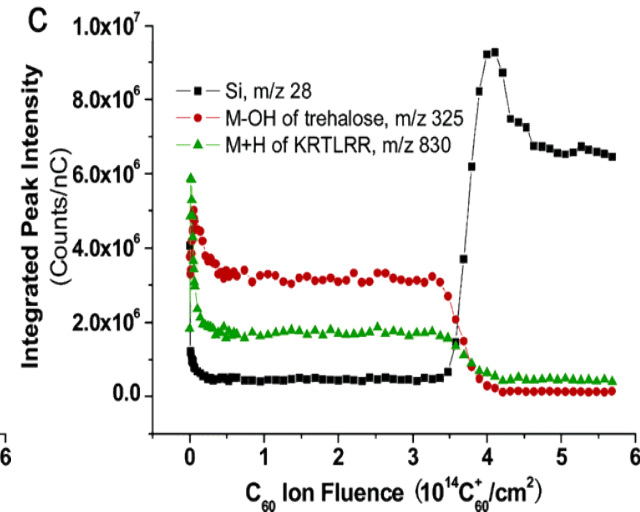
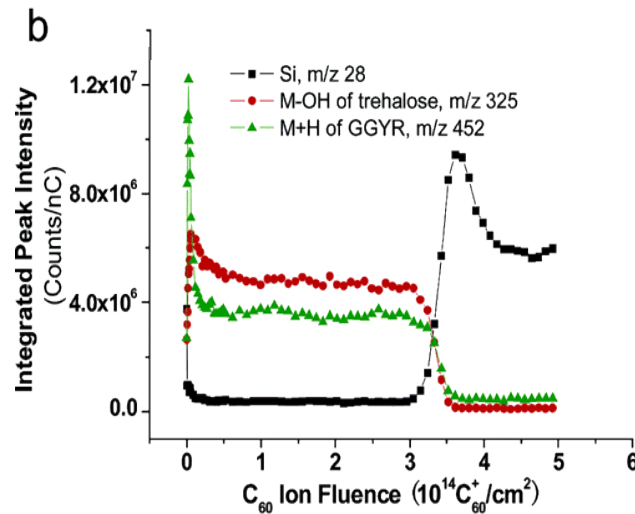
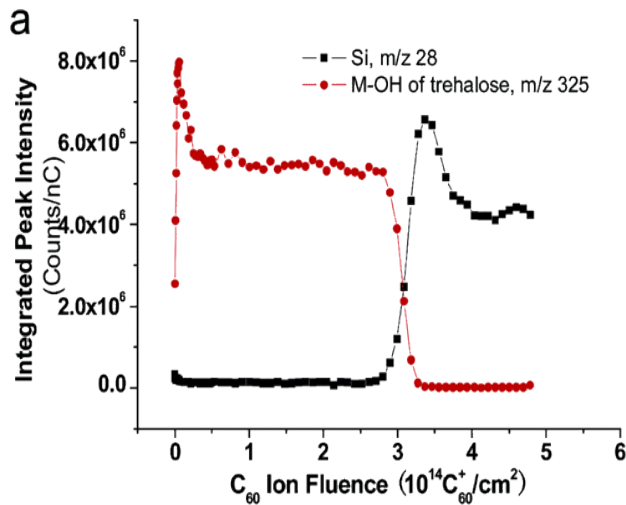
Sputter beam:
 C_{60}^+ 10 keV (2.8×10^{13} ions/step)



Evaluation and characterization of the capabilities of a C_{60} ion source for depth profiling

1. on model layers

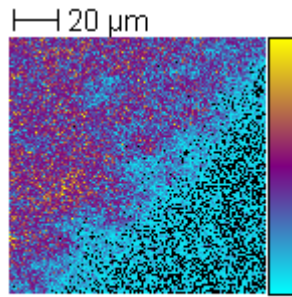
→ ~260-270 nm thickness trehalose film doped with synthetic peptides



Secondary ion signal intensities versus accumulated C_{60}^+ ion fluence during depth profiling of (a) a pure trehalose film (270 nm), (b) a trehalose film doped with 1% GGYR (263 nm), and (c) a trehalose film doped with 1% KRTLRR (273 nm).

Evaluation and characterization of the capabilities of a C_{60} ion source for depth profiling

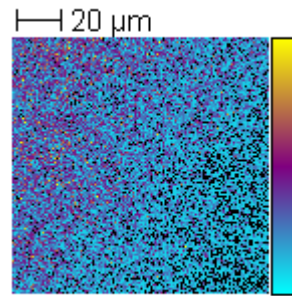
2. directly on a tissue section



Cholesterol
mc:17 tc:7.588e+4

Profondeur d'analyse:
200 - 300 nm

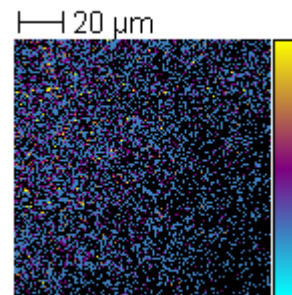
→ Perte de signal quand on creuse dans la coupe



Cholesterol
mc:11 tc:4.041e+4

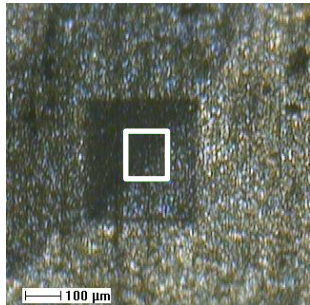
Profondeur d'analyse:
1 - 1,6 µm

→ Imagerie 3 D d'une coupe de cerveau de rat impossible



Cholesterol
mc:4 tc:7.639e+3

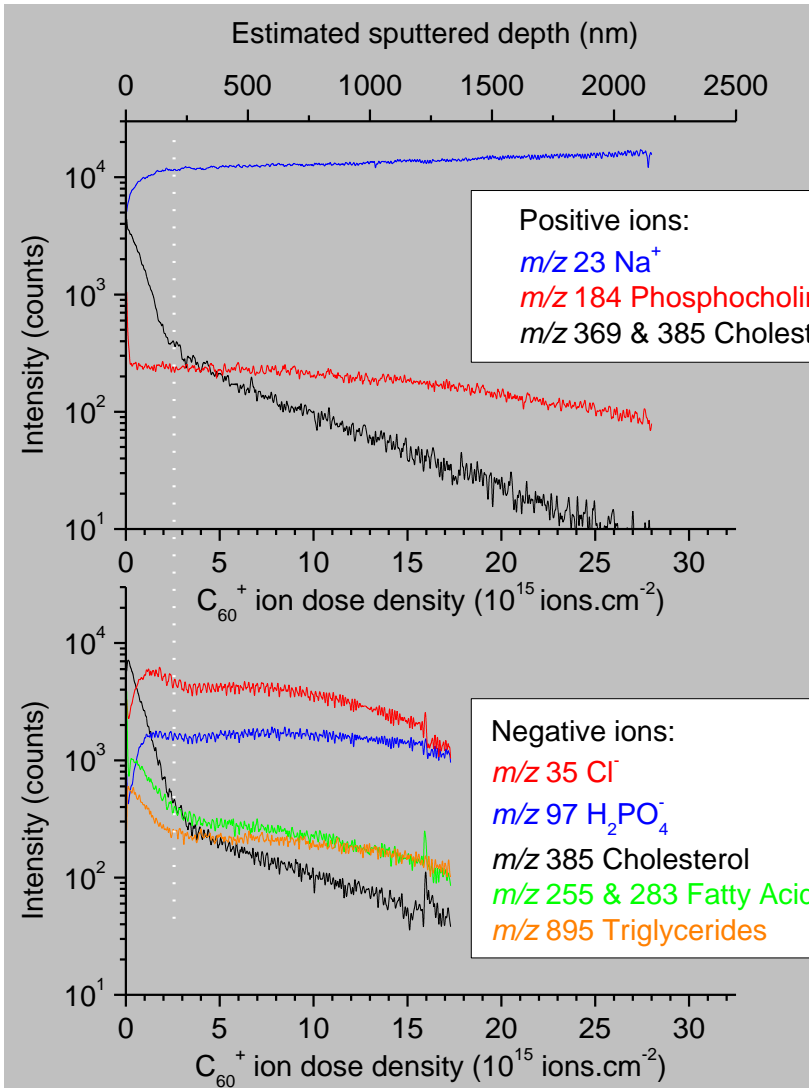
Profondeur d'analyse:
2-3 µm



100 µm

Evaluation and characterization of the capabilities of a C_{60} ion source for depth profiling

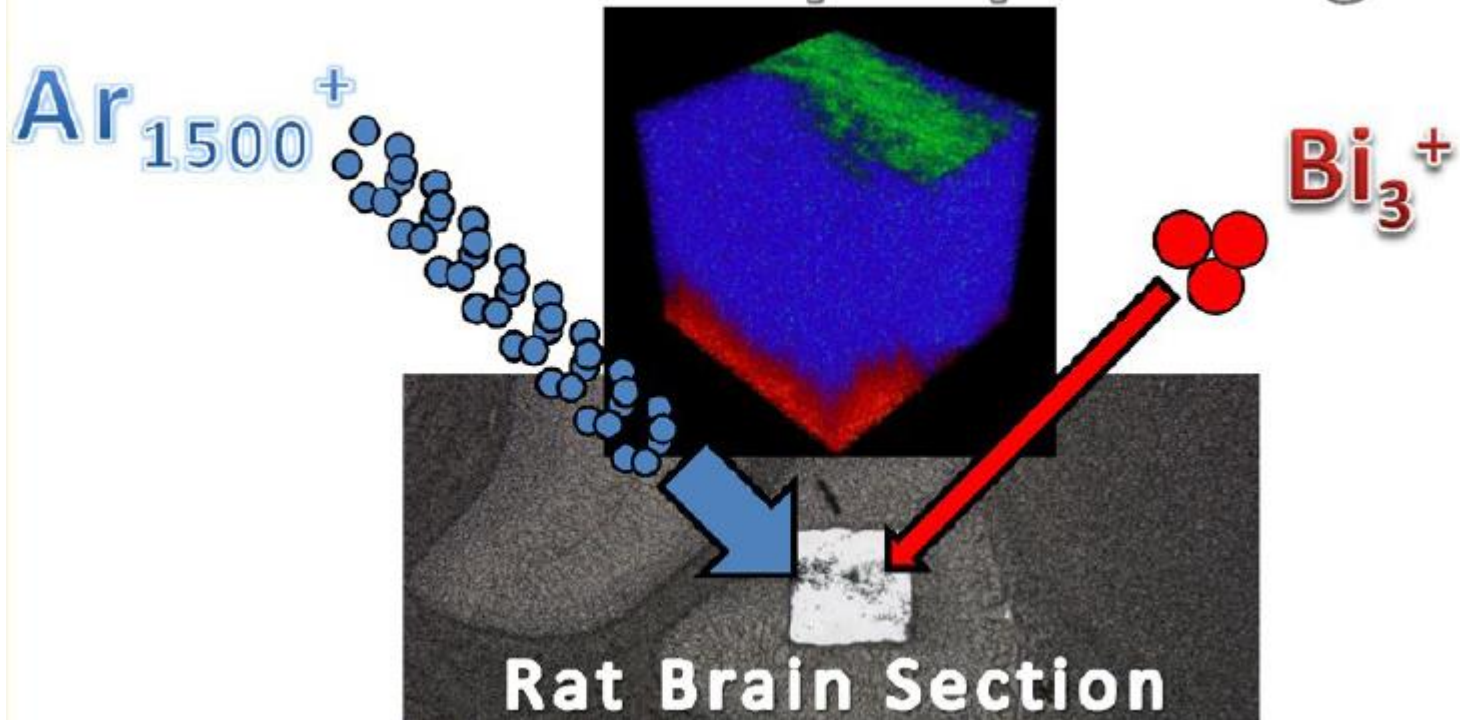
2. directly on a tissue section

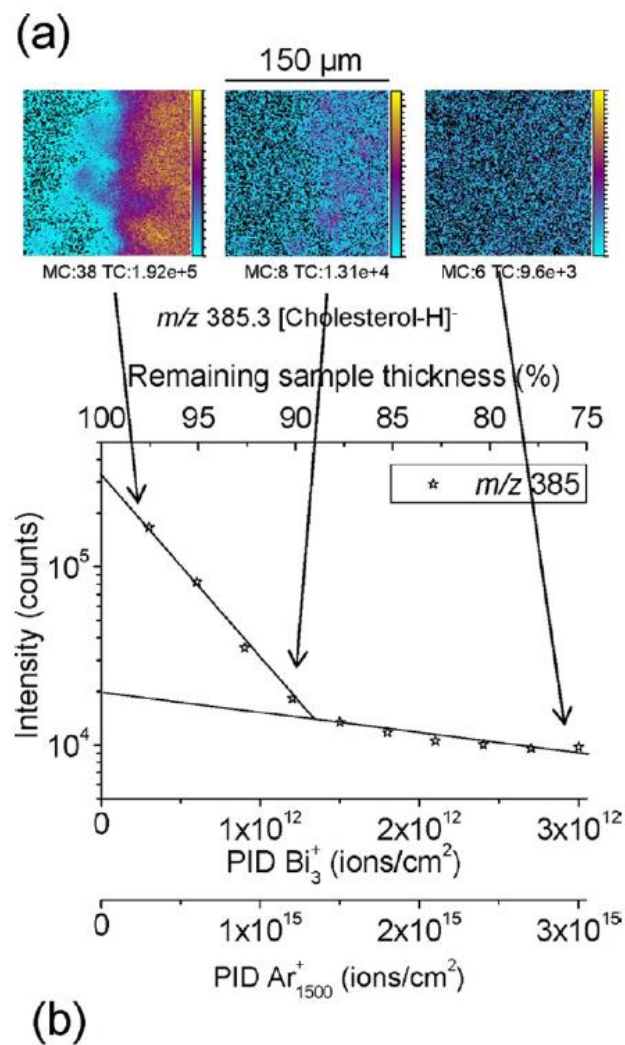
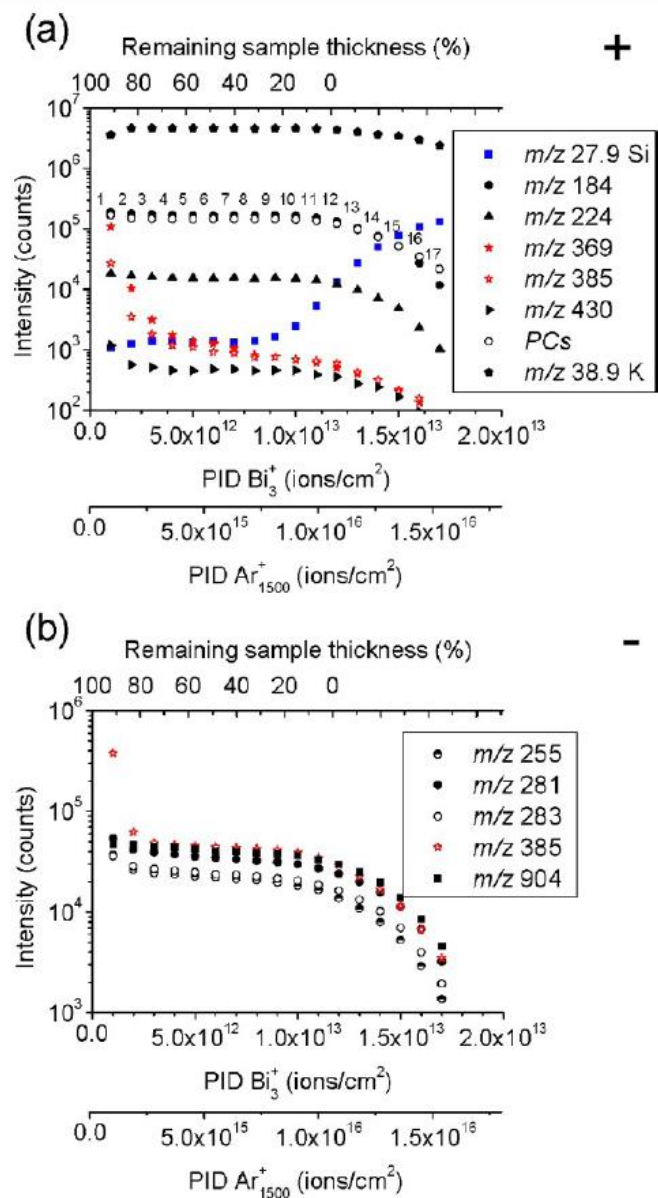


- $\sim 3 \mu m$ have been sputtered at the surface of a rat brain tissue section
- Lipids appear to be concentrated at the surface, in the first 200-300 nm. (P. Sjövall *et al.*, *Appl. Surf. Sci.* 2006, 252, 6513-6516)
- Damage is still too much important, for heavy molecules, to enable depth profiling with a good sensitivity over several microns.
- The results are not in contradiction with the literature, where model layers of several hundreds of nm only have been successfully profiled.

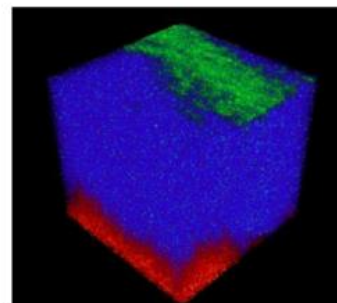
D. Debois, A. Brunelle, O. Lapr votte,
Int. J. Mass Spectrom., 2007, 260, 115-120

Dual beam depth profiling





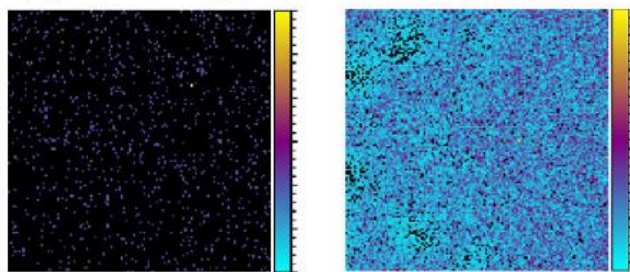
(b)



Green
Cholesterol
Blue
PC 34:1
Red
Silicon

Figure 2. Intensities of several ions as a function of the analysis (Bi_3^+) and sputtering (Ar_{1500}^+) ion doses densities. (a) Positive ion mode; (b) negative ion mode. The error bars, corresponding to $(N)^{1/2}$ (with N the intensity in number of counts) are two small to be reported on the graphic.

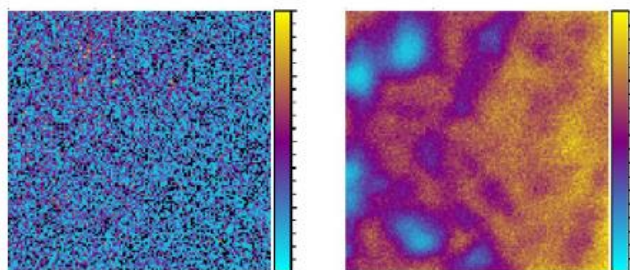
(a) m/z 760.6, [PC34:1+H]⁺



MC:3, TC:9.9e+2

MC:15, TC:5.1e+4

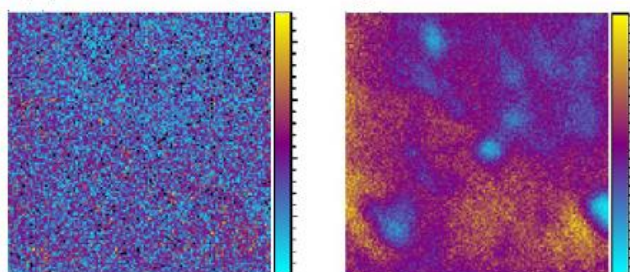
(b) m/z 224.1, PC fragment



MC:8, TC:3.1e+4

MC:382, TC:3.7e+6

(c) m/z 281.2 [C18:1-H]⁻



MC: 9, TC: 5.0e+4

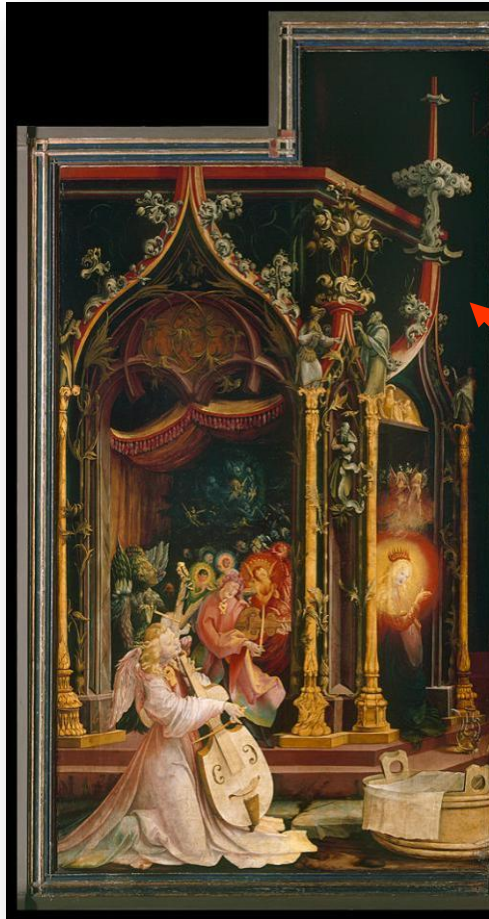
MC: 146, TC:1.2e+6

150μm

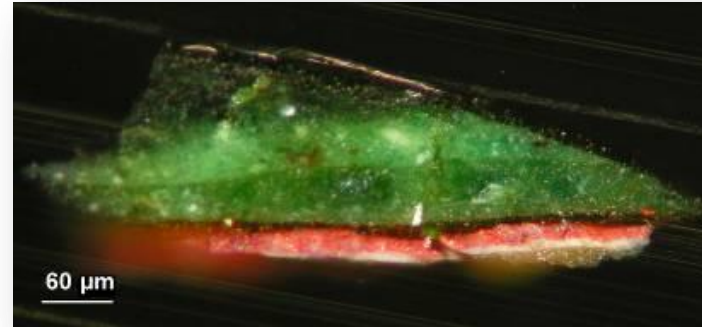
[dx.doi.org/10.1021/ac4009513](https://doi.org/10.1021/ac4009513) | Anal. Chem. 2013, 85, 7745–7752

Figure 4. (a) Images of the PC 34:1 ion at m/z 760.6 (b) and images of a PC fragment ion ($C_8H_{19}NO_4P$) at m/z 224.1 in the positive ion mode. (c) Images of the fatty acid C18:1 ion at m/z 281.2 in the negative ion mode obtained at the sample surface and obtained from the sum over the whole sample thickness (right panel).

Identification of a copper green pigment



MGN8



In painting, the green colour can be obtained with a mineral pigment:

- malachite (copper carbonate)
- verdigris (copper acetate)
- copper chloride
- green earth (silicates with K, Si, Al, Fe and Mg)

or with an organic pigment:

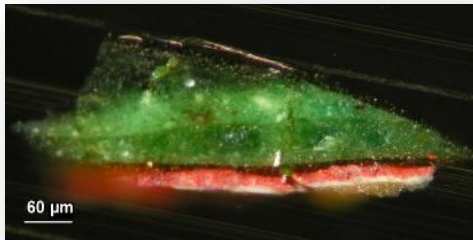
- copper resin
- breakdown products: interaction between a mineral pigment and an organic binding media (lipids or proteins)...

Concert of Angels

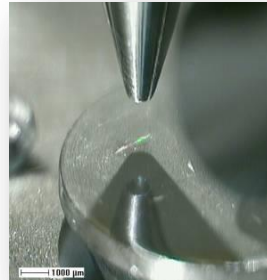
Study of cultural heritage samples



TOF-SIMS analysis of the painting cross section



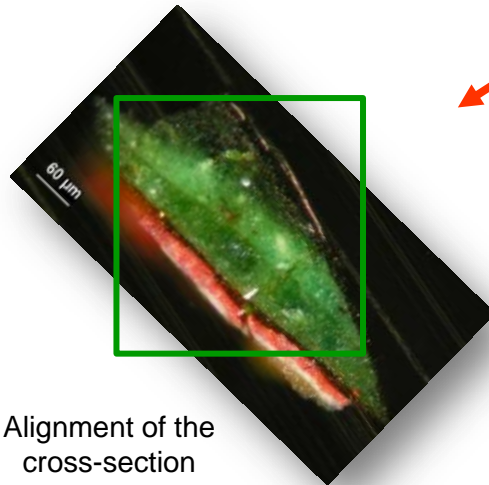
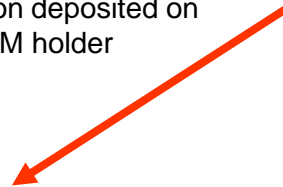
Microscopic image of the cross-section MGN8



Photography of an intact cross-section deposited on a SEM holder



Secondary ion image (Visualisation of the analysed area)



Alignment of the cross-section

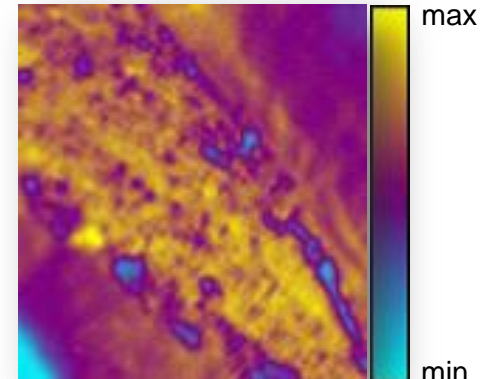


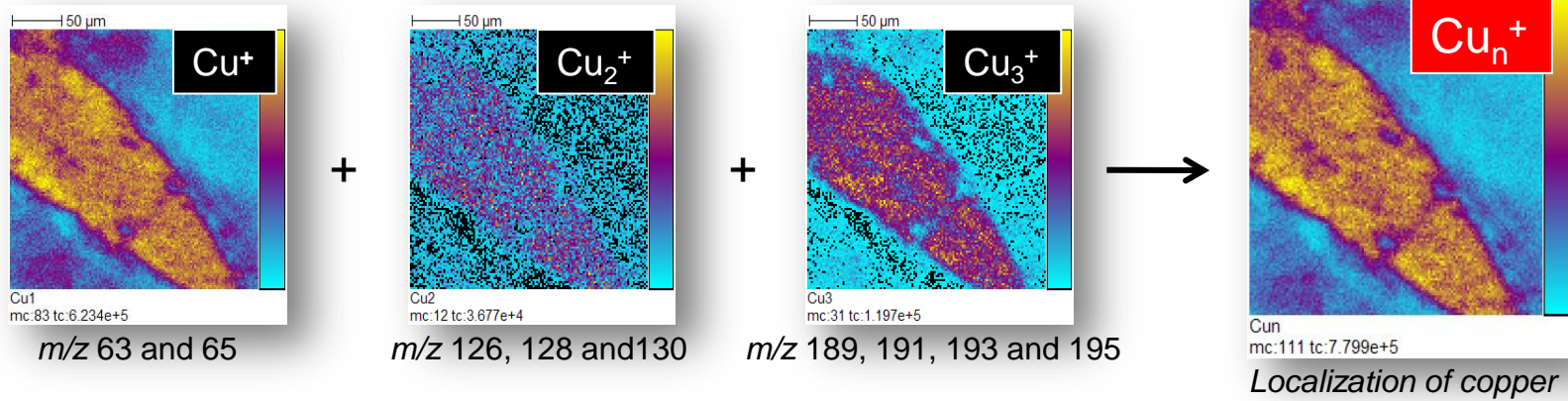
Image of the total ion current

*P. Richardin, V. Mazel, P. Walter, O. Lapr evote, A. Brunelle
J. Am. Soc. Mass Spectrom. 2011, 22, 1729-1736*

Study of cultural heritage samples



Copper: positive ion mode

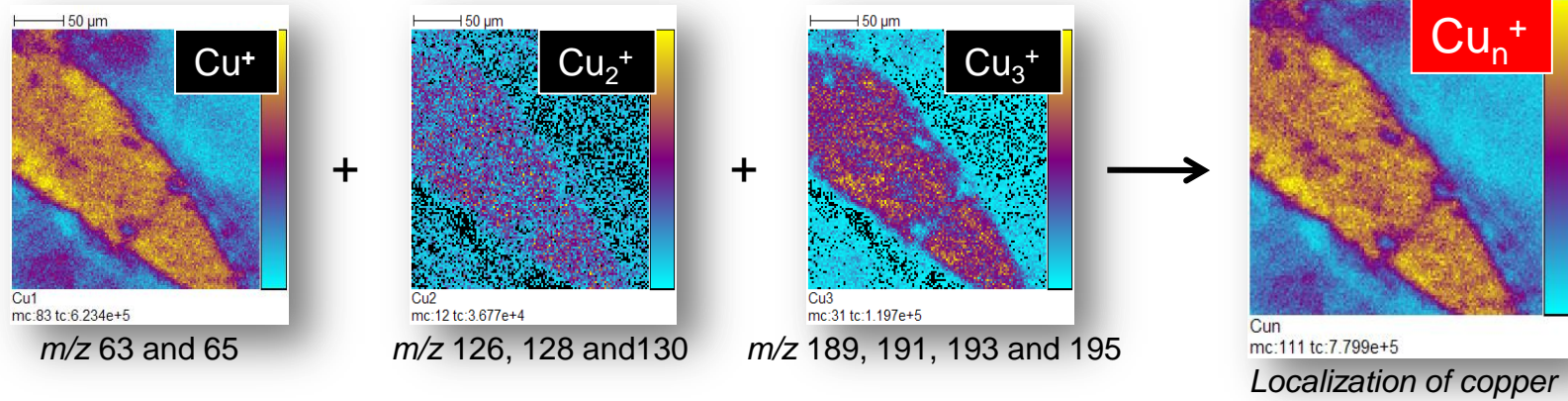


Sum of all the images corresponding to the Cu_n⁺ clusters

Study of cultural heritage samples

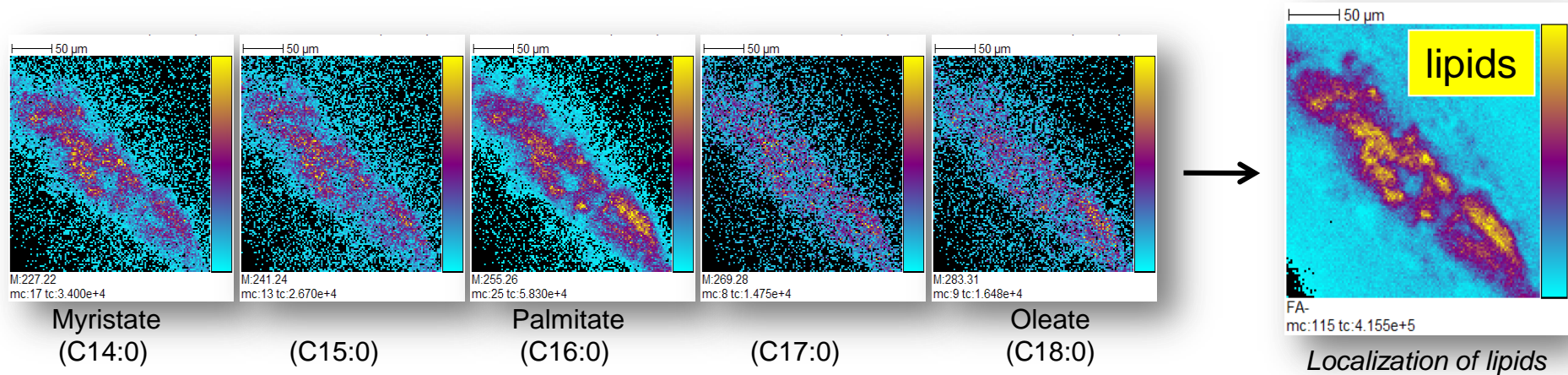


Copper: positive ion mode



Sum of all the images corresponding to the Cu_n^+ clusters

Lipids: negative ion mode



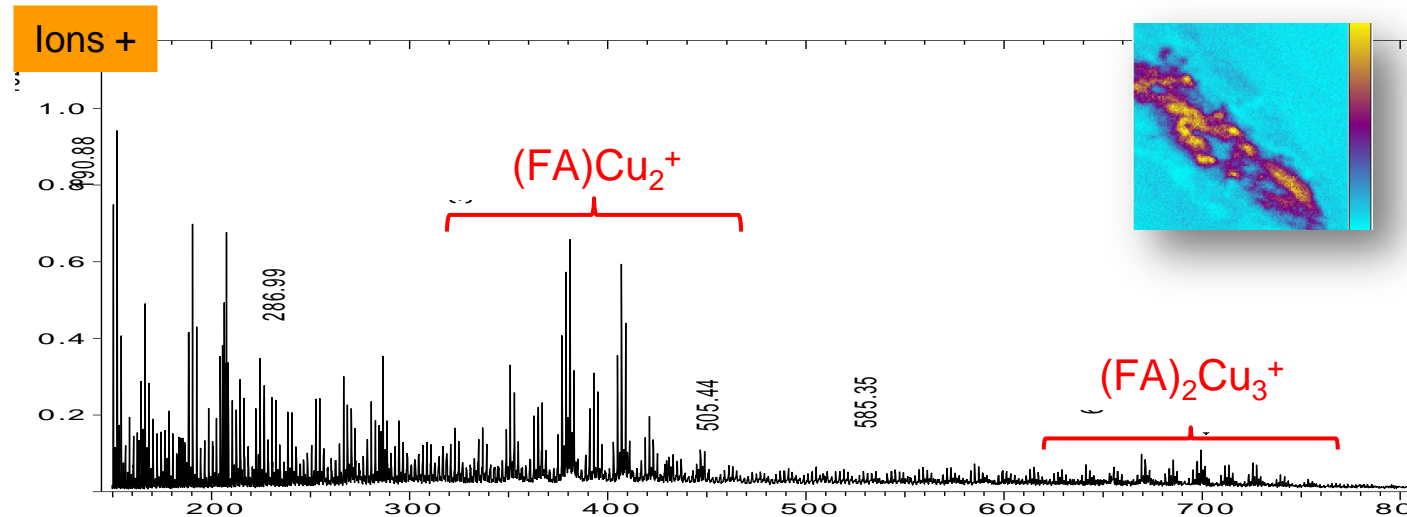
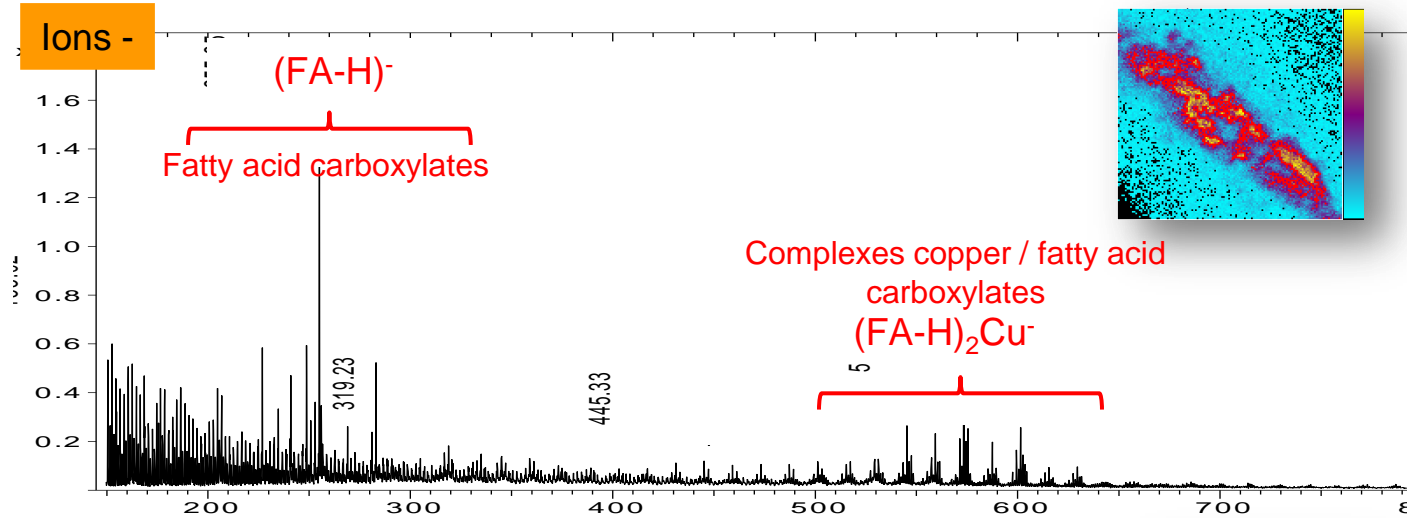
Carboxylates $RCOO^-$

*P. Richardin, V. Mazel, P. Walter, O. Lapr v te, A. Brunelle
J. Am. Soc. Mass Spectrom. 2011, 22, 1729-1736*

Study of cultural heritage samples



Mass spectra of the copper / lipid rich area

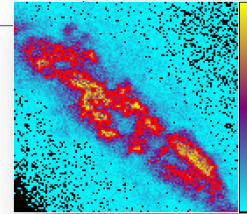
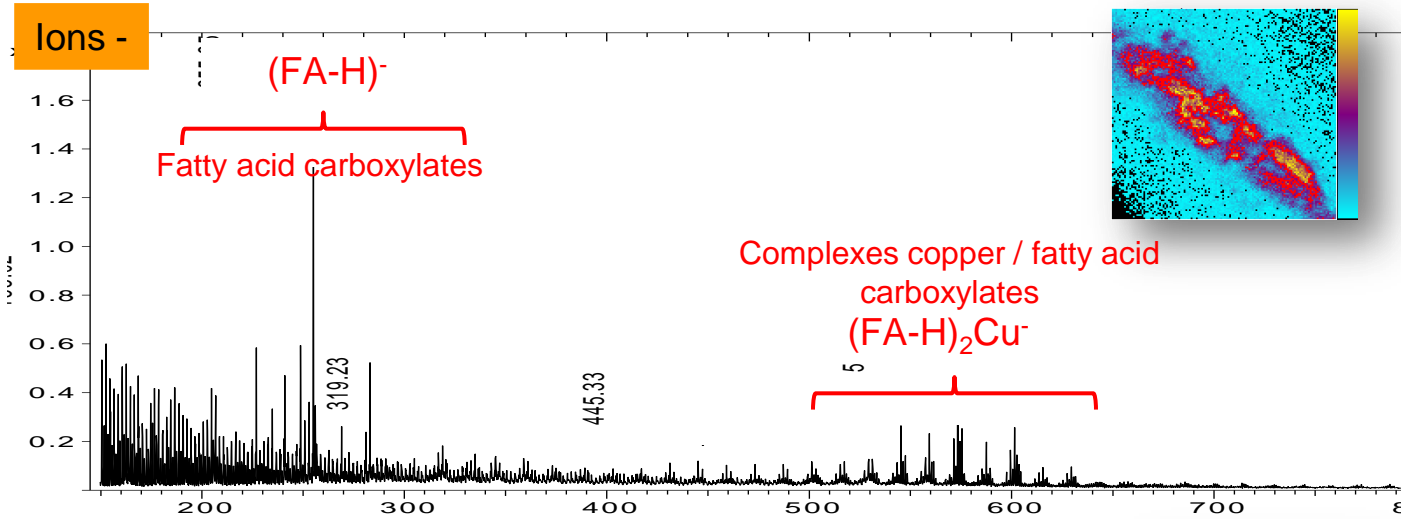


P. Richardin, V. Mazel, P. Walter, O. Laprévotte, A. Brunelle
J. Am. Soc. Mass Spectrom. 2011, 22, 1729-1736

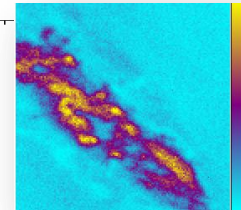
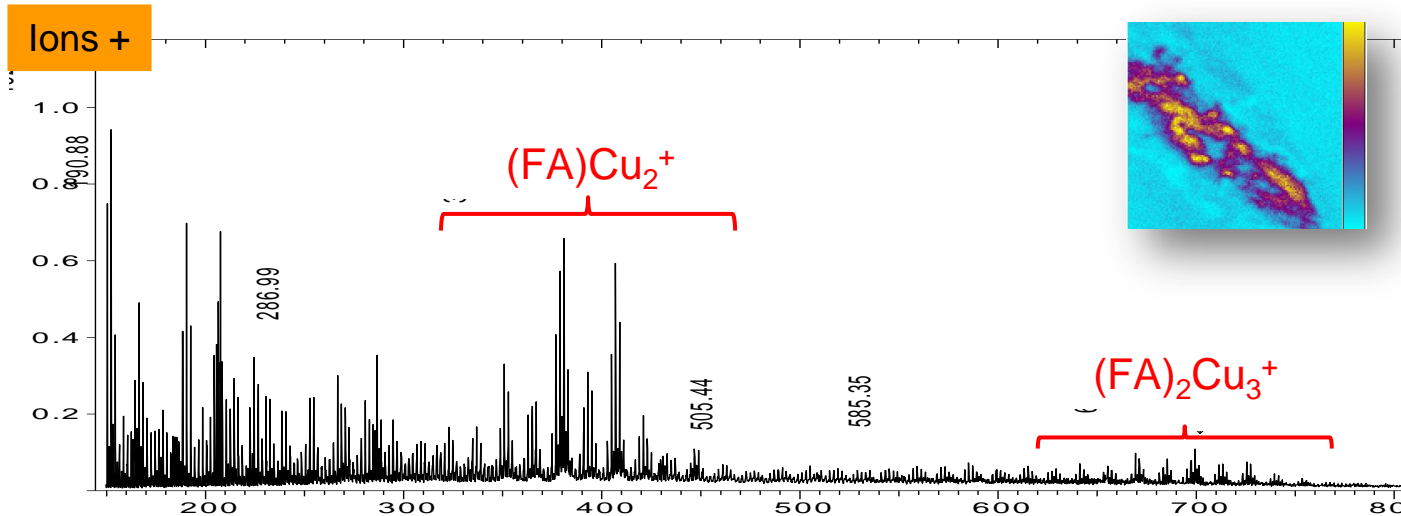
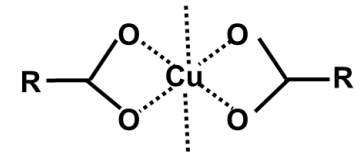
Study of cultural heritage samples



Mass spectra of the copper / lipid rich area



These two mass spectra are compatible with a copper carboxylate pigment (structure not clearly established)

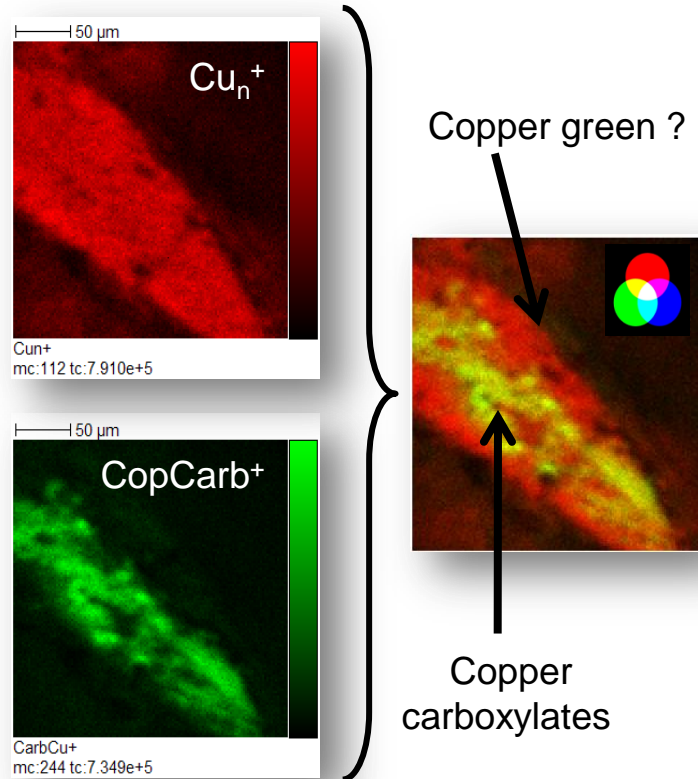


Copper carboxylates ($R = C_nH_{2n+1}$)

This result was confirmed by infrared microscopy (SR- μ FTIR)

P. Richardin, V. Mazel, P. Walter, O. Lapr evote, A. Brunelle
J. Am. Soc. Mass Spectrom. 2011, 22, 1729-1736

Identification of the copper green pigment

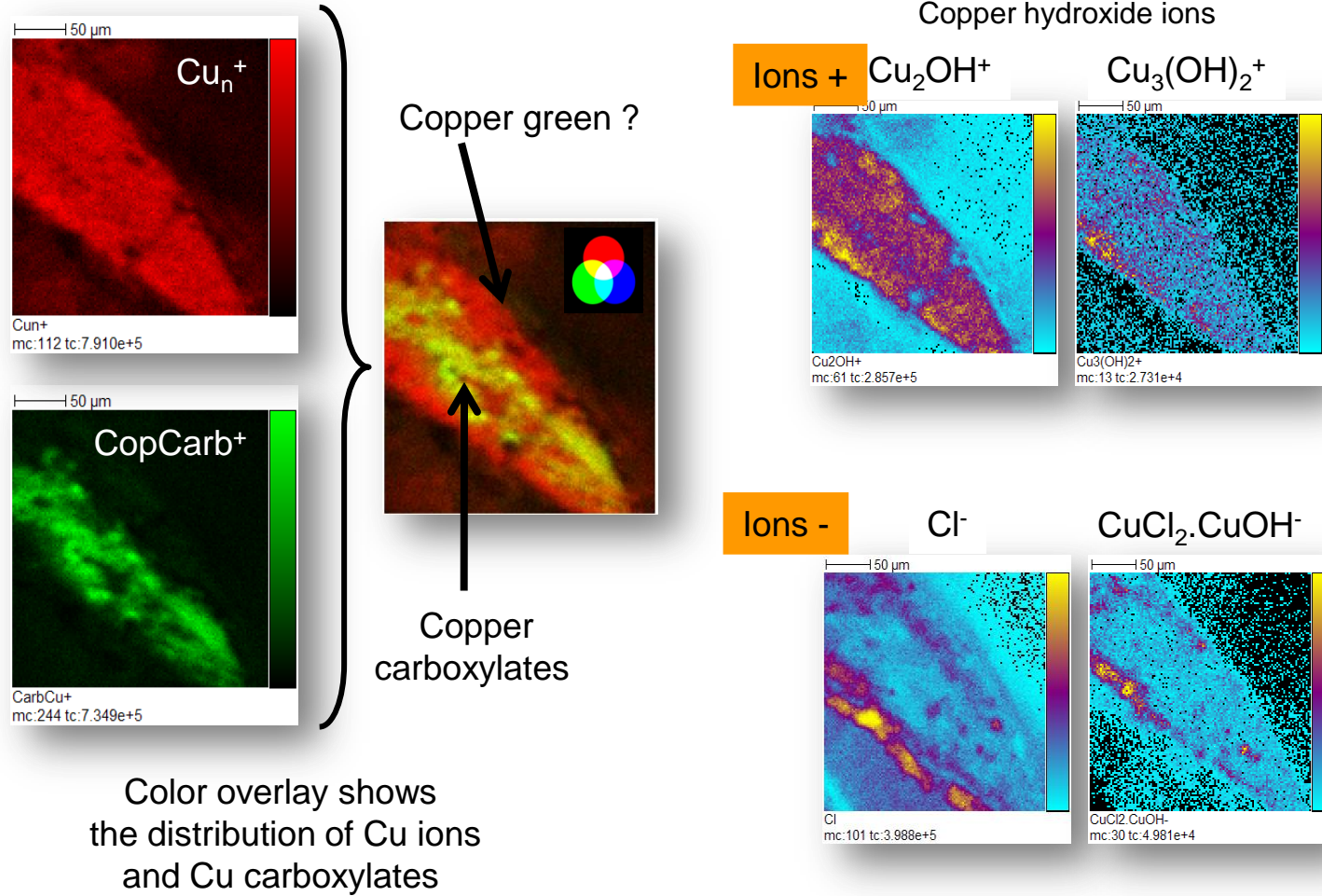


Color overlay shows
the distribution of Cu ions
and Cu carboxylates

*This result was also confirmed by infrared
microscopy (SR- μ FTIR)*

*P. Richardin, V. Mazel, P. Walter, O. Lapr evote, A. Brunelle
J. Am. Soc. Mass Spectrom. 2011, 22, 1729-1736*

Identification of the copper green pigment



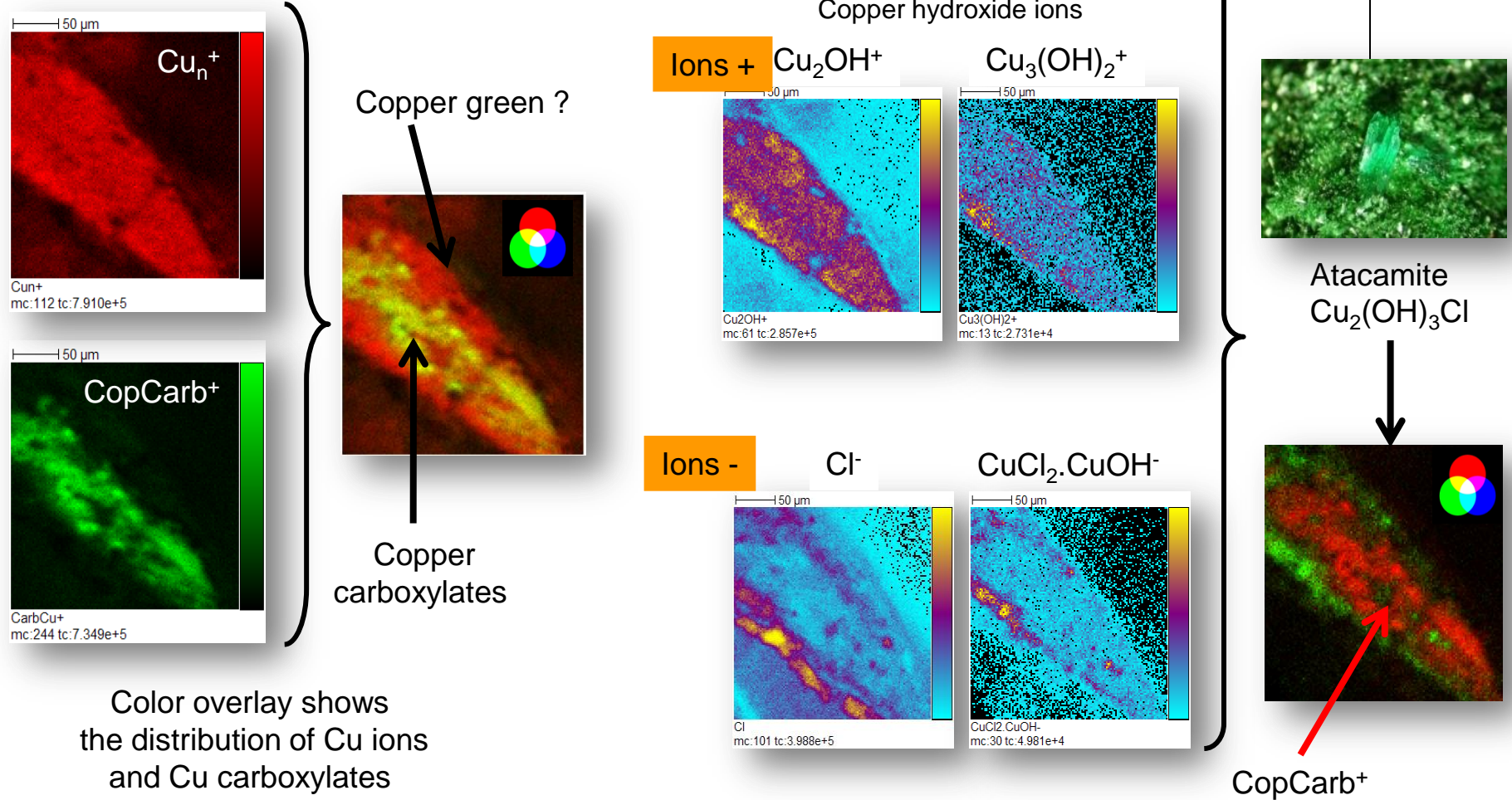
This result was also confirmed by infrared microscopy (SR- μ FTIR)

*P. Richardin, V. Mazel, P. Walter, O. Lapr evote, A. Brunelle
J. Am. Soc. Mass Spectrom. 2011, 22, 1729-1736*

Study of cultural heritage samples



Identification of the copper green pigment



This result was also confirmed by infrared microscopy (SR- μ FTIR)

P. Richardin, V. Mazel, P. Walter, O. Lapr evote, A. Brunelle
J. Am. Soc. Mass Spectrom. 2011, 22, 1729-1736